84 301

UNIVERSITE DE NANCY I UER SCIENCES de la MATIERE

présentée devant

l'Université de NANCY I

pour obtenir

le GRADE DE DOCTEUR D'ETAT ÉS SCIENCES

par

Gérard HIRSCH



# EQUATIONS de RELATION FLOUE

### et MESURES D'INCERTAIN EN

### RECONNAISSANCE DE FORMES

soutenue publiquement le 27 Avril 1987 devant la Commission d'examen

JURY

Monsieur R. MAINARD

Président

Monsieur C.HUMBERT

Rapporteur

Monsieur H.PRADE

Rapporteur

Monsieur J.BREMONT

Examinateur

Monsieur A. FRUHLING Examinateur

Monsieur M. LAMOTTE Directeur de Recherche

# UNIVERSITE DE NANCY I

# UER SCIENCES de la MATIERE

THESE

présentée devant

l'Université de NANCY |

pour obtenir

IE GRADE DE DOCTEUR D'ETAT ES SCIENCES

par

Gérard HIRSCH



#### EQUATIONS de RELATION FLOUE

#### et MESURES D'INCERTAIN EN

### RECONNAISSANCE DE FORMES

soutenue publiquement le 27 Avril 1987 devant la Commission d'examen

JURY

Monsieur R. MAINARD

Président

Monsieur C.HUMBERT

Rapporteur

Monsieur H.PRADE

Rapporteur

Monsieur J.BREMONT

. .

14

Examinateur

Monsieur A. FRUHLING

Examinateur

Monsieur M. LAMOTTE

Directeur de Recherche

#### AVANT-PROPOS

Je remercie Monsieur le Professeur MAINARD, Président de l'Université de Nancy I, Monsieur LAMOTTE, Directeur de Recherche au CNRS, Monsieur PRADE, Laboratoire Langages et Systèmes Informatiques, Université Paul Sabatier, Toulouse, Monsieur HUMBERT, Professeur à l'Université de Nancy I, Monsieur FRÜHLING, Professeur à l'Université de Nancy I, Monsieur BREMONT, Professeur à l'Université de Nancy I, de me faire l'honneur de participer à mon jury de thèse, respectivement en tant que Président, Directeur de thèse, Rapporteurs et Membres examinateurs du Jury.

D'abord, comment ne pas parler de ma très vieille dette de reconnaissance envers Monsieur le Président MAINARD dont je fus l'étudiant en 1959 et qui veut bien être encore présent à ce stade de ma carrière universitaire.

Je voudrais ensuite remercier Monsieur LAMOTTE de m'avoir, il y a douze ans, accueilli dans son laboratoire CRAN-LEA, de m'avoir témoigné sa confiance et de m'avoir apporté une aide inestimable.

Je voudrais dire ma gratitude à Monsieur PRADE, éminent spécialiste international de la théorie du flou, dont la thèse et les recherches ont alimenté mon travail.

A mon arrivée au laboratoire, Monsieur FRÜHLING m'a encouragé ; sans lui, ma thèse n'aurait pas vu le jour. Je le remercie infiniment.

La tâche de rapporteur a été acceptée et assumée par Monsieur HUMBERT, auquel je dis ma reconnaissance.

C'est enfin grâce à l'adresse et à la patience de Madame SCHWARTZ que ma thèse a pris sa forme dactylographique définitive.

# SOMMAIRE

	Pages
INTRODUCTION	1
CHAPITRE 1 : Les équations de relation floue dans les problèmes de reconnaissance de formes	3
•	
1. Introduction de la notion de relation floue	3
2. Les événements	4
3. La composition o	4
4. Quelle signification doit-on donner à la	
composition •	6
5. Comment choisir les opérateurs $0_{p1}$ et $0_{p2}$	6
CHAPITRE 2 : Normes et conormes triangulaires	11
1. Définitions	11
2. Opérations duales	13
3. Fonction pseudo-inverse. Générateur additif	13
4. t-normes et t-conormes duales non paramétrées	18
5. Inégalités entre t-normes et entre t-conormes	2.1
6. Autres constructions de t-normes et de	-
t-conormes	28
7. Familles paramétrées de t-normes et de	20
t-conormes	30
8. Générateurs additifs numériques	31
o. Generatedra additiva numeriques	
8.1. Position du problème	31
8.2. Construction de la norme T(a,b) à partir	
de la fonction génératrice $y = f(x)$	31
8.3. Courbes de niveau de la t-norme	34
9. Générateurs multiplicatifs numériques	38

	Pages		Pages
CHAPITRE 3 : Négations	39	4. Les solutions minimales pour la composition	
1. Différentes négations	39	MAX-MIN	74
2. t-normes et t-conormes n-duales	40	4.1. Problème uni-dimensionnel	74
3. Générateur d'une négation forte	40		74
4. Lien entre négations fortes t-normes et		4.1.1. Fonction ordinale	74
t-conormes	4 1	4.1.2. Eléments minimaux	
CHAPITRE 4 : Opérateurs d'implication flous.		4.2. Problème bi-dimensionnel	81
Syllogisme	43	<ol> <li>Détermination d'un opérateur de maximalisation pour la résolution d'équations de relation</li> </ol>	
1. Les opérateurs d'implication flous	43	floue dans le cas de la composition sup-T,	
2. Modus ponens. Modus tollens	48	avec T norme triangulaire quelconque	87
3. Les opérateurs de pseudo-implication flous	51	5.1. Position du problème	87
4. Le syllogisme	54	5.2. Conditions suffisantes permettant de définir	
4.1. Le syllogisme direct	54	un opérateur de maximalisation	88
4.2. Le syllogisme indirect	57	5.3. Détermination de l'opérateur de maximalisa- tion associé à une norme triangulaire	91
CHAPITRE 5 : Equations de relation floue	67	5.3.1. Normes continues	91
1. Problème uni-dimensionnel lié à la composition		5.3.2. Normes archimédiennes	92
MAX-MIN	67	5.4. Opérateurs de maximalisation associés à	
2. Problème bi-dimensionnel lié à la composition	1	certaines t-normes non archimédiennes	98
MAX-MIN	70		
3. Existence des solutions. Solution maximale		<ol> <li>Détermination des solutions minimales pour la résolution d'équations de relation floue</li> </ol>	
pour la composition MAX-MIN	71	dans le cas de la composition sup-T, avec	
3.1. Transposée d'une relation floue	71	T norme triangulaire quelconque	102
3.2. L'opérateur de maximalisation $\alpha$ et	- 1	7. Détermination d'un opérateur de minimalisation	
l'opérateur de minimalisation σ	71	pour la résolution d'équations de relation	
3.3. La composition (3)	72	floue dans le cas de la composition inf-S,	
3.4. La composition ①	72	où S est une conorme triangulaire quelconque	104
3.5. Existence des solutions 3.6. Solution maximale	72 73		104
5.0. Solution maximale	/3	7.1. Position du problème 7.2. Conditions suffisantes permettant de définir	104
	3	un opérateur de minimalisation	107
	- 1	7.3. Opérateur de minimalisation associé à une	
	1	conorme triangulaire continue par rapport à	
		l'un de ses arguments	110
		7.4. Opérateur de minimalisation associé à une	
	1	conorme triangulaire archimédienne	112

	Pages		Pages
<pre>CHAPITRE 6 : Mesures d'incertain</pre>	116	5. Deuxième construction des mesures d'incertain :	
1. Définition d'une algèbre	116	mesures de crédibilité et de plausibilité	148
2. Mesures de probabilité	117	5.1. Crédibilité et plausibilité au sens de	
3. Mesures d'incertain	118	Shäfer	148
3.1. Définition d'une mesure d'incertain	118		148
3.2. Propriétés d'une mesure d'incertain	119	5.1.1. Eléments focaux 5.1.2. Fonctions de communalité	152
4. Première construction des mesures d'incertain	120	5.1.2. Ponetions de commandative  5.2. Diverses classes de mesures de crédibilité	
4.1. L'opérateur de combinaison *	120	ou de plausibilité	153
4.2. Exemples	122	-	153
4.2.1. Composition * : somme bornée	122	5.2.1. Les fonctions de corroboration simple	155
4.2.2. Composition * : maximum. Mesures	124	5.2.2. Les fonctions de corroboration	155
de possibilité	123	consonante 5.2.3. Les mesures floues de Sugeno	156
4.2.3. Composition * : somme probabiliste	125		
4.2.4. Composition * : conorme S	127	5.3. Densité et pondération probabiliste de base.	
4.2.5. Les mesures de Sugeno	128	Passage entre les deux constructions de	455
4.2.6. Composition * basée sur la conorme	120	mesures d'incertain	157
paramétrée de Sugeno	131	5.3.1. Mesure de possibilité ou de nécessité	157
4.2.7. Composition * basée sur la conorme		5.3.2. Mesures de Sugeno	161
paramétrée de Yager	132	5.3.3. Somme probabiliste ou produit	163
4.3. Classification des mesures d'incertain		5.3.4. Conclusion	165
basées sur une conorme	133	5.4. Approche d'une mesure de plausibilité ou	
4.4. Mesures d'incertain duales	135	de crédibilité	165
	133	5.4.1. Approche d'une mesure de plausibilité	
4.4.1. Propriétés des mesures d'incertain		par une mesure de possibilité ou d'une mesure	
duales	135	par une mesure de possibilité ou d'une mesure de crédibilité par une mesure de nécessité	165
4.4.2. Exemples	137	de credibilité par une mesure de necessité 5.4.2. Approche d'une mesure de plausibilité	103
4.4.2.1. Composition ⊥ : minimum. Mesures			
de nécessité	137	ou de crédibilité par une mesure de	167
4.4.2.2. Composition $\perp$ : max(0,a+b-1)	140	probabilité	
4.4.2.3. Composition $\perp$ : produit ab	141	5.5. Mesures d'information	169
4.5. Classification des mesures d'incertain		5.5.1. Mesure de spécificité (ou de précision)	
basées sur une norme	142	de Yager	170
4.6. Mesures d'incertain auto-duales	144	J. J. L. Bogio & Improved to the	172
4.7. Les deux classes de mesures d'incertain		5.5.3. Degré de confusion de Höhle	173
décomposables	147	5.5.4. Degré de dispersion de Yager	173

	rages
CHAPITRE 7 : Application à la reconnaissance des phonèmes	175
1. Les formes acoustiques	175
2. Le choix des phonèmes	176
3. Première expérience	179
3.1. Phase d'apprentissage. Recherche des	
relations $R_i$ avec $A_i$ et $B_i$ connus	179
3.1.1. Détermination des coefficients de	
la matrice A <sub>i</sub>	179
3.1.2. Détermination des coefficients de	
la matrice B <sub>i</sub>	179
3.1.3. Calcul des matrices $R_{\dot{1}}$	180
3.2. Phase de reconnaissance	180
3.3. Interprétation	181
3.3.1. Interprétation par les mesures de	
Sugeno	183
3.3.2. Interprétation en termes de mesures	
de possibilité sur des sous-ensembles	4.0 =
emboîtés	185
4. Deuxième expérience	188
and the second s	106
CONCLUSION	196
BIBLIOGRAPHIE	198
BIBLIOGIATHIE	150
ANNEXE 1	208
Δ	
ANNEXE 2	213

### INTRODUCTION

Le signal vocal émis par un être humain est sujet, d'une personne à une autre, à une très grande variabilité. Ces différences proviennent essentiellement de quatre sources :

- anatomique,
- culturelle (langues, accent régional, ...),
- d'intonation,
- émotionnelle.

De ce fait, la description des formes vocales, par des quantités floues, est particulièrement bien adaptée.

Nous nous sommes intéressés au niveau élémentaire de la parole : au phonème. Peu de chercheurs se placent au niveau des phonèmes. Cependant, WIEZLAK et GUBRYNOWICZ [WIE-82], pour la reconnaissance de mots, traduisent des formes acoustiques en caractères articulaires, en utilisant des relations floues. DEMORI-GUBRYNOWICZ et LAFACE [DEM-79], pour décrire des formes, utilisent des règles syntaxiques floues, autrement dit des grammaires où les symboles sont des variables linguistiques floues. RIVOIRA et TORASSO [RIV-78] envisagent des grammaires avec des règles de production floue.

De notre côté, nous nous sommes fixés deux axes :

- traiter un problème de reconnaissance de formes à l'aide de relations floues ;
- quantifier les résultats de la reconnaissance à l'aide des mesures d'incertain.

Ce travail est divisé en trois parties.

Dans la première partie, nous posons le problème de la reconnaissance de formes qui est modélisé par une équation de relation floue où la relation établit un pont entre les attributs de la forme et sa catégorie d'appartenance (chapitre 1).

La discussion de la composition qui intervient dans la relation d'équation floue, nous amène à nous intéresser aux normes et aux conormes (chapitre 2). Les négations (chapitre 3) sont envisagées pour établir le passage entre les différentes notions duales l'une de l'autre. Les règles d'inférence (chapitre 4) sont utiles pour la construction des relations. A la suite de PEDRYCZ qui s'était limité à la composition sup-t norme de YAGER, nous avons apporté des solutions à la détermination d'un opérateur de maximalisation pour la résolution d'équations de relations floues dans le cas de la composition générale SUP-T avec T norme triangulaire quelconque (chapitre 5), ainsi que pour un opérateur de minimalisation pour le problème dual

Dans la seconde partie, nous avons rappelé les résultats des mesures d'incertain développées par DUBOIS et PRADE.

Dans la dernière partie, nous avons mis en pratique les notions théoriques précédentes. L'application à la reconnais sance des phonèmes est faite à partir des données acoustiques brutes, et non pas obligatoirement parmi les meilleures fournies au départ.

#### CHAPITRE 1

LES ÉQUATIONS DE RELATION FLOUE

DANS LES PROBLÈMES DE RECONNAISSANCE DE FORMES

Nous allons discuter la forme que doit prendre une équation de relation floue pour répondre à un problème de reconnaissance de formes.

### 1. INTRODUCTION DE LA NOTION DE RELATION FLOUE

On se trouve devant le problème suivant : deux événements A et B sont en présence. Quel lien existe-t-il entre ces deux événements ?

Deux exemples d'application sont envisageables :

- a) A est un événement cause, B est un événement effet. Il convient de rechercher une relation de cause à effet.
- b) A est une forme, B est une catégorie. On a alors affaire à un problème de reconnaissance de formes et il faut trouver une fonction discriminante qui permette d'affecter la forme A à une catégorie B. Pour cette application, on peut généraliser la notion de relation de cause à effet et appliquer ce terme à la fonction de discrimination. Ce problème de cause à effet peut se formaliser ainsi :

 $R \cdot A = B$ 

où  $_{\text{o}}$  est une composition d'opérations qui calcule l'effet B à partir de la cause A au moyen de la relation R.

#### 2. LES EVENEMENTS

Les événements A et B sont décrits respectivement par m et n propriétés ou attributs. A et B possèdent ces propriétés avec un degré d'appartenance  $\mu$   $\in$  [0,1]. A et B sont alors les ensembles flous ayant la forme suivante :

$$\mathbf{A} = \begin{bmatrix} \mathbf{u}_{\mathbf{x_1}} & \mathbf{x_i} & \mathbf{x_m} \\ & \mathbf{u}_{\mathbf{x_1}} & \dots & \mathbf{u}_{\mathbf{x_i}} & \dots & \mathbf{u}_{\mathbf{x_m}} \end{bmatrix}$$

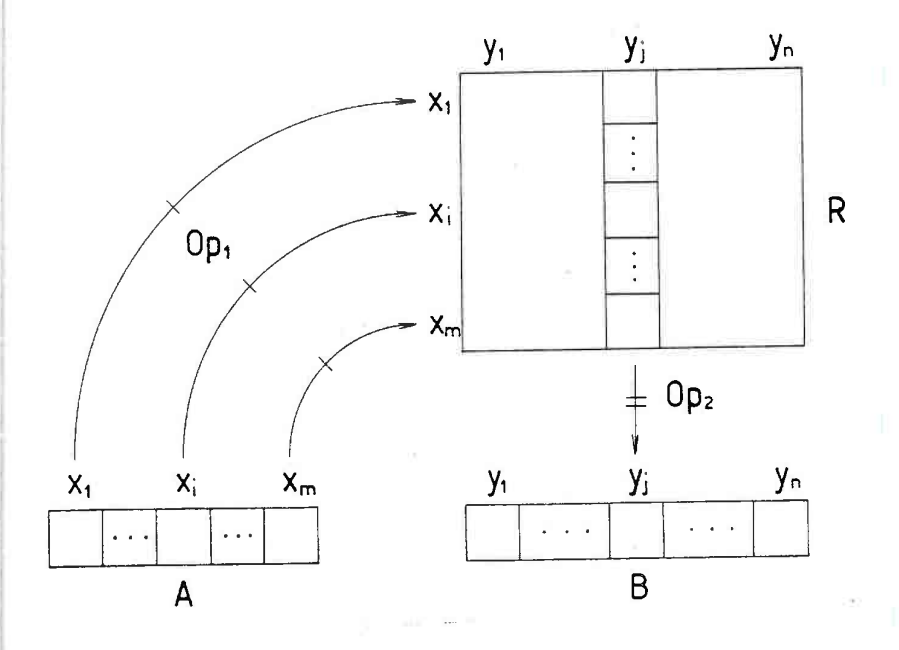
$$\mathbf{y_1} \qquad \mathbf{y_j} \qquad \mathbf{y_n}$$

$$\mathbf{B} = \begin{bmatrix} \mathbf{u}_{\mathbf{y_1}} & \dots & \mathbf{u}_{\mathbf{y_j}} & \dots & \mathbf{u}_{\mathbf{y_n}} \end{bmatrix}$$

A ou B sont des ensembles ordinaires si les valeurs  $\mu$   $\in$  {0,1}.

#### 3. LA COMPOSITION .

Dans la relation de cause à effet, le degré d'appartenance de la propriété  $y_j$  de l'effet B dépend, a priori, de toutes les m propriétés  $x_i$  de la cause A. Ceci conduit au schéma de calcul suivant :



- Suivant ce schéma, R doit posséder m lignes et n colonnes.
- L'ensemble des flèches du schéma symbolise la composition ..
- La composition  $\circ$ , représentée ici par le calcul du degré d'appartenance de  $\gamma_j$ , pourraît être éventuellement différente pour le calcul de chacune des n propriétés de B. A la suite de tous les auteurs, on n'envisage que le cas où  $\circ$  est identique pour toutes les n colonnes de R.

#### 4. QUELLE SIGNIFICATION DOIT-ON DONNER A LA COMPOSITION . ?

Elle se déroule en deux temps.

- a) D'abord, une "pondération" de  $\mu_{x_i}$  par l'élément  $r_{ij}$  de la relation R en utilisant un opérateur approprié  $(O_{pl})$ . C'est la prise en compte d'un attribut de A évalué par son degré d'appartenance et "combiné" avec un élément  $r_{ij}$  pour contribuer à l'évaluation du degré d'appartenance d'un attribut de B. Chaque calcul évalue une "contribution partielle".
- b) Puis, évaluation d'une certaine "globalité" faisant intervenir les m contributions partielles précédentes. Ce deuxième calcul fait intervenir un autre opérateur (Op2) (ou le même que précédemment). A noter qu'il est souhaitable que cet opérateur possède la propriété d'associativité si l'on désire que le résultat final ne soit pas dépendant de l'ordre des attributs de A.

# 5. COMMENT CHOISIR LES OPERATEURS $o_{p1}$ ET $o_{p2}$ ?

Le choix des opérateurs sera dicté par :

- l'existence des propriétés souhaitables ou nécessaires : monotonie, commutativité, symétrie, associativité, ...;
- la simplicité (en vue de la réduction des coûts de calcul) ;
- l'adaptation à une application donnée.

Le choix est fait en prenant appui sur l'exemple suivant (ce choix concerne des classes d'opérateurs et non pas un opérateur particulier).

Prenons: 
$$A = \begin{bmatrix} x_1 & x_2 \\ & & \end{bmatrix}$$

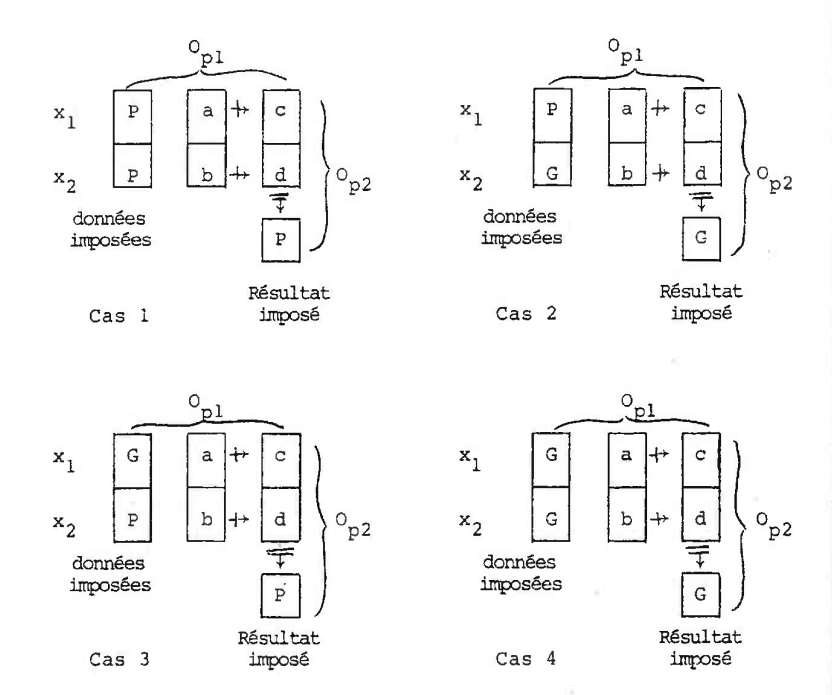
et intéressons-nous à une propriété j de B.

Par convention, une propriété (de A ou de B) est considérée :

- comme plutôt absente si  $0 \leqslant \mu \leqslant 0.4$ ; elle sera dite petite (P),
- comme plutôt présente si 0.6  $<\mu$  < 1 ; elle sera dite grande (G).

pour cette étude, nous supposons provisoirement qu'une propriété (de A ou de B) est interprétée comme une variable binaire, les deux valeurs possibles étant notées P et G. Ainsi, les seules valeurs de  $\mathbf{x}_1$  et  $\mathbf{x}_2$  sont petites ou grandes. Dans l'exemple, on suppose que :

- $\mathbf{x}_1$  n'a pas (peu) d'influence sur la propriété  $\mathbf{y}_j$ , quelle que soit la valeur de son degré d'appartenance (P ou G),
- $x_2$  a une influence sur  $y_j$ ;  $y_j$  sera grand si  $x_2$  est grand, et inversement.



où (a,b) représente un choix (P ou G) pour les coefficients de la colonne j de la relation,

(c,d) représente les résultats de l'opérateur 1.

Pour O<sub>pl</sub> et O<sub>p2</sub>, seules les 16 fonctions binaires suivantes sont possibles.

survances some possibles.							NON								NON		
ET								OU OU							ET		
Arguns	d'opéra- teurs ents	X	2	X	X	X	X	X	8	9	X	X	\\\\\\\\\\\\\\\\\\\\\\\\\\\\\\\\\\\\\\	X	X	15	X
P	P	P	Р	P	P	P	P	P	P	G	G	G	G	G	G	G	G
P	G	P	P	P	P	G	G	G	G	P	P	P	P	G	G	G	G
G	P	P	P	G	G	P	P	G	G	P	P	G	G	P	P	G	G
G	G	P	G	P	G	P	G	P	G	P	G	P	G	P	G	P	G

On prend tous les couples possibles ( ${\rm O_{pl}}$  et  ${\rm O_{p2}}$ ) et on élimine ceux qui ne conviennent pas :

- Les opérateurs 1 et 16 sont éliminés car trivialement sans intérêt.
- Il est souhaitable que  $O_{p1}$  et  $O_{p2}$  soient commutatifs :
  - . car pour  $\mathbf{0}_{\mathrm{pl}}$ , la "pondération" de  $\mathbf{\mu}_{\mathbf{x}_{\underline{i}}}$  par  $\mathbf{r}_{\underline{i}\underline{j}}$  dépend seulement de ces seules valeurs et non pas de l'ordre dans lequel elles sont prises ;
  - car pour O<sub>p2</sub>, le résultat final ne doit pas dépendre de l'ordre des attributs de A. Donc, pour les arguments (P,G) ou par commutation (G,P), les opérateurs doivent donner le même résultat : on élimine les opérateurs 3,4,5,6,11, 12,13,14.
- En non binaire, les opérateurs 7 et 10 sont en partie croissants et en partie décroissants. Les opérateurs 7 et 10 ne peuvent garantir un résultat cohérent et sont à éliminer.

On teste systématiquement les couples d'opérateurs  $(0_{p1}-0_{p2})$  formés à partir des opérateurs restants 2,8,9 et 15, et cela en se fixant successivement pour (a,b) les quatre configurations :

choix 1 pour (a,b) = (P,P) choix 2 pour (a,b) = (P,G) choix 3 pour (a,b) = (G,P) choix 4 pour (a,b) = (G,G) Pour le choix n° 1, il n'y a pas de couple convenable. Pour le choix n° 2, on obtient  $O_{p1} = 2$  et  $O_{p2} = 8$ . Pour le choix n° 3, on obtient  $O_{p1} = 8$  et  $O_{p2} = 2$ . Pour le choix n° 4, il n'y a pas de couple convenable.

En non binaire, les opérateurs 2 et 8 sont croissants par rapport à chacune des variables. En ajoutant des conditions aux limites et compte tenu des propriétés précédentes imposées, l'opérateur 2 est une t-norme et l'opérateur 8 est une t-conorme (voir chapitre 2).

Les deux compositions  $(O_{p1}-O_{p2})$  décrites sont donc :

t-conorme - t-norme

et t-norme - t-conorme

Elles s'avèrent trop générales ; en fait, on se borne simplement à considérer les compositions sup t-norm et inf t-conorme parce qu'elles possèdent des propriétés intéressantes (voir chapitre 5).

#### CHAPITRE 2

### NORMES ET CONORMES TRIANGULAIRES

Dans ce chapitre, on rappelle les définitions des t-normes et des t-conormes introduites par MENGER [MEN-42] lors de l'étude des espaces métriques aléatoires. Nous utiliserons les résultats démontrés par LING [LIN-65] et SCHWEIZER et SKLAR [SCH-60 et SCH-61]. Nous attacherons un intérêt plus particulier à la construction et à la comparaison de ces t-normes et de ces t-conormes. Nous ferons apparaître le rôle important joué par les générateurs additifs et multiplicatifs. Nous proposons la construction de t-normes et de t-conormes à l'aide de générateurs numériques.

#### 1. DEFINITIONS

a) Une application T :  $[0,1] \times [0,1] + [0,1]$  est une norme triangulaire ou t-norme ssi

$$\mathbf{T}_{1}: \begin{cases} \mathbf{T}(0,0) = 0 & \text{conditions aux limites} \\ \mathbf{T}(\mathbf{a},1) = \mathbf{T}(1,\mathbf{a}) = \mathbf{a} \end{cases}$$

$$T_2$$
:  $T(a,b) = T(b,a)$  commutativité

$$T_3$$
:  $T(a,b) \leqslant T(a,c)$  si  $b \leqslant c$  non décroissance

$$T_A : T(a,T(b,c)) = T(T(a,b),c)$$
 associativité

T confère à  $\left[ \overline{0}\,,1\right]$  une structure de groupe commutatif avec 1 pour élément neutre.

Une t-norme T est archimédienne ssi

T5 : T est continue

 $T_6: T(a,a) < a pour tout a \in ]0,1[.$ 

Une t-norme archimédienne T est stricte ssi

 $T_7$ : T est strictement croissante sur ]0,1[x]0,1[.

b) Une application  $S: [0,1] \times [0,1] \rightarrow [0,1]$  est une conorme triangulaire ou t-conorme ssi

 $S_1 : \begin{cases} S(1,1) = 1 \\ S(0,a) = S(a,0) = a \end{cases}$ 

conditions aux limites

 $S_2$ : S(a,b) = S(b,a)

commutativité

 $S_3 : S(a,b) \leqslant S(a,c) \text{ si } b \leqslant c$ 

non décroissance

 $S_4$ : S(a,S(b,c)) = S(S(a,b),c) associativité

S confère à [0,1] une structure de groupe commutatif avec 0 pour élément neutre.

Une t-conorme S est archimédienne ssi

S5 : S est continue

 $S_6: S(a,a) > a pour tout a \in ]0,1]$ .

Une t-conorme archimédienne S est stricte ssi

 $S_7$ : S est strictement croissante sur ]0,1[x]0,1[.

#### 2. OPERATIONS DUALES

A toute t-norme T correspond une t-conorme S (et réciproquement) définie par l'une des formules :

$$S(a,b) = 1 - T(1-a,1-b)$$

011

$$T(a,b) = 1 - S(1-a,1-b)$$

### 3. FONCTION PSEUDO-INVERSE. GENERATEUR ADDITIF

#### Définition :

Etant donné une fonction  $f:[0,1] \to [0,+\infty[$  vérifiant f(1)=0, continue et strictement décroissante, on appelle pseudo-inverse de f et l'on note  $f^{(-1)}$  la fonction définie par :

$$f^{(-1)}(a) = \begin{cases} f^{-1}(a) & \text{si } a \in [0, f(0)] \\ 0 & \text{si } a \in [f(0), +\infty[] \end{cases}$$

#### Remarques :

- a)  $f^{(-1)}$  représente la pseudo-inverse de f et  $f^{-1}$  est la fonction réciproque de f.
- b) La relation f(1) = 0 est une condition nécessaire pour définir une t-norme.

#### Théorème :

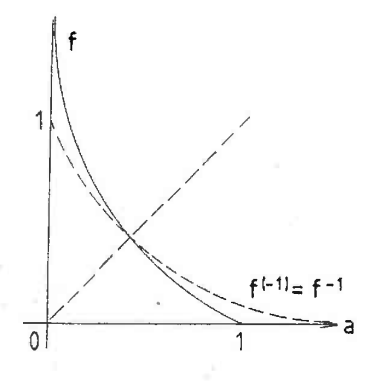
Une application T :  $[0,1] \times [0,1] \to [0,1]$  est une t-norme archimédienne ssi

$$T(a,b) = f^{(-1)} [f(a) + f(b)].$$

Ce théorème est dû à LING [LIN-65].

La fonction f est appelée générateur additif de T ; elle est définie à une constante multiplicative près.

La t-norme T est stricte ssi :  $\lim_{a\to 0} f(a) = +\infty$ . a>0



Cas d'un générateur additif pour une t-norme stricte

#### Remarque :

Pour une t-norme stricte, alors  $f^{(-1)} = f^{-1}$ .

#### Définition :

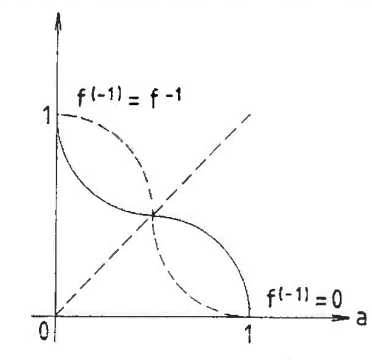
Les normes triangulaires continues et archimédiennes dont les fonctions génératrices sont telles que f(1) = 0 et f(0) est fini, sont nilpotentes si, pour toute suite  $\{a_i\}_{i \in \mathbb{N}}$  de nombres de 0,1, il existe un  $n_0$  tel que  $\binom{n_0}{\Sigma}$   $f(a_i) > f(0)$  et donc  $T(a_0,a_1,\ldots,a_{n0}) = f^{(-1)} \binom{n_0}{\Sigma}$   $f(a_i) = 0$ . i=1

#### Remarque:

Dans le cas où f(0) est fini, on peut toujours supposer f(0) = 1 puisqu'un générateur additif est défini à une constante multiplicative près.

### Définition :

Le générateur additif f est normé ssi f(0) = 1.



Cas d'un générateur additif normé

Propriétés :

$$f^{(-1)}(f(a)) = a$$
  
 $f(f^{(-1)}(a)) = min(a,f(0))$ 

#### Définition :

Etant donné une fonction g :  $[0,1] \rightarrow [0,+\infty[$  vérifiant g(0) = 0, continue et strictement croissante, on appelle pseudo-inverse de g et l'on note g  $^{(-1)}$  la fonction définie par :

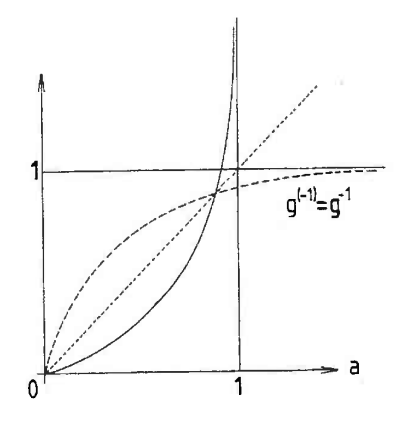
$$g^{(-1)}(a) = \begin{bmatrix} g^{-1}(a) & \text{si } a \in [0,g(1)] \\ 1 & \text{si } a \in [g(1),+\infty] \end{bmatrix}.$$

Théorème :

Une application S de [0,1] x [0,1]  $\rightarrow$  [0,1] est une t-conorme archimédienne ssi

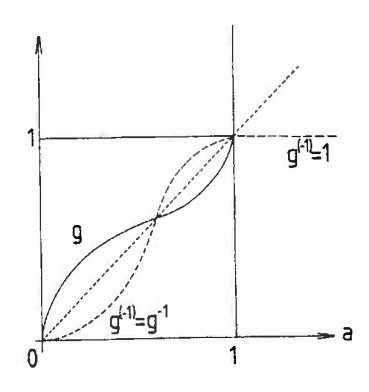
$$S(a,b) = g^{(-1)} [\bar{g}(a) + g(b)]$$

La t-conorme S est stricte ssi : lim g(a) =  $+\infty$  . a+1 a<1



Cas d'un générateur additif pour une t-conorme stricte

Le générateur additif q est normé ssi g(1) = 1.



Cas d'un générateur additif normé

<u>Propriétés</u>:

$$g^{(-1)}$$
 (g(a)) = a  
 $g^{(-1)}$  (g(a)) = max(a,g(1))

#### 4. t-NORMES ET t-CONORMES DUALES NON PARAMETREES

Si une t-norme possède f pour fonction génératrice, alors la t-conorme duale a pour fonction génératrice la fonction g définie par :

$$g(x) = f(1-x)$$
 et  $g^{(-1)}(x) = 1 - f^{(-1)}(x)$ 

Il existe une infinité de fonctions f (ou g) de  $\lceil 0,1 \rceil$  dans  $\lceil 0,+\infty \rceil$ , continues, strictement décroissantes (ou croissantes) telles que f(1) = 0 (ou g(0) = 0); donc, il existe une infinité de normes (ou de conormes).

Les t-normes et les t-conormes duales les plus importantes, ainsi que leurs propriétés, sont données dans le tableau suivant. Les générateurs additifs permettent d'envisager d'autres normes et conormes. Considérons par exemple :

- la fonction génératrice  $f(x) = \frac{1-x}{x}$ ; on obtient le produit de Hamacher qui est une norme stricte :

$$T_{\bullet}$$
 (a,b) =  $\frac{ab}{a+b-ab}$ 

et pour conorme duale :

$$S_{(a,b)} = \frac{a+b-2ab}{1-ab} ;$$

- la fonction génératrice  $f(x) = \ln \frac{2-x}{x}$ ; on obtient le produit d'Einstein qui est une norme stricte :

$$T_{|\cdot|}(a,b) = \frac{ab}{1+(1-a)(1-b)}$$

et pour conorme duale :

$$S_{11} (a,b) = \frac{a+b}{1+ab}$$

t-norme	Tw(a,b) = b si a=1 0 sinon	Tm(a,b) = max(0,a+b-1) =  a+b-1 si a+b > 1   0 sinon	prod(a,b) = a.b	min(a,b) = a si a¢b b sinon
f fonction génératrice		f(x) = 1 - x	$f(x) = - \ln x$	
f(-1) pseudo- inverse		$f^{(-1)}(y) = max(1-y,0)$	$f(y) = e^{-y}$	
nature	discontinue	continue nilpotente	continue archimédienne stricte	continue
t-conorme duale	Sw(a,b) = a si b=0 b si a=0 1 sinon	Sb(a,b) = min(l,a+b) Somme bornée	Sp(a,b)=a+b-ab Somme probabiliste	max(a,b)= a si a≥b b sinon
g fonction génératrice		x = (x) 6	$g(x) = -\ln(1-x)$	
g(-1) pseudo- inverse		$g^{(-1)}(y) = \min(y, 1)$	$g^{(-1)}(y) = 1 - e^{-y}$	

De son côté, Mizumoto [MIZ-86] considère des fonctions génératrices trigonométriques :

- la fonction génératrice  $f\left(x\right)$  = cos  $\frac{\pi}{2}$  x introduit la norme nilpotente :

$$T_c(a,b) = \frac{2}{\pi} \operatorname{Arc} \cos \left[ \min(1, \cos \frac{\pi}{2} a + \cos \frac{\pi}{2} b) \right]$$

et la conorme duale :

$$S_c(a,b) = \frac{2}{\pi} \operatorname{Arc sin} \left[ \min(1, \sin \frac{\pi}{2} a + \sin \frac{\pi}{2} b) \right] ;$$

- la fonction génératrice f(x) = 1 -  $\sin \frac{\pi}{2}$  x introduit la norme nilpotente :

$$T_s(a,b) = \frac{2}{\pi} \operatorname{Arc sin} \left[ \max(0, \sin \frac{\pi}{2} a + \sin \frac{\pi}{2} b - 1) \right]$$

et la conorme duale :

$$S_{s}(a,b) = \frac{2}{\pi} \operatorname{Arc} \cos \left[ \max(0, \cos \frac{\pi}{2} a + \cos \frac{\pi}{2} b - 1) \right] ;$$

- la fonction génératrice f(x) = cotg  $\frac{\pi}{2}$  x introduit la norme stricte :

$$T_t(a,b) = \frac{2}{\pi} \operatorname{Arc cotg} \cot \frac{\pi}{2} a + \cot \frac{\pi}{2} b$$

et la conorme duale :

$$S_t(a,b) = \frac{2}{\pi} \operatorname{Arc} tg \left[ tg \frac{\pi}{2} a + tg \frac{\pi}{2} b \right].$$

- En considérant la fonction génératrice  $f(x) = tg \frac{\pi}{4}(1-x)$ , nous proposons la norme :

$$T_{H}(a,b) = \max\{0,1-\frac{4}{\pi} \text{ Arctg} | tg \frac{\pi}{4}(1-a) + tg \frac{\pi}{4}(1-b) \}$$

et la conorme duale :

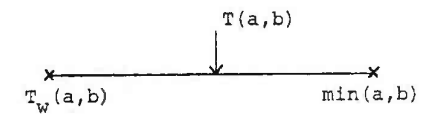
$$S_{H}(a,b) = \min\{1, \frac{4}{\pi} \text{ Arctg} \middle[ \text{tg} \frac{\pi}{4} a + \text{tg} \frac{\pi}{4} b \Big] \}.$$

#### 5. INEGALITES ENTRE t-NORMES ET ENTRE t-CONORMES

 $T_{_{\mathbf{W}}}(a,b)$  est la t-norme la plus faible. En effet,  $T_{_{\mathbf{W}}}(a,b)$  respecte les conditions aux limites et  $T_{_{\mathbf{W}}}(a,b)$  est nulle partout ailleurs.

Min(a,b) est la t-norme la plus forte. En effet, min(a,b) respecte les conditions aux limites et puisqu'une t-norme est commutative, pour un b donné avec b  $\leqslant$  a  $\leqslant$  1, nous devons avoir T(1,b) = b et compte tenu de la non-décroissance, la valeur la plus grande sur le segment est b, c'est-à-dire le minimum de a et de b. SCHWEIZER et SKLAR [SCH-60] montrent que toute norme T(a,b) vérifie :

$$T_{t_0}(a,b) \leqslant T(a,b) \leqslant \min(a,b)$$



Par dualité, la t-conorme la plus faible est  $\max(a,b)$  et la t-conorme la plus forte est  $S_{\omega}(a,b)$ .

Toute t-conorme S(a,b) vérifie :

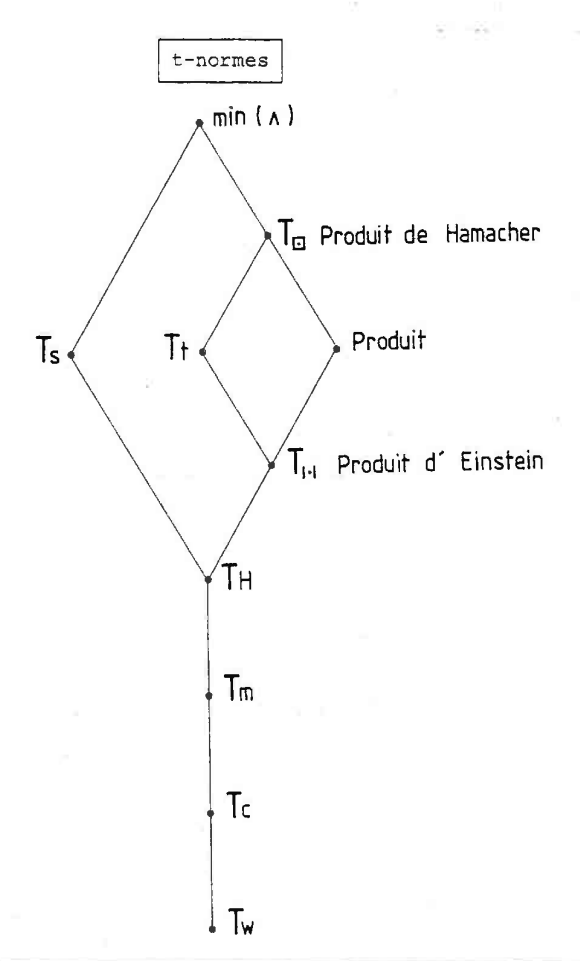
$$\max(a,b) \leqslant S(a,b) \leqslant S_w(a,b)$$



Cependant, deux t-normes (ou deux t-conormes) ne sont pas forcément comparables entre elles.

Ainsi, pour le produit et la norme de Mizumoto  $\mathbf{T}_{t}$  :

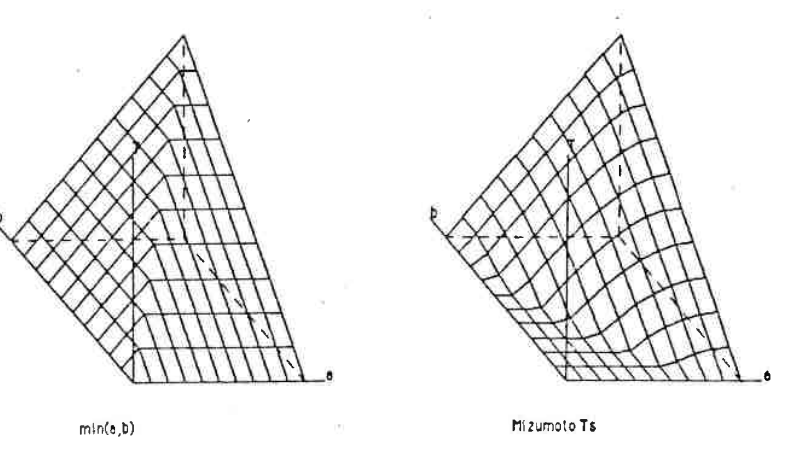
$$0.6 \times 0.4 = 0.24 < T_{t} (0.6,0.4) \approx 0.2826$$
  
 $T_{t} (0.9,0.9) \approx 0.8047 < 0.9 \times 0.9 = 0.81$ 

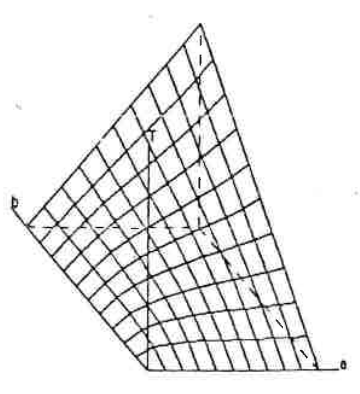


#### Remarque :

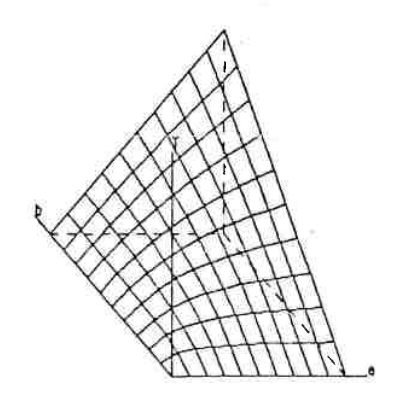
Par rapport à l'article de Mizumoto  $[\underline{M}IZ-86]$  , nous avons trouvé la différence suivante : la norme  $T_{\mbox{\scriptsize t}}$  n'est pas comparable au produit.

La représentation tridimensionnelle des t-normes est donnée ci-après.  $\cdot$ 

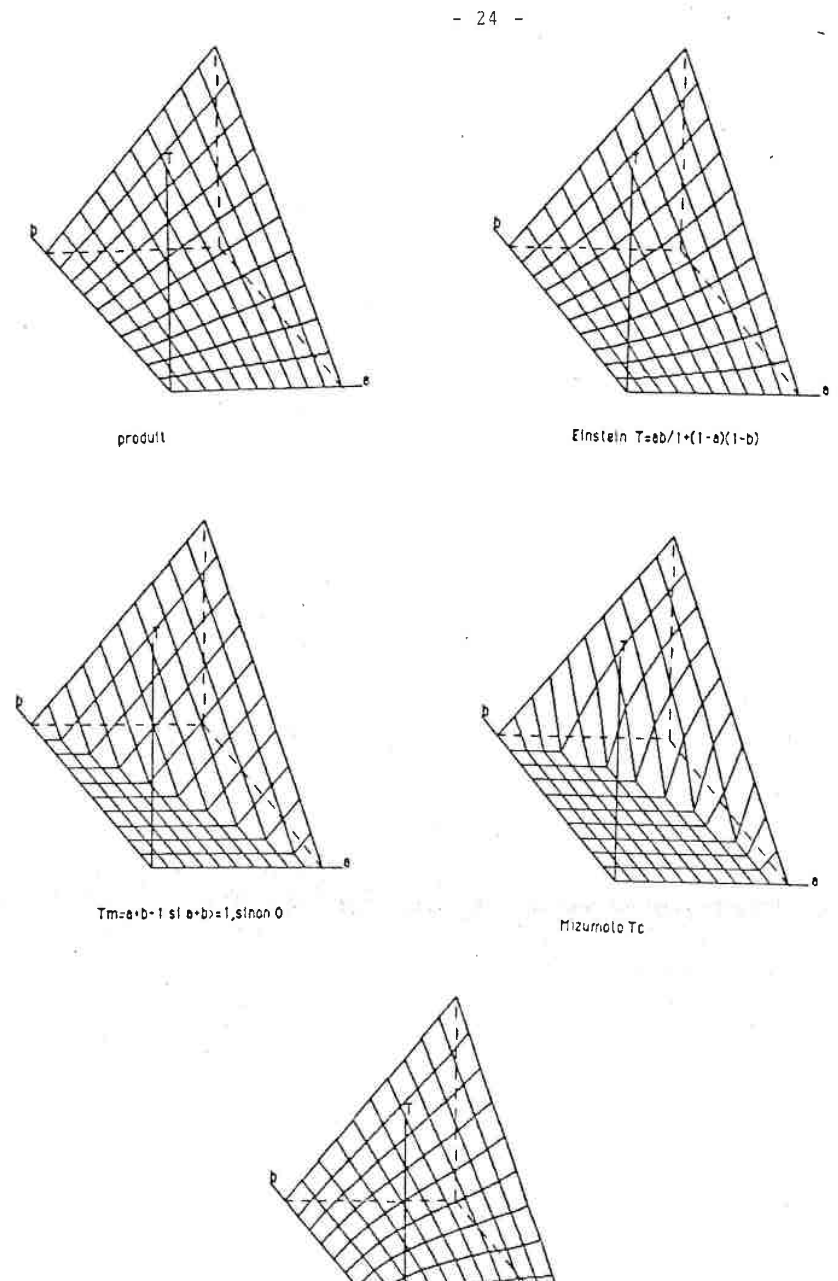






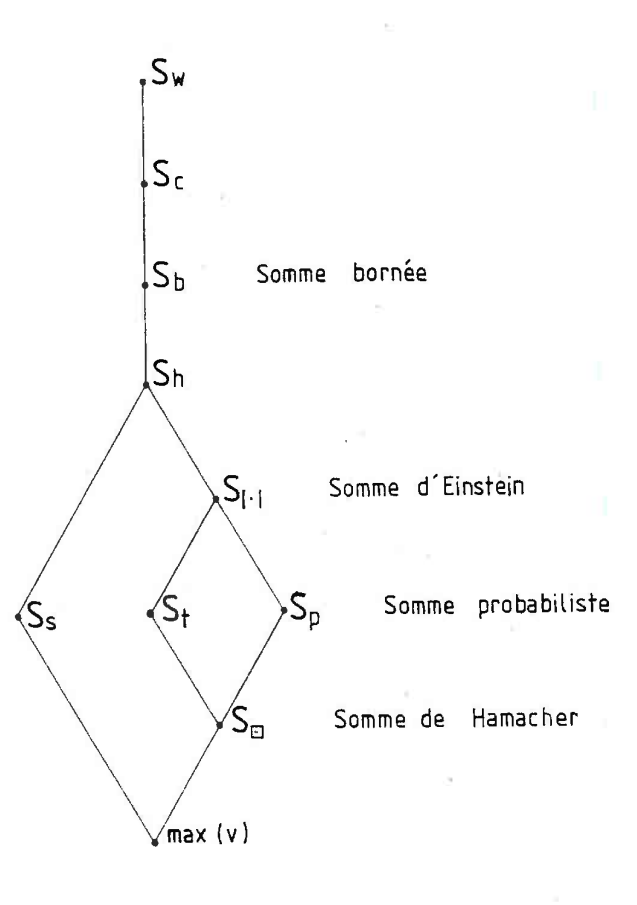


Hamacher T=ab/a+b-ab

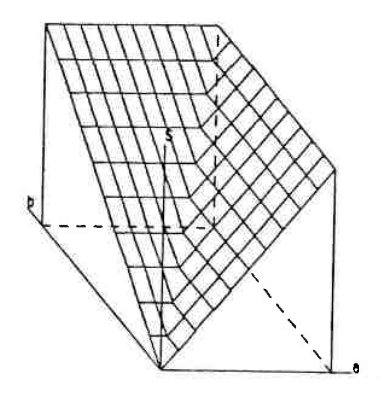


Par dualité, l'ordre entre les t-conormes est le suivant :

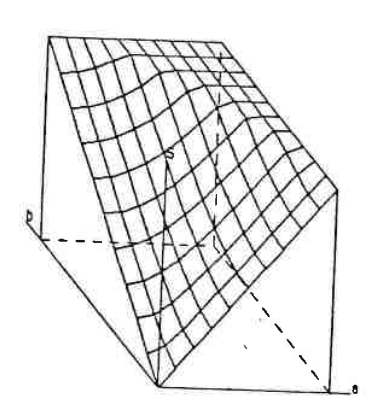
t-conormes



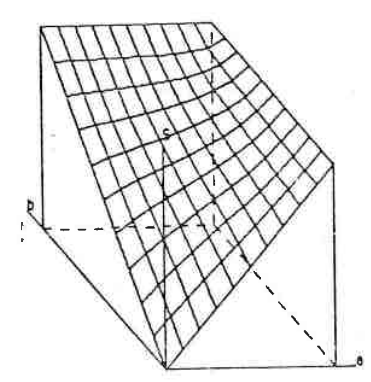
La représentation tridimensionnelle des t-conormes est la suivante :



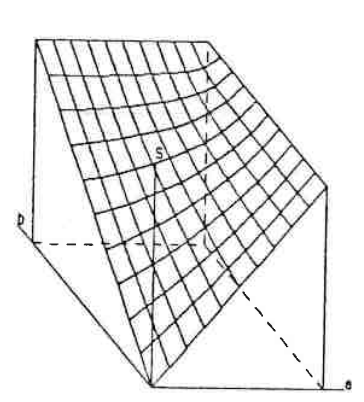
max(a,b)



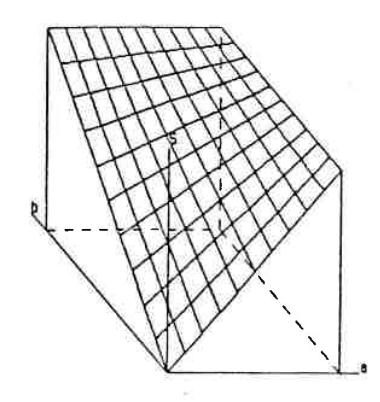
Mizumoto Ss



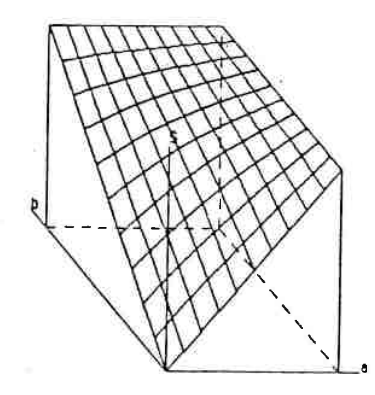
Mizumoto St



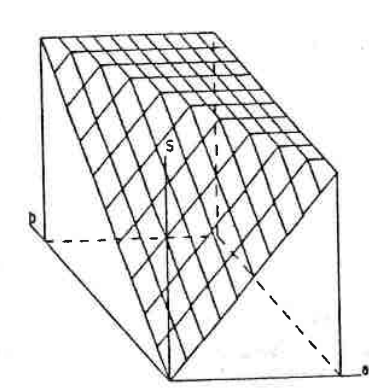
Hamacher S=a+b-2ab/1-ab



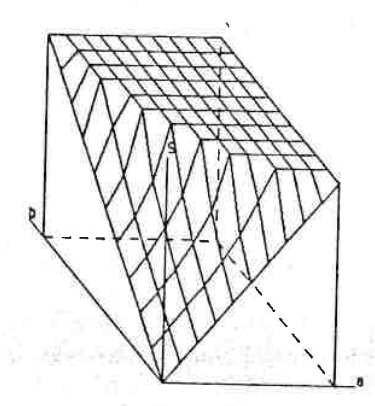
somme probabilists a+b-ab



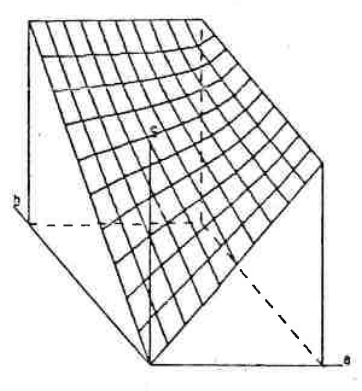
Einstein S=a-b/1+ab



somme bornée =min(1,6+b)



Mizumoto Sc



Conorme Sh

#### 6. AUTRES CONSTRUCTIONS DE t-NORMES ET DE t-CONORMES

YOU  $\boxed{\text{YOU-83}}$  propose une autre construction des t-normes et des t-conormes (voir A. Kaufmann, note de travail n° 109).

#### Théorème 1 :

Soit une fonction k continue sur [0,1], strictement croissante, telle que k(0) = 0 et k(1) = 1; alors, pour toute t-norme T(a,b):

$$F(a,b) = k^{-1}[T(k(a),k(b))]$$
 est une t-norme,

et pour toute t-conorme S(a,b) :

$$F'(a,b) = k^{-1}[S(k(a),k(b))]$$
 est une t-conorme.

#### Exemple :

Considérons la fonction  $k(x)=\frac{2x}{x+1}$  qui vérifie les hypothèses du théorème 1. Avec la t-norme produit T(a,b)=a.b. on obtient la t-norme :

$$F(a,b) = \frac{2ab}{a+b+1-ab}.$$

La t-conorme duale du produit est la somme probabiliste  $S_{D}(a,b)$  = a+b-ab, d'où la t-conorme F'(a,b) =  $\frac{a+b}{ab+1}$ .

#### Remarque :

Pour F(a,b) (ou pour F'(a,b)), le théorème 1 conduit à envisager une "déformation élastique" d'une t-norme T (ou d'une t-conorme S) à l'aide de la fonction k.

#### Théorème 2:

Soit une fonction h continue sur ]0,1] , strictement décroissante, telle que  $h(0)=+\infty$  et h(1)=1 ; alors :

$$F_1(a,b) = h^{-1}[\bar{h}(a).h(b)]$$
 est une t-norme,

et 
$$F_2(a,b) = h^{-1}[h(a) + h(b)-1]$$
 est aussi une t-norme.

#### Exemple :

La fonction  $h(x) = \frac{1}{\sin \frac{\pi}{2} \; x}$  vérifie les hypothèses du théorème 2 ; alors :

$$F_1(a,b) = \frac{2}{\pi} \operatorname{Arc sin} \left[ (\sin \frac{\pi}{2} a) \cdot (\sin \frac{\pi}{2} b) \right]$$

et 
$$F_2(a,b) = \frac{2}{\pi} \text{ Arc sin} \left[ \frac{1}{\frac{1}{\sin \frac{\pi}{2} a} + \frac{1}{\sin \frac{\pi}{2} b} - 1} \right]$$

sont des t-normes.

### Remarque 1:

En posant h(x) = f(x)+1, la fonction réciproque  $h^{-1}(x)$  vérifie  $h^{-1}(x) = f^{-1}(x-1)$  et l'on retrouve le résultat valable pour les t-normes strictes  $T(a,b) = f^{-1}[f(a) + f(b)]$ .

### Remarque 2 :

En appliquant la première partie du théorème 2 à la fonction h(x) = f(x) + 1, on obtient :

$$F_{1}(a,b) = h^{-1} [(f(a)+1)(f(b)+1)]$$
d'où 
$$F_{1}(a,b) = f^{-1} [f(a)+f(b)+f(a).f(b)]$$

Donc, pour un même générateur f, on peut former une deuxième t-norme stricte à l'aide de la relation précédente.

#### Exemple :

La fonction  $f(x) = - \ln x$  génère la t-norme produit ab et la t-norme  $F_1(a,b) = abe^{-\ln a \ln b}$  moins utilisable.

#### Théorème 3 :

Soit une fonction  $\ell$  continue sur [0,1], strictement croissante, telle que  $\ell(0)$  = 1 et  $\ell(1)$  =  $+\infty$ ; alors :

$$G_{1}(a,b) = \ell^{-1}[\underline{\tilde{\ell}}(a).\ell(b)] \text{ est une t-conorme,}$$
 et 
$$G_{2}(a,b) = \ell^{-1}[\underline{\tilde{\ell}}(a)+\ell(b)-1] \text{ est aussi une t-conorme.}$$

#### Exemple:

La fonction  $\ell(x) = \frac{1}{1-x}$  définie sur [0,1] vérifie les hypothèses du théorème 3 :

$$G_1(a,b) = a + b - ab$$
 (somme probabiliste)  
et  $G_2(a,b) = \frac{a+b-2ab}{1-ab}$  sont des t-conormes.

#### 7. FAMILLES PARAMETREES DE t-NORMES ET DE t-CONORMES

De nombreuses familles paramétrées de t-normes et de t-conormes duales ont été introduites par différents auteurs. Les plus importantes, ainsi que leurs propriétés, sont envisagées dans les tableaux figurant chapitre 5, § 5.4.

#### 8. GENERATEURS ADDITIFS NUMERIQUES

#### 8.1. Position du problème :

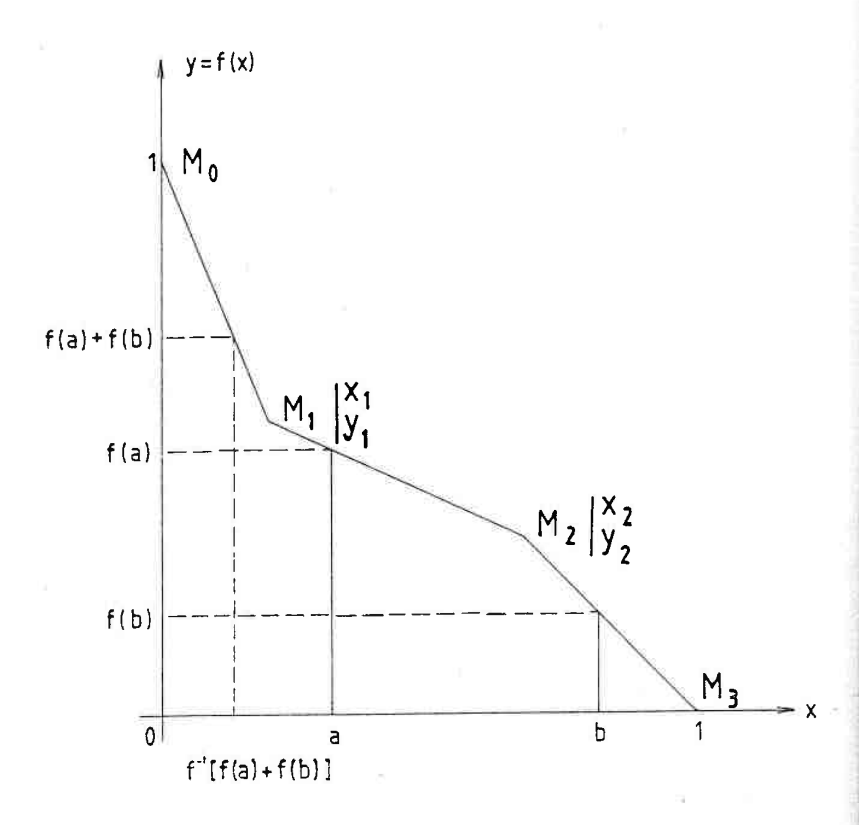
Très souvent, la fonction génératrice est donnée sous une forme analytique et, à part pour quelques fonctions simples, l'expression de T(a,b) est difficilement utilisable. Afin de construire une norme ayant une "configuration" voulue, on propose de modeler la fonction génératrice à notre convenance. Pour cela, nous partons d'une fonction f continue sur [0,1], affine par morceaux, strictement décroissante et vérifiant f(1) = 0. Cette fonction génératrice sera ainsi définie par une succession de n segments de droites. Nous n'envisageons que des générateurs additifs normés (f(0) = 1). Les points de jonction de deux segments ou points de cassure  $M_1$  sont les données du problème :

$$x_1 \rightarrow f(x_1) = y_1$$
 $x_i \rightarrow f(x_i) = y_i$ ,  $i = 1,...,n-1$ 
 $x_{n-1} \rightarrow f(x_{n-1}) = y_{n-1}$ 

8.2. Construction de la norme T(a,b) à partir de la fonction génératrice y = f(x):

### Algorithme de calcul de la norme T(a,b), a et b étant spécifiés :

1) Repérer le segment qui contient a (entrée dans la table par les  $x_i$ ) et calcul de f(a) par interpolation linéaire.



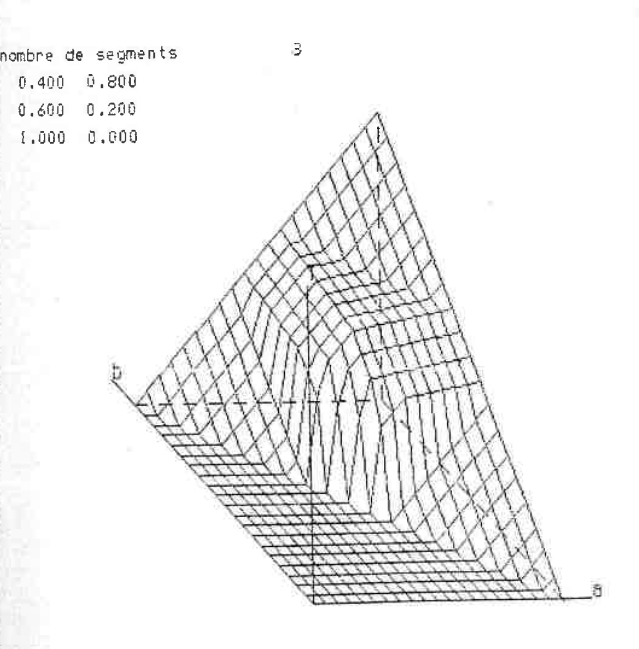
(pour 3 segments)

- 2) Même calcul pour b, d'où la valeur f(b).
- 3) Si  $f(a) + f(b) \geqslant 1$ , alors T(a,b) = 1 sinon.
- 4) Repérer le segment qui contient f(a) + f(b) (entrée dans la table par les  $y_i$ ), puis calcul de T(a,b) par interpolation linéaire.

### Exemple :

La norme T(a,b) est tracée pour a et b variant avec un pas de 0.05. Nous avons envisagé le cas de trois segments joignant les points :

 $M_0(0;1)$   $M_1(.4;.8)$   $M_2(.6;.2)$   $M_3(1;0)$ 



Gene add numérique

puis les points :

M<sub>0</sub>(0;1)

 $M_1(.2;.6)$ 

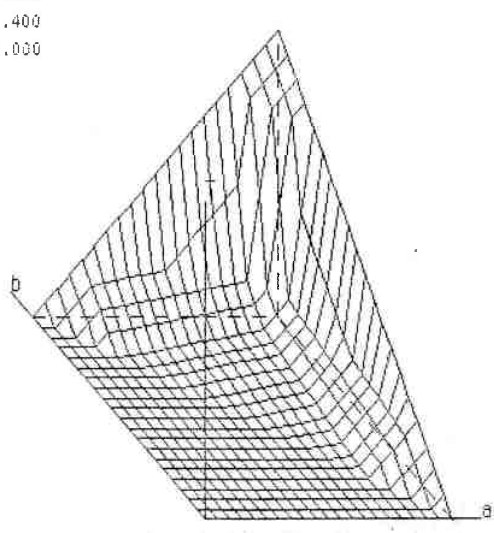
M<sub>2</sub>(.8;.4)

 $M_3(1;0)$ 

nombre de segments

0.200 0.400 0.800 0.400

1.000 0.000



Gene add numérique

#### 8.3. Courbes de niveau de la t-norme :

Pour avoir une idée visuelle de "l'allure" de la t-norme, on trace dans le plan (a,b) quelques courbes de niveau, par exemple T(a,b) = 0,.2,.4,...,1.

On se donne donc la valeur de la courbe de niveau T(a,b) = x avec  $0 \le x \le 1$ . On a alors :

$$f(a) + f(b) = y = f(x)$$

f fonction connue, x connu, et a et b sont à déterminer.

#### Remarque 1:

Par suite de la non croissance de f, on a toujours  $a \ge x$  et  $b \ge x$ .

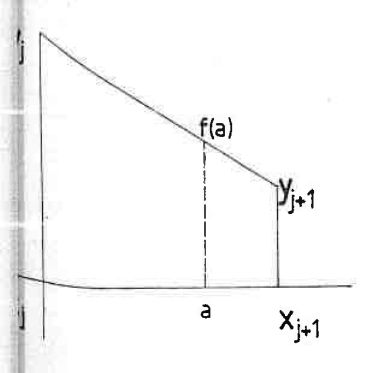
On ne prend donc en compte que les segments de f situés à droite du point M(x,y).

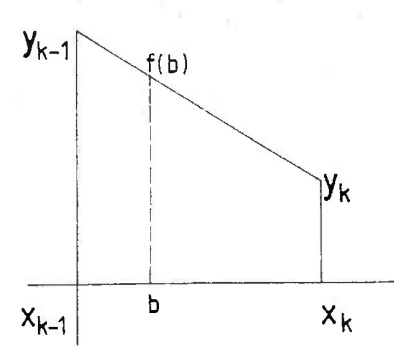
#### Remarque 2 :

Le point M(x,y) est situé sur le segment  $\mathbf{M_i}^{M}_{i+1}$  repéré par l'abscisse de ses extrémités  $\mathbf{x_i}$  et  $\mathbf{x_{i+1}}$   $(i=0,1,\dots,n-1)$ . La variable a croît de x à l et la variable b décroît de l à x de façon à garder f(a) + f(b) constant. On décrit donc les segments repérés par les abscisses  $(\mathbf{x_i},\mathbf{x_{i+1}})$  ...  $(\mathbf{x_j},\mathbf{x_{j+1}})$  ...  $(\mathbf{x_{n-1}},\mathbf{x_n})$  respectivement dans l'ordre direct pour a et rétrograde pour b. On arrête le calcul lorsque a et b sont égaux, puisque  $\mathbf{T}(\mathbf{a},\mathbf{b})$  est commutatif.

A une étape quelconque du calcul :

a est sur le segment  $(x_j, x_{j+1})$  j=i, i+1, ..., (n-1) b est sur le segment  $(x_{k-1}, x_k)$  k=n, n-1, ..., i+1





On a alors :

$$f(a) = y_{j} + (a-x_{j})(y_{j}-y_{j+1})/(x_{j}-x_{j+1})$$

$$f(b) = y_{k-1} + (b-x_{k-1})(y_{k-1}-y_{k})/(x_{k-1}-x_{k})$$
puis  $y = f(a) + f(b)$  (1)

La relation (1) indique que a et b sont liés. La courbe de niveau comprenant le point (a,b) est un segment de droite. Il nous suffit alors de déterminer ses extrémités.

Calcul de a en fonction de b, et réciproquement :

$$a = x_{j} + ((x_{j} - x_{j+1})/(y_{j} - y_{j+1}))(y - y_{j} - y_{k-1} + (x_{k-1} - b))((y_{k-1} - y_{k})/(x_{k-1} - x_{k}))$$
(2)

$$b = x_{k-1} + ((x_{k-1} - x_k) / (y_{k-1} - y_k) (y - y_j + y_{k-1} + (x_j - a) ((y_j - y_{j+1}) / (x_j - x_{j+1})))$$
(3)

Les relations (2) et (3) restent valables tant que a et b se situent sur leur même segment respectif. Lorsque a arrive au point de jonction avec le segment suivant, l'indice j est incrémenté; lorsque b arrive au point de jonction avec le segment précédent, l'indice k est décrémenté; a et b peuvent arriver en même temps à des cassures de f, les deux indices j et k sont changés.

Pour l'algorithme, on a besoin :

de b calculé avec  $a_j = x_{j+1}$  (extrémité droite du segment qui porte a) :

$$b_{j} = x_{k-1} + ((x_{k-1} - x_{k}) / (y_{k-1} - y_{k})) (y - y_{k-1} - y_{j+1})$$
(4)

et de a calculé avec  $\mathbf{b}_k = \mathbf{x}_{k-1}$  (extrémité gauche du segment qui porte b) :

$$a_{k} = x_{j} + ((x_{j} - x_{j+1})/(y_{j} - y_{j+1}))(y - y_{j} - y_{k-1})$$
 (5)

#### Algorithme des courbes de niveau :

- 1) Prendre une valeur T(a,b) = x; calculer y = f(x).
- 2) Prendre j = i, premier segment possible pour a, k = n, dernier segment de f pour b.
- 3) Avec  $a_j = x_{j+1}$ , on calcule  $b_j$ : on a le couple  $(a_j, b_j)$ si  $x_{k-1} < b_j < x_k$ , on retient le couple  $(a_j, b_j)$ et j = j+1, aller en 4
  - si  $x_{k-1} = b_j$ , on retient le couple  $(a_j, b_j)$ et j = j+1, k = k-1, aller en 4
  - si  $x_{k-1} > b_j$  , on sort du segment  $(x_{k-1}, x_k)$  et avec  $b_k = x_{k-1}$  on calcule  $a_k$  : on a le couple  $(a_k, b_k)$
  - si  $x_j < a_k < x_{j+1}$ , on retient le couple  $(a_k, b_k)$  et k = k-1, aller en 4
  - $si x_{i+1} = a_k$  , situation déjà vue
  - $si x_{j+1} < a_k$  , impossible
- 4) Pour le couple retenu, si a < b, alors aller en 3, sinon toutes les courbes de niveau sont calculées, alors fin, sinon aller en 1.

#### 9. GENERATEURS MULTIPLICATIFS NUMERIQUES

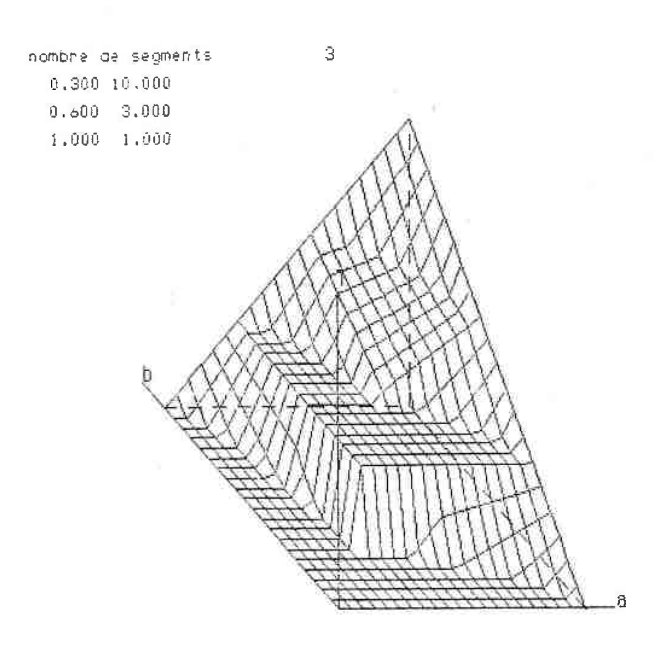
Nous utilisons l'algorithme donné au § 8.2 pour le calcul de la norme T(a,b) avec a et b spécifiés. Nous partons d'une fonction h continue sur  $\left[0,1\right]$ , affine par morceaux, strictement décroissante, telle que h(0) soit très grand et h(1)=1.

La norme T(a,b) est calculée par la formule :

$$T(a,b) = h^{-1} \left[ \overline{h}(a) \cdot h(b) \right].$$

#### Exemple:

Nous avons envisagé le cas de trois segments joignant les points  $M_0(0;1000)$  ,  $M_1(.3;10)$  ,  $M_2(.6,3)$  et  $M_3(1;1)$ .



Gene mult, numerique

### CHAPITRE 3

### NÉGATIONS

Nous rappelons les définitions et les propriétés des négations. Ces négations nous serviront à construire d'autres t-normes et t-conormes.

#### 1. DIFFERENTES NEGATIONS

Une application  $n : [0,1] \rightarrow [0,1]$  est une négation ssi

N1 : n(0) = 1 , n(1) = 0

N2 : n est non croissant.

Une négation n est stricte ssi

N3 : n est continue

N4 : n est strictement décroissante.

Une négation stricte est une négation forte (ou négation involutive)  $\lceil \text{TRI-79} \rceil$  ssi

N5 :  $n(n(a)) = a \forall a$ .

Exemple : n(a) = 1-a est une négation forte.

#### 2. t-NORMES ET t-CONORMES n-DUALES

Si T est une t-norme et n une négation forte,  $S(a,b) = n \left[\overline{T}(n(a),n(b))\right] \text{ est une t-conorme, et réciproquement.}$   $T(a,b) = n \left[\overline{S}(n(a),n(b))\right] \text{ est une t-norme.}$  S et T sont dites n-duales l'une de l'autre, ce qui est la généralisation des opérations duales (chapitre II, § 2).

#### 3. GENERATEUR D'UNE NEGATION FORTE

A toute négation forte n, on peut associer une application t de [0,1] dans  $[0,+\infty[$  continue et strictement croissante, vérifiant t(0)=0 et t(1) fini, telle que :

$$n(a) = t^{-1} [\bar{t}(1) - t(a)]$$
.

Le générateur additif t de la négation forte est défini à une constante multiplicative près ; on prendra alors en général t(1) = 1.

Pour une négation forte, il existe toujours un seuil s 0,1 tel que n(s) = s; le seuil vaut :

$$s = t^{-1} \left| \frac{t(1)}{2} \right| .$$

De plus, si n est une négation forte, alors  $n^{\frac{14}{10}}(a)=1-n(1-a)$  est aussi une négation forte, en général distincte de n.

#### Exemple 1:

A partir de t(x) =  $\sqrt{x}$  avec x e  $\left[0,1\right]$ , on vérifie que t est continue et strictement croissante sur  $\left[0,1\right]$ . De plus, t(0) = 0 et t(1) = 1, alors n(a) =  $(1-\sqrt{a})^2$ , le seuil vaut s =  $\frac{1}{4}$ . La négation forte n<sup>x</sup> associée est n<sup>x</sup>(a) =  $1-(1-\sqrt{1-a})^2$  dont le seuil vaut s =  $\frac{3}{4}$ .

#### Exemple 2:

A partir de t(x) =  $\frac{2x}{x+1}$  avec x  $\in [0,1]$ , t est continue et strictement croissante sur [0,1]. De plus, t(0) = 0 et t(1) = 1, alors n(a) =  $\frac{1-a}{3a+1}$  est une négation forte dont le seuil est  $\frac{1}{3}$ . La négation forte associée est n $^{x}$ (a) =  $\frac{4(1-a)}{4-3a}$  dont le seuil est  $\frac{2}{3}$ .

### 4. LIEN ENTRE NEGATIONS FORTES t-NORMES ET t-CONORMES

Les propriétés imposées à t montrent que t est à la fois un générateur de négation forte et un générateur additif d'une t-conorme nilpotente. De même, à partir d'un générateur de négation forte, on peut obtenir un générateur additif d'une t-norme nilpotente par la formule :

$$f(x) = t(1) - t(x) .$$

Inversement, pour une t-norme nilpotente f, puisque f(0) est fini, on peut construire un générateur de négation forte par la formule :

$$t(x) = f(0) - f(x) .$$

Ainsi, à partir d'un générateur t de négation forte, on peut former :

- la négation forte  $n(a) = t^{-1}[t(1)-t(a)]$ ;
- la t-norme  $T(a,b) = f^{(-1)}[f(a)+f(b)]$ , avec f(x) = t(1)-t(x)

posons 
$$t^{(1)}(a) = \begin{bmatrix} t^{-1}(a) & \text{si } a \in [0, t(1)] \\ 1 & \text{si } a \in [t(1), +\infty] \end{bmatrix}$$
;

- la t-conorme  $S(a,b) = t^{(-1)} [\bar{t}(a) + t(b)]$ 
  - =  $\min[1,t^{-1}[t(a)+t(b)]]$  si t prend ses valeurs sur  $[0,+\infty]$ .

Si, à partir d'un même générateur t, on a formé n,  $\mbox{\bf T}$  et S, alors :

$$\begin{cases} T[a,n(a)] = 0 \\ S[a,n(a)] = 1 \end{cases}$$

Réciproquement, pour toute t-norme (respectivement t-conorme) nilpotente, il existe une négation forte et une t-conorme (respectivement t-norme) nilpotente telles que les propriétés précédentes soient vérifiées.

Exemple : à partir de t(a) = a, on obtient :

$$n(a) = 1-a$$

 $T(a,b) = \max(0,a+b-1)$ 

$$S(a,b) = min(0,a+b)$$
.

#### CHAPITRE 4

# OPÉRATEURS D'IMPLICATION FLOUS - SYLLOGISME

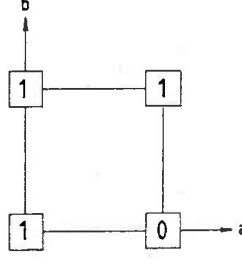
Dans une première partie, nous allons définir et discuter des opérateurs d'implication flous.

Dans une deuxième partie, on envisagera le syllogisme. La première prémisse du syllogisme se traduit par un opérateur d'implication.

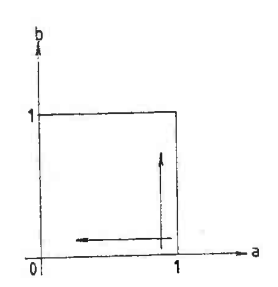
### 1. LES OPERATEURS D'IMPLICATION FLOUS

Un opérateur x de [0,1] x [0,1]  $\rightarrow$  [0,1] est un opérateur d'implication flou ssi :

$$0 \times 0 = 1$$
  
 $0 \times 1 = 1$   
 $1 \times 0 = 0$   
 $1 \times 1 = 1$ 



et 
$$\forall a,a',b$$
 et  $b' \in [0,1]$   
 $a < a' \Rightarrow a \times b \geqslant a' \times b$   
 $b < b' \Rightarrow a \times b \leqslant a \times b'$ 
(2)



Aux quatre sommets non flous, l'opérateur  $\mathbf{x}$  doit donner des valeurs en accord avec la logique binaire.

#### L'opérateur \* est :

- monotone non croissant par rapport à la première variable,
- monotone non décroissant par rapport à la deuxième variable.

#### Remarque :

On ne doit pas confondre le concept d'implication  $\rightarrow$  avec celui de méta-implication  $\Rightarrow$ . On doit dire pour une implication A  $\Rightarrow$  B : "A infère B", alors que pour une méta-implication A  $\Rightarrow$  B, on utilise "si A alors B".

Wéber  $[\overline{W}EB-83]$  a proposé trois procédés de construction d'opérateurs d'implication flous :

type I 
$$a + b = \sup(z \mid T(a,z) \leq b)$$

type II 
$$a \rightarrow b = n[\inf\{y \mid S(b,y) \geqslant a\}]$$

type III 
$$a_n b = n [\overline{T}(a, n(T(a,b)))]$$

En particulier, le type I correspond à l'opérateur de maximalisation  $\tau$  que nous définissons page 91.

Ainsi, par deux approches très différentes :

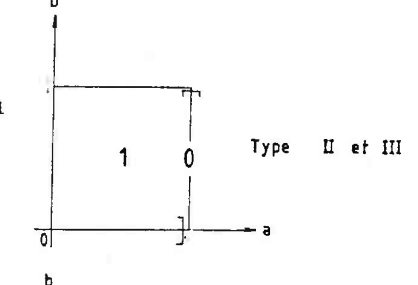
- opérateurs d'implication flous,
- résolution des équations de relations floues,

on aboutit au même opérateur t.

On peut définir une infinité d'opérateurs d'implication flous. A titre d'exemples, citons-en quelques-uns très utilisés. Pour chacun d'eux, on envisage la définition, ainsi que les courbes de niveau.

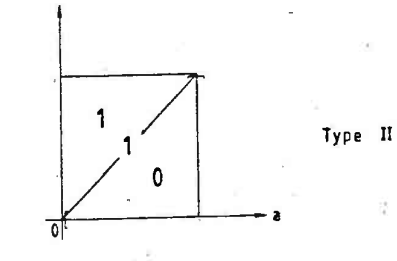
1. L'opérateur "standard sharp"

$$\mathbf{a} \ \mathbf{x}_1 \ \mathbf{b} = \begin{vmatrix} 1 \ \text{si a} < 1 \ \text{ou b} = 1 \\ 0 \ \text{sinon} \end{vmatrix}$$



2. L'opérateur "standard strict"

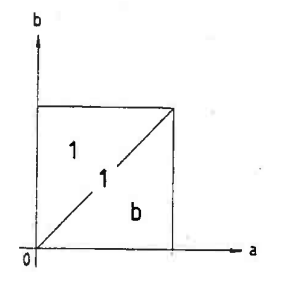
$$a *_2 b = \begin{vmatrix} 1 & \text{si } a \leq b \\ 0 & \text{sinon} \end{vmatrix}$$

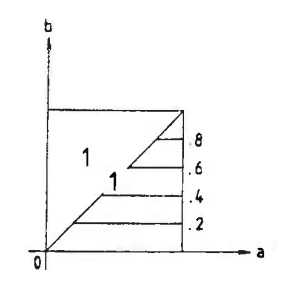


3. L'opérateur de Gödel (ou de Sanchez, noté aussi  $\alpha$ )

Type I

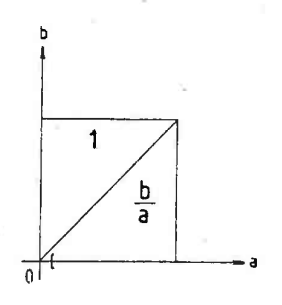
$$a *_3 b = \begin{vmatrix} 1 & si & a \leq b \\ b & sinon \end{vmatrix}$$



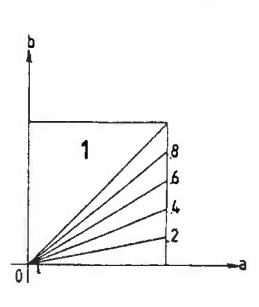


### 4. L'opérateur de Goguen

$$a \times_4 b = \begin{vmatrix} 1 & \sin a \le b \\ \frac{b}{a} & \sin a \end{vmatrix}$$

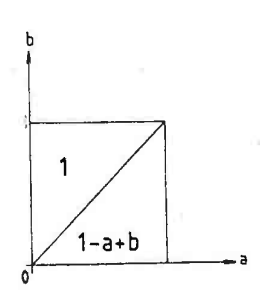


Type J

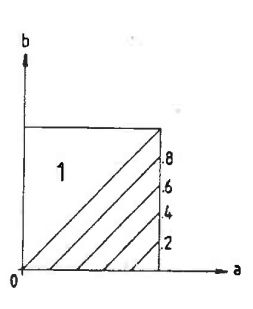


### 5. L'opérateur de Lukasiewicz

$$a \times_5 b = min(1 - a+b, 1)$$

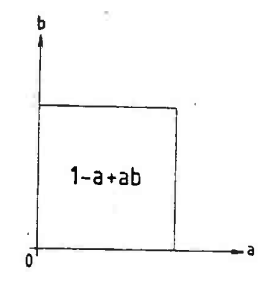


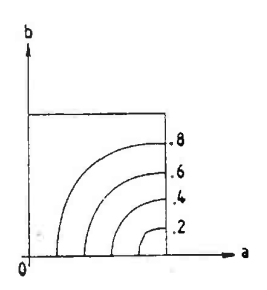
Type I et II



### 6. L'opérateur de Kleene-Dienes

$$a *_{6} b = 1 - a + ab$$

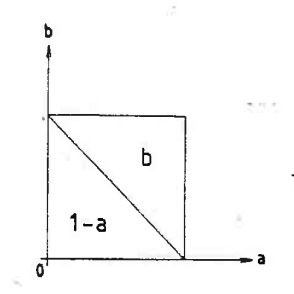




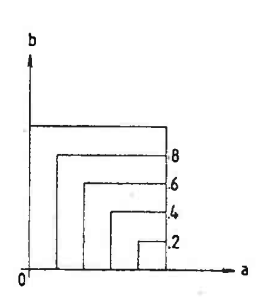
L'opérateur  $\mathbf{x}_6$  n'est d'aucun des trois types de Wéber.

### 7. L'opérateur de Lee (ou de Kleene-Dienes)

$$a \times_7 b = \max(b, 1-a)$$



Type III



Seuls certains opérateurs vérifient les égalités :

$$\begin{cases} a \times 0 = \overline{a} \\ 1 \times b = b \end{cases}$$
 (3)

Les opérateurs de Lukasiewicz  $(x_5)$ , de Kleene-Dienes  $(x_6)$ , de Lee  $(x_7)$  vérifient les égalités (3).

On peut aussi définir des opérateurs d'implication flous paramétrés [voir BAND-85 et KAU-85].

#### 2. MODUS PONENS - MODUS TOLLENS

Suivant les conventions de la logique propositionnelle, nous utiliserons :

le chiffre 1 si la proposition est vraie,
le chiffre 0 si la proposition est fausse.

Considérons l'opérateur d'implication en logique binaire :

a → b est vrai ssi a < b

et sa table de vérité :

v(a)	v(p)	v(a → b)
0	0	1
0	1	1
1	1	1
1	0 .	0

modus tollens

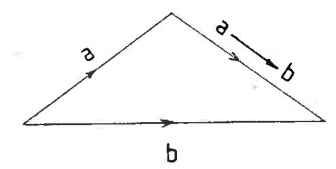
modus ponens

Tableau 1

De la table de vérité précédente, on tire les conséquences suivantes :

1) D'après la ligne 3 du tableau 1 :

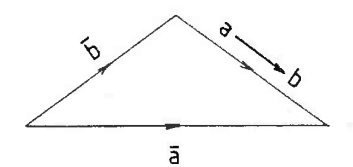
Si a  $\Rightarrow$  b est vrai et si a est vrai alors b est vrai ; c'est la règle de détachement du modus ponens.



Dans un tableau hendécadaire à double entrée, avec a en abscisse et b en ordonnée, le modus ponens se traduit par la présence d'un "1" au sommet supérieur droit.

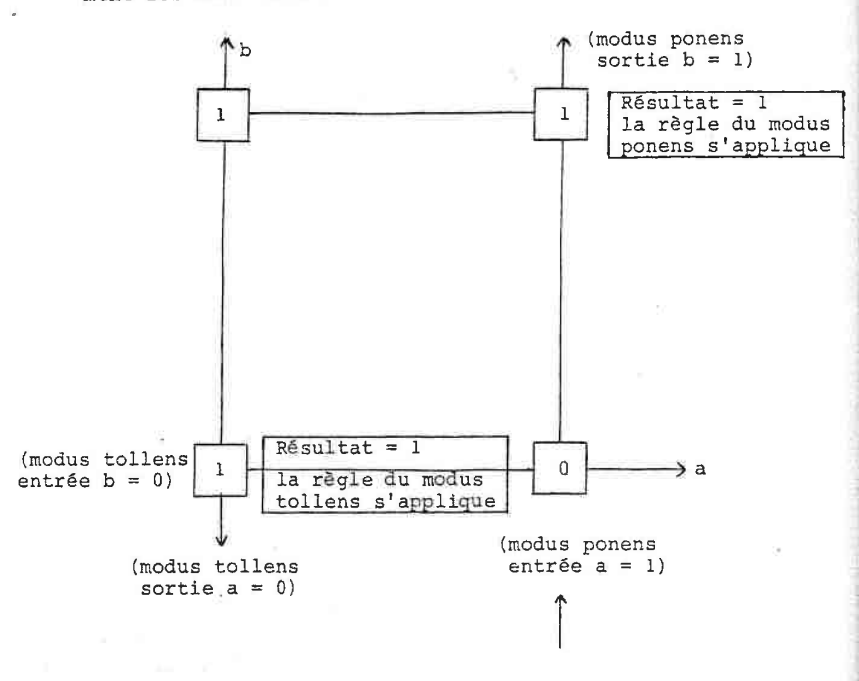
2) D'après la ligne 1 du tableau 1 :

Si  $a \rightarrow b$  est vrai et si b est faux alors a est faux ; c'est la règle de détachement du modus tollens.



Pour le même tableau hendécadaire, le modus tollens se traduit par la présence d'un "l" au sommet inférieur gauche.

A partir du schéma suivant, nous retrouvons facilement les deux modus.



- 3) La ligne 4 du tableau 1 ne présente pas d'intérêt car l'inférence fausse se traduit par : a toujours vrai et b toujours faux.
- 4) La ligne 2 du tableau 1 ne permet pas de conclusion.

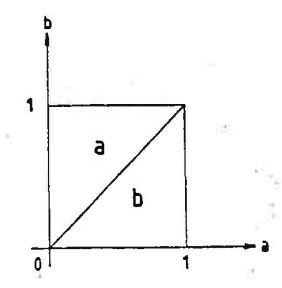
# 3. LES OPERATEURS DE PSEUDO-IMPLICATION FLOUS [KAU-85]

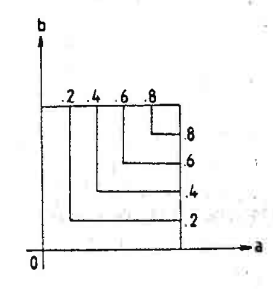
D'autres opérateurs peuvent être introduits. Ils correspondent à des applications de [0,1] x [0,1] dans [0,1] qui ne satisfont pas à certaines des propriétés définies par (1) et (2). De tels opérateurs sont appelés des opérateurs de pseudo-implication flous.

L'opérateur de Zadeh (ou de Mandani) utilisé pour le produit de deux ensembles flous :

$$a \times_8 b = \min(a,b) = a \wedge b$$

 $\mathbf{x}_{8}$  ne vérifie ni la propriété (1), ni la propriété (2). Seul le modus ponens est satisfait.

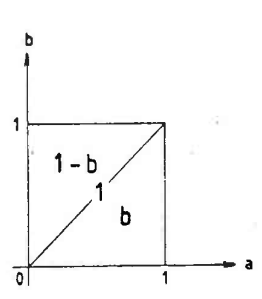


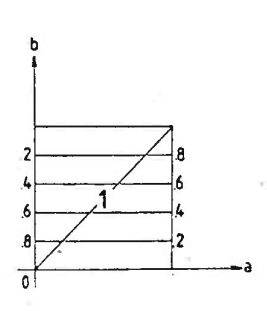


L'opérateur de Mizumoto :

$$a \times_9 b = (a \times_3 b) \wedge (\overline{a} \times_3 \overline{b})$$

vérifie le modus ponens et le modus tollens, mais la propriété (2) n'est pas satisfaite.

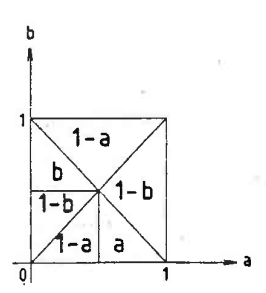


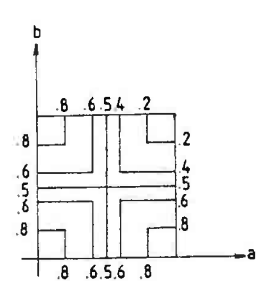


Un autre opérateur, toujours proposé par Mizumoto :

$$a *_{10} b = (\overline{a}_{V} \overline{b})_{\Lambda} (a_{V} \overline{a})_{\Lambda} (b_{V} \overline{b})$$

vérifie le modus tollens, mais la propriété (2) de monotonie n'est pas satisfaite.

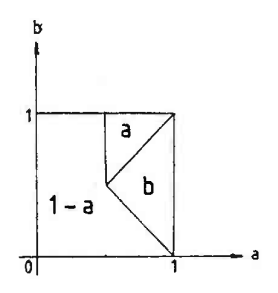


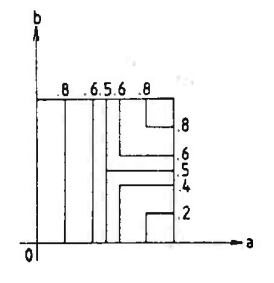


L'opérateur d'inférence de Zadeh :

$$a \times_{11} b = \overline{a}_{V} (a_{\Lambda} b) = \max[1-a, \min(a,b)]$$

vérifie la propriété (1), mais ne satisfait pas la propriété (2) de monotonie. Cet opérateur vérifie aussi les égalités (3).





L'opérateur de Willmott :

$$a \times_{12} b = \min[\underline{m}ax(1-a,b), max(a,1-b,min(b,1-a)]$$

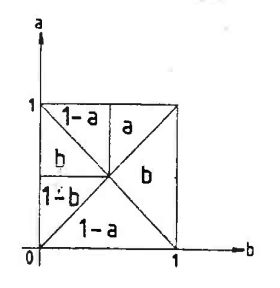
qui peut aussi s'écrire :

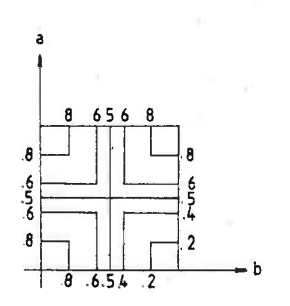
$$a \times_{12} b = \max[\min(a,b), \min(1-a,1-b), \min(1-a,b)]$$

ou encore :

$$a \times_{12} b = \min[\max(1-a,b), \max(a,1-a), \max(b,1-b)]$$

vérifie les relations (3).





#### 4. LE SYLLOGISME

Nous travaillons dans le domaine flou avec les règles de détachement du modus ponens et du modus tollens sur des tableaux hendécadaires, et non plus comme en binaire uniquement aux guatre sommets de ces tableaux.

#### 4.1. Syllogisme direct :

E, et E, représentent l'univers du discours :

$$F(E_1) = \{A : E_1 \rightarrow [0,1]\}$$

$$F(E_2) = \{B : E_2 + [0,1]\},$$

et R une règle d'inférence caractérisée par un opérateur  $\varkappa$  (ou un pseudo-opérateur) d'implication flou. Posons alors  $R(A,B) = A \varkappa B$ , soit pour les fonctions d'appartenance :

$$\mu_{A} \times_{B} (e_{1}, e_{2}) = \mu_{A}(e_{1}) \times \mu_{B}(e_{2})$$

x, y, x' et y' sont des noms d'objet.

La règle de détachement du modus ponens est :

Conséquence		12.1	6.5	t.	В					
Antécédent	2	x'	es	t	A					
Antécédent	1	Si	x	es	t	A	alors	У	est	В

La règle de détachement du modus tollens est :

Conséquence	x' est A
Antécédent 2	y' est B
Antécédent 1	Si x est A alors y est B

Les règles de détachement sont strictes en binaire ; elles sont moins franches, en général, dans le domaine flou.

Pour présenter notre travail, nous utiliserons l'exemple suivant.

#### Exemple 1:

. Considérons A et B hendécadaires et la règle d'inférence caractérisée par l'opérateur de Lukasiewicz :

$$a \times_5 b = min(1, 1-a+b)$$

	b									92		
										-		R(A,B)
1	1	1	1	1	1	1	1	1	1	1	1	
.9	1	1	1	1	- 1	1	1	1	1	1	9	
.8	1	1	1	1	1	1	1	1	1	9	.8	
.7	1	1	1	1	1	1	1	1	(9)	.8	.7	
. 6	1	1	1	1	1	1	1	9	.8	.7	.6	
. 5	1	1	1	1	1	1	9	.8	.7	.6	.5	
. 4	1	1	1	1	1	9	.8	.7	.6	.5	. 4	
.3	1	1	1	1	9	.8	.7	.6	.5	. 4	.3	
. 2	1	1	1	9	.8	.7	.6	.5	. 4	.3	.2	
.1	1	1	9	.8	.7	.6	.5	. 4	.3	.2	.1	
0	( <u>i</u> )	(9)	.8	.7	.6	.5	. 4	.3	.2	.1	0	<b>→</b> a
	0	.1	. 2	. 3	. 4	.5	.6	. 7	.8	.9	1	

Tableau II

Pour le modus ponens, afin de généraliser les résultats de la logique binaire, il nous faut :

- choisir une entrée a,
- consulter le tableau,
- déduire un résultat b.

En flou, en général, pour un a donné, on déduit du tableau de composition R(A,B) plusieurs valeurs de b différentes. Pour a = 0.6 et une inférence totale correspondant à R(0.6,b) = 1, on obtient b = 0.6 ou 0.7 ou 0.8 ou 0.9 ou 1. Donc en flou, il nous faut imposer une règle supplémentaire afin que pour un a donné, ne lui corresponde qu'un b unique.

On envisage alors, pour un a donné, un seuil d'inférence p. On considère sur la colonne correspondante du tableau R(A,B), la première valeur supérieure ou égale au seuil d'inférence p. Pour a=0.6 et p=0.85, on obtient b=0.5.

On pourrait envisager de prendre sur une colonne donnée a la valeur b la plus grande, mais ce choix conduirait à prendre b = 1 pour toute valeur de a. Ce choix de règle est donc sans intérêt.

Si l'on envisage de prendre une valeur quelconque parmi les solutions possibles, il n'y a plus de règle objective

Le seuil d'inférence a la signification suivante :

- pour p = 1, on dira que l'inférence est totale, la déduction est complète. Dans ce cas, on vérifie sur l'exemple que b=a
- pour 0 les valeurs de b sont faibles;

- pour p = 0, il n'y a plus d'inférence, la déduction est nulle. Dans ce cas, on vérifie sur l'exemple que pour toute valeur de a, alors b=0.

La règle d'inférence floue qui consiste à prendre, compte tenu du seuil d'inférence p, parmi les valeurs b possibles celle qui est la plus petite, est donc plus riche que la règle d'inférence binaire. On peut en effet modeler le degré d'inférence par le biais du paramètre p.

Pour le modus tollens, nous appliquons le même procédé, en lisant en entrée non b et pour un seuil d'inférence p donné, on déduit non a.

#### 4.2. Syllogisme indirect :

E<sub>1</sub>, E<sub>2</sub> et E<sub>3</sub> représentent l'univers du discours :

$$F(E_1) = \{A : E_1 \rightarrow [0,1]\}$$

$$F(E_2) = \{B : E_2 \to [0,1]\}$$

$$F(E_3) = \{C : E_3 \rightarrow [0,1]\}$$

et R une règle d'inférence caractérisée par un opérateur  $\mathbf{x}$  (ou un pseudo-opérateur) d'implication flou.

Soit  $P_1$ ,  $P_2$  et  $P_3$  les propositions conditionnelles floues suivantes :

P<sub>1</sub> : Si x est A alors y est B

Po : Si y est B alors z est C

 $P_3$  : Si x est A alors z est C

Soit R(A,B), R(B,C) et R(A,C) trois relations floues définies sur  ${\rm E_1}$  x  ${\rm E_2}$ ,  ${\rm E_2}$  x  ${\rm E_3}$  et  ${\rm E_1}$  x  ${\rm E_3}$  qui sont obtenues respectivement à partir des propositions  ${\rm P_1}$ ,  ${\rm P_2}$  et  ${\rm P_3}$ .

La règle de détachement du modus ponens est la suivante :

Antécédent 1 : Si x est A alors y est B Antécédent 2 : Si y est B alors z est C

Antécédent 3 : x' est A

Conséquence z'est C

La règle de détachement du modus tollens est la suivante :

Antécédent l : Si x est A alors y est B

Antécédent 2 : Si y est B alors z est C

Antécédent 3 : z' est C

Conséquence x' est  $\overline{A}$ 

Ces deux règles de détachement correspondent au syllogisme indirect (passage composé de A à B, puis de B à C).

Le syllogisme indirect sera dit parfait si pour toute entrée avec la règle de détachement du modus ponens et du modus tollens, on a la propriété :

$$R(A,B) \circ R(B,C) = R(A,C) \tag{4}$$

où "." représente une composition de relations floues. Kaufmann [KAU-85] et Mizumoto [MIZ-82] envisagent la composition "." = MAX-MIN et concluent "On ne rencontre pas en flou des opérateurs ayant les trois propriétés (1), (2) et (4). Chaque opérateur possède un inconvénient".

Nous envisageons une composition " $_{\circ}$ " plus générale. On définit au chapitre 5, un opérateur de maximalisation  $\tau$  qui intervient dans la résolution des équations de relations floues (composition " $_{\circ}$ " sup t-norm). Cet opérateur  $\tau$  est également un opérateur d'implication.

Soient  $E_1 = \{e_{11}, e_{12}, \dots, e_{1m}\}, E_2 = \{e_{21}, e_{22}, \dots, e_{2n}\}$  et  $E_3 = \{e_{31}, e_{32}, \dots, e_{3p}\}$  trois ensembles finis non vides, et  $F(E_1) = \{A : E_1 \to [0,1]\}, F(E_2) = \{B : E_2 \to [0,1]\}$  et  $F(E_3) = \{C : E_3 \to [0,1]\}$  les ensembles flous sur  $E_1$ ,  $E_2$  et  $E_3$  respectivement.

On note  $a_i = A(e_{1i})$ ,  $b_j = B(e_{2j})$  et  $c_k = C(e_{3k})$  pour  $1 \le i \le m$ ,  $1 \le j \le n$  et  $1 \le k \le p$ .

#### Théorème :

Soit T une t-norme archimédienne et  $\tau$  l'opérateur de maximalisation associé ; les relations floues R(A,B), R(B,C) et R(A,C) appartenant respectivement à F(E $_1$  x E $_2$ ), F(E $_2$  x E $_3$ ) et F(E $_1$  x E $_3$ ) et définies par :

$$R(A,B) = {}^{t}A \oplus B$$

$$R(B,C) = {}^{t}B \oplus C$$

$$R(A,C) = {}^{t}A(\overline{t})C$$

vérifient l'inégalité :

$$R(A,B) \circ R(B,C) \leq R(A,C)$$

où "." désigne la composition sup-T.

De plus, si pour tout i=1,...,n et  $\forall k=1,...,p$ , il existe un indice  $j\in\{1,...,n\}$  tel que :

$$a_i \leq b_j \leq c_k \text{ ou } c_k < b_j < a_i$$

alors:  $R(A,B) \circ R(B,C) = R(A,C)$ .

L'opérateur  $\tau$  (ainsi que ses propriétés) n'étant défini qu'au chapitre 5, nous envisageons la démonstration de ce théorème en annexe l.

Jusqu'à la fin de ce chapitre, nous ne traitons que le cas particulier où A, B et C sont tous les trois hendécadaires.

Dans ce cas, le syllogisme indirect est parfait si l'on considère en (4) la composition "。" = sup t-norme avec t-norme archimédienne, et comme opérateur d'implication l'opérateur concordant de maximalisation associé à la t-norme. En effet, il existe toujours un  $b_j$  tel que  $a_i \leqslant b_j \leqslant c_j$  (ou  $c_j \leqslant b_j \leqslant a_j$ ).

Par exemple, pour la règle d'inférence de Goguen :

$$a \times_4 b = \begin{vmatrix} 1 & \text{si } a \leq b \\ \frac{b}{a} & \text{si } a > b \end{vmatrix}$$

la composition sup-produit, où la t-norme est T(a,b) = ab, conduit à un syllogisme indirect parfait.

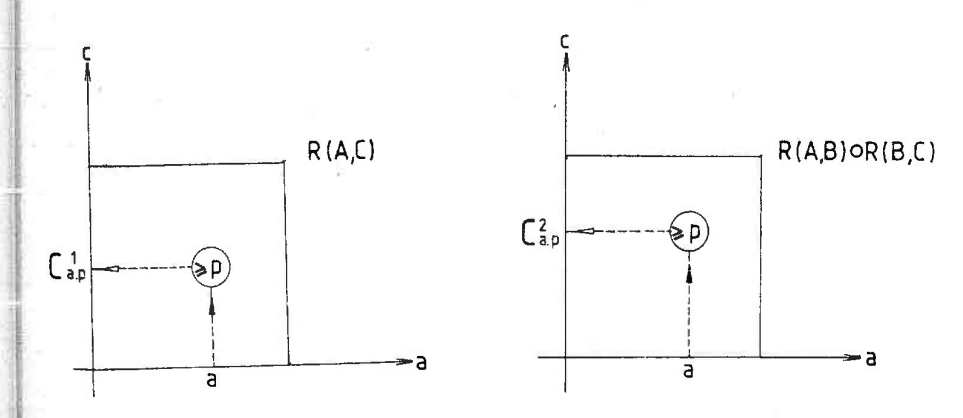
Par contre, pour l'opérateur de Gödel (ou de Sanchez) :

$$a \times_3 b = \begin{vmatrix} 1 & \text{si } a \leqslant b \\ b & \text{si } a > b \end{vmatrix}$$

qui est l'opérateur de maximalisation correspondant à MIN, la composition MAX-MIN ne conduit pas à un syllogisme indirect parfait (puisque la norme est non archimédienne et seulement continue).

Cependant, avec A, B et C hendécadaires, on peut aussi considérer un opérateur x (ou un pseudo-opérateur) d'implication flou et une règle de composition "o" quelconque. Afin de tester dans ces conditions un opérateur x (ou un pseudo-opérateur) d'implication flou avec une règle de composition "o" donnée, nous utilisons la notion de seuil d'inférence au § 4.1 et nous introduisons deux indicateurs.

Pour une règle d'inférence donnée avec le modus ponens, on envisage les onze valeurs d'entrée de a et l'on considère sur une colonne donnée de R(A,C) et de R(A,B) 。 R(B,C), la première valeur supérieure ou égale au seuil d'inférence p.



On calcule pour le modus ponens un premier indicateur, par exemple la somme des valeurs absolues des différences  $c_{a,p}^1 - c_{a,p}^2$  divisée par les onze entrées considérées.

pour le modus tollens, on envisage en entrée les 11 valeurs possibles de C et l'on considère sur une ligne donnée de R(A,C) et de R(A,B) 。 R(B,C) la première valeur supérieure ou égale au seuil d'inférence. On calcule pour le modus tollens un second indicateur en effectuant la somme des valeurs absolues des différences a  $_{\rm C,p}^{\rm l}$  divisée par les onze entrées envisagées. Si les deux indicateurs sont faibles, le syllogisme indirect est presque parfait et l'on peut estimer que la règle d'inférence et la composition envisagée sont bien adaptées.

#### Exemple 2:

Règle de Lukasiewicz  $x_5$  et composition "o" = MAX-MIN.

On envisage A = B = C pris tous les trois suivant les valeurs hendécadaires croissantes.

On utilise le tableau II précédent et le tableau III suivant pour R(A,B) o R(B,C), avec "o" = MAX-MIN.

/	V.C											
												R(A,B) .R(B,C)
1	1	1	1	1	1	1	1	1	1	1	1	
.9	1	1	1	1	1	1	1	1	1	1	.9	
.8	1	1	l	1	1	1	1	1	1	.9	9	
.7	1	1	1	1	1	1	1	1	.9	9	.8	
.6	1	1	1	1	1	1	1	.9	9	.8	.8	3
•5	1	1	- 1	1	1	1	.9	9	.8	.8	.7	
.4	1	1	1	1	1	.9	9	.8	.8	.7	.7	5
.3	1	1	1	1	.9	9	.8	.8	.7	.7	.6	
.2	1	1	1	.9	9	.8	.8	.7	.7	.6	.6	
.1	1	1	.9	9	.8	.8	.7	.7	.6	.6	.5	
0	(1)	(§)	9	.8	.8	.7	.7	.6	.6	.5	.5	<b>→</b> a
	0	.1	. 2	.3	. 4	.5	.6	.7	.8	.9	1	

Tableau III

Pour un seuil d'inférence p tel que 0.8 < p < 0.9, les termes considérés pour une colonne donnée a sont encerclés dans les tableaux II et III :

- en trait plein, les termes correspondent à une différence non nulle pour  $c_{a,p}^1$   $c_{a,p}^2$  ;
- en pointillés, les termes correspondent à une différence nulle pour  $c_{a,p}^1$   $c_{a,p}^2$ .

Pour le modus ponens, dans notre exemple, le premier indicateur i  $_1$  vaut  $\frac{0.9}{11}$   $\simeq$  0.082.

Nous présentons ensuite quelques exemples de calcul d'indicateur.

Exemple 3:

$$A = B = C = \{0, .1, .2, ..., 1\}$$

p seuil d'inférence.

- i<sub>1</sub> indicateur correspondant au modus ponens avec la composition "o" = MAX-MIN.
- i<sub>2</sub> indicateur correspondant au modus tollens, avec la même composition.

Pour le pseudo-opérateur minimum  $\mathbf{x}_8$ , le modus tollens n'est pas vérifié et nous n'envisageons pas le calcul de l'indicateur  $\mathbf{i}_2$  pour l'opérateur  $\mathbf{x}_8$ .

A l'exception de la restriction relative à  $\mathbf{x}_8$ , nous avons constaté que  $\mathbf{i}_1$  =  $\mathbf{i}_2$ .

			.9 <p<1< td=""><td>.7.sp&lt;.8</td><td>.5<p<.6< td=""><td>.3<p<.4< td=""><td>.1<p<.2< td=""></p<.2<></td></p<.4<></td></p<.6<></td></p<1<>	.7.sp<.8	.5 <p<.6< td=""><td>.3<p<.4< td=""><td>.1<p<.2< td=""></p<.2<></td></p<.4<></td></p<.6<>	.3 <p<.4< td=""><td>.1<p<.2< td=""></p<.2<></td></p<.4<>	.1 <p<.2< td=""></p<.2<>
	*1	= standard sharp	0.000	0.000	0.000	0.000	0.000
	*2	= standard strict	0.000	0.000	0.000	0.000	0.000
ırs	*3	= Gödel (Sanchez)	0.000	0.000	0.000	0.000	0.000
ateı	$*_4$	= Gaines	0.027	0.091	0.109	0.073	0.009
Opérateurs	<b>x</b> <sub>5</sub>	= Lukasiewicz	0.082	0.164	0.136	0.055	0.009
O	*6	= Kleene Dienes	0.073	0.127	0.155	0.055	0.009
	*7	= Lee ou Kleene Dienes	0.000	0.000	Ū.227	0.082	0.009
Pseudo- pérateurs	<b>*</b> 9	= Mizumoto	0.000	0.000	0.000	0.000	0.000
endo	*11	= Zadeh	0.000	0.000	0.227	0.082	0.009
Ps péi	*12	= Willmott	0.000	0.000	0.227	0.082	0.009

Valeurs de  $i_1$  (ou de  $i_2$ ) pour différents opérateurs en fonction du seuil d'inférence p

Exemple 4:

$$A = C = \{0, .1, .2, ..., 1\}$$

$$B = \{1, .9, .8, ..., 0\}$$

indicateur correspondant au modus ponens avec la composition "o" = MAX-MIN.

			.9 <p<1< td=""><td>.7≼p&lt;.8</td><td>.5≼p&lt;.6</td><td>.3≤p&lt;.4</td><td>.1≼p&lt;.2</td></p<1<>	.7≼p<.8	.5≼p<.6	.3≤p<.4	.1≼p<.2
	×1	= standard sharp	0.000	0.000	0.000	0.000	0.000
	* <sub>2</sub>	= standard strict	0.036	0.036	0.036	0.036	0.036
ırs	<b>*</b> <sub>3</sub>	= Gödel (Sanchez)	0.027	0.027	0.027	0.018	0.000
ate	×4	= Gaines	0.027	0.091	0.109	0.073	0.000
Opérateurs	<b>×</b> 5	= Lukasiewicz	0.082	0.164	0.136	0.055	0.009
0	*6	= Kleene Dienes	0.073	0.127	0.155	0.055	0.009
2	*7	= Lee ou Kleene Dienes	0.000	0.000	0.227	0.082	0.009
		r .					
	<b>×</b> 8	= Minimum	0.000	0.000	0.000	0.000	0.000
o- eurs	<b>*</b> 9	= Mizumoto	0.145	0.055	0.027	0.018	0.000
Pseudo- Opérateur	× <sub>11</sub>	= Zadeh	0.000	0.000	0.227	0.082	0.009
Ps Opéi	<b>x</b> <sub>12</sub>	= Willmott	0.000	0.000	0.227	0.082	0.009

Valeurs de i

Exemple 5:

$$A = C = \{0, .1, .2, ..., 1\}$$
  
 $B = \{1, .9, .8, ..., 0\}$ 

 $\mathbf{i}_2$  indicateur correspondant au modus tollens avec la composition "." = MAX-MIN.

			.9 <p<1< th=""><th>.7≼p&lt;.8</th><th>.5≼p&lt;.6</th><th>.3≤p&lt;.4</th><th>.1<p<.2< th=""></p<.2<></th></p<1<>	.7≼p<.8	.5≼p<.6	.3≤p<.4	.1 <p<.2< th=""></p<.2<>
	×1	= standard sharp	0.000	0.000	0.000	0.000	0.000
	*2	= standard strict	0.036	0.036	0.036	0.036	0.036
ırs	<b>x</b> <sub>3</sub>	= Gödel (Sanchez)	0.027	0.027	0.027	0.018	0.000
ater	×4	= Gaines	0.027	0.091	0.109	0.073	0.000
Opérateurs	× <sub>5</sub>	= Lukasiewicz	0.082	0.164	0.136	0.055	0.009
0	<b>*</b> 6	= Kleene Dienes	0.073	0.127	0.155	0.055	0.009
	* <sub>7</sub>	= Lee ou Kleene Dienes	0.000	0.000	0.227	0.082	0.009
z <b>n</b>	ж8	= Minimum	-	-	-	-	-
lo- eur	<b>*</b> 9	= Mizumoto	0.009	0.018	0.027	0.018	0.000
Pseudo- Opérateurs	× <sub>11</sub>	= Zadeh	0.000	0.000	0.227	0.082	0.009
P Opé	* <sub>12</sub>	= Willmott	0.000	0.000	0.227	0.082	0.009

Valeurs de i2

#### CHAPITRE 5

#### ÉQUATIONS DE RELATION, FLOUE

Comme on l'a vu au chapitre 1, les relations floues vont nous permettre de travailler sur des problèmes de reconnaissance de formes. On s'intéresse à la détermination de la relation de cause à effet avec la composition habituelle MAX-MIN. On sait que l'on a un ensemble de solutions qui forme un sup demi-treillis. On aura donc à déterminer la solution maximale, ainsi que les solutions minimales. On envisage soit une cause, d'où un problème uni-dimensionnel, soit un ensemble de causes, d'où un problème bi-dimensionnel.

Nous proposons une méthode originale pour déterminer un opérateur de maximalisation et les solutions minimales pour la composition plus générale SUP-T et un opérateur de minimalisation pour la composition INF-S.

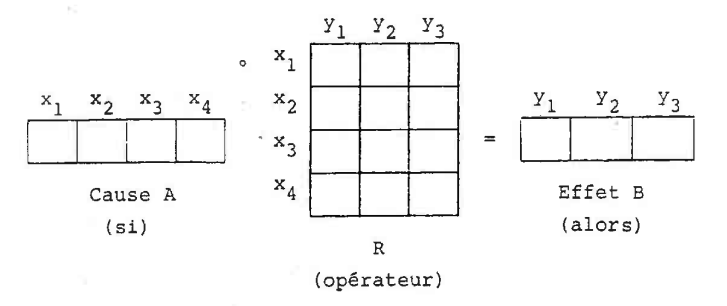
#### 1. PROBLEME UNI-DIMENSIONNEL LIE A LA COMPOSITION MAX-MIN

Soit les ensembles finis non vides  $X = \{x_1, x_2, \dots, x_n\}$  et  $Y = \{y_1, y_2, \dots, y_m\}$  avec card X = |X| = n fini, et card Y = |Y| = m fini, et  $F(X) = \{A : X + [0,1]\}$  la classe de tous les ensembles flous sur l'intervalle réel unitaire I = [0,1].

Soit A  $\in$  F(X), B  $\in$  F(Y) et R une relation floue appartenant à F(X  $\times$  Y) telle que l'équation suivante soit vérifiée :

$$B(y_{j}) = (R \cdot A)(y_{j}) = \bigvee_{i=1}^{n} [\bar{R}(x_{i}, y_{j}) \wedge A(x_{i})] \forall j = 1,...,m$$
 (1)

La relation floue  $R \in F(X \times Y)$  est l'inconnue de l'équation MAX-MIN précédente (1). Il s'agit de trouver la relation R telle que "si A alors B par R". La relation R est appelée relation de "causalité" ou de "méta-implication" qui permet d'obtenir B si l'on se donne A.



Il existe des causes A qui ne peuvent entraîner les effets B. De même, tous les effets B ne peuvent être produits par n'importe quelle cause A. Il existe des ensembles A et B tels qu'il n'y ait pas de relation R vérifiant R  $_{\circ}$  A = B.

Cependant, s'il existe une solution de l'équation (1), en général elle n'est pas unique. Désignons par :

$$R = \{R C X X Y \mid R \circ A = B\}$$

l'ensemble de toutes les solutions de l'équation (1).

Sanchez (1974) a montré que l'ensemble R avec R  $\neq \varnothing$  possède la structure d'un sup demi-treillis car les propriétés de distributivité pour la composition MAX-MIN avec le MAX sont vérifiées (si les opérations sont définies) :

mais elles ne sont pas vérifiées pour le MIN, en particulier :

$$R \circ (A_1 \wedge A_2) \subseteq (R \circ A_1) \wedge (R \circ A_2) \tag{3}$$

#### Exemple 1:

Soit les relations :

$$A = A_{1} = \begin{array}{c|cccc} x_{1} & x_{2} & & & & x_{1} & x_{2} \\ \hline & & & & & & & & & \\ & & & & & & & \\ & & & & & & \\ & & & & & & \\ & & & & & & \\ & & & & & & \\ & & & & & & \\ & & & & & \\ & & & & & \\ & & & & & \\ & & & & & \\ & & & & \\ & & & & \\ & & & & \\ & & & & \\ & & & & \\ & & & & \\ & & & & \\ & & & & \\ & & & & \\ &$$

alors :

$$R \circ (A_{1} \vee A_{2}) = (R \circ A_{1}) \vee (R \circ A_{2}) = \begin{bmatrix} y_{1} & y_{2} \\ .6 & .5 \end{bmatrix}$$

$$(R_{1} \vee R_{2}) \circ A = (R_{1} \circ A) \vee (R_{2} \circ A) = \begin{bmatrix} .6 & .6 \end{bmatrix}$$

$$R \circ (A_{1} \wedge A_{2}) = \begin{bmatrix} .3 & .3 \end{bmatrix}$$

$$(R \circ A_{1}) \wedge (R \circ A_{2}) = \begin{bmatrix} .5 & .4 \end{bmatrix}$$

#### 2. PROBLEME BI-DIMENSIONNEL LIE A LA COMPOSITION MAX-MIN

Soit les ensembles finis non vides  $X = \{x_1, x_2, \dots, x_n\}$   $Y = \{y_1, y_2, \dots, y_m\}$  et  $Z = \{z_1, z_2, \dots, z_p\}$  avec |X| = n, |Y| = m et |Z| = p finis, A  $\in$  F(X  $\times$  Y), R  $\in$  F(Y  $\times$  Z) et B  $\in$  F(X  $\times$  Z) des relations floues liées par l'équation suivante :

$$B(x_{i}, z_{k}) = (R \circ A)(x_{i}, z_{k}) = \bigvee_{j=1}^{m} \left[ \overline{A}(x_{i}, y_{j}) \wedge R(y_{j}, z_{k}) \right]$$

$$\forall i = 1, ..., n$$

$$\forall k = 1, ..., p$$

$$(4)$$

La relation R est l'inconnue de l'équation précédente (4). Appelons  $R = \{R \ C \ X \ X \ Y \mid R \ . \ A = B\}$  l'ensemble des solutions de l'équation (4). Dinola et Sessa [DIN-84] font remarquer que l'équation (4) est équivalente au système de n équations floues uni-dimensionnel de la forme (1) :

$$R \circ A_{i} = B_{i} \quad \forall i = 1, \dots, n$$
 (5)

avec  $A_i \in F(\{x_i\} \times Y)$  et  $B_i \in F(\{x_i\} \times Z)$ 

Les fonctions d'appartenance étant données par :

$$\begin{aligned} & \mathbf{A}_{\underline{\mathbf{1}}}(\mathbf{x}_{\underline{\mathbf{1}}}, \mathbf{y}_{\underline{\mathbf{j}}}) &= \mathbf{A}(\mathbf{x}_{\underline{\mathbf{1}}}, \mathbf{y}_{\underline{\mathbf{j}}}) & \forall \mathbf{y} = 1, \dots, m \\ & \mathbf{B}_{\underline{\mathbf{1}}}(\mathbf{x}_{\underline{\mathbf{1}}}, \mathbf{z}_{\underline{\mathbf{k}}}) &= \mathbf{B}(\mathbf{x}_{\underline{\mathbf{1}}}, \mathbf{z}_{\underline{\mathbf{k}}}) & \forall \mathbf{k} = 1, \dots, p \end{aligned}$$

Si l'on désigne par  $R_i$  l'ensemble de toutes les solutions de l'équation i de la forme (5), alors :

$$R = \bigcap_{i=1}^{n} R_{i}$$
 (6)

## 3. EXISTENCE DES SOLUTIONS. SOLUTION MAXIMALE POUR LA COMPOSITION MAX-MIN

Pour résoudre l'équation R  $_{\circ}$  A = B, nous sommes amenés à introduire différents opérateurs et différentes compositions.

#### 3.1. Transposée d'une relation floue :

La transposée d'une relation floue A  $\in$  F(X x Y) est la relation floue notée <sup>t</sup>A  $\in$  F(Y x X) telle que :

$$t_{A(y_j,x_i)} = A(x_i,y_j)$$
  $\forall i = 1,...,n$   
 $\forall j = 1,...,m$ 

### 3.2. L'opérateur de maximalisation a et l'opérateur de minimalisation g:

Soit l'opérateur  $\alpha$  de Sanchez (ou  $\mathbf{x}_3$  de Gödel) ou de maximalisation, ou encore de pseudo-complémentation :

$$[0,1] \times [0,1] \rightarrow [0,1]$$
  
a  $\alpha$  b =  $\begin{vmatrix} 1 & \text{si } a \leqslant b \\ b & \text{si } a > b \end{vmatrix}$ 

(c'est le plus grand élément tel que a  $\alpha \leqslant b$ ).

L'opérateur g ou opérateur de minimalisation :

$$[0,1] \times [0,1] \rightarrow [0,1]$$

$$a \circ b = \begin{vmatrix} 0 & \sin a < b \\ b & \sin a > b \end{vmatrix}$$

(l'opérateur  $\sigma$  n'est pas le dual de l'opérateur  $\alpha$ ).

#### 3.3. La composition @:

La composition @ de  ${}^tA$  & F(Y x X) et de B & F(X x Z) est la relation floue notée  ${}^tA$  @ B =  ${}^V$ , avec  ${}^V$  & F(Y x Z), telle que :

$${}^{\mathsf{v}}_{\mathsf{R}}(\mathsf{y}_{\mathsf{j}},\mathsf{z}_{\mathsf{k}}) = \bigwedge_{\mathsf{i}=1}^{\mathsf{n}} \left[ {}^{\mathsf{t}}_{\mathsf{A}}(\mathsf{y}_{\mathsf{j}},\mathsf{x}_{\mathsf{i}}) \ \alpha \ \mathsf{B}(\mathsf{x}_{\mathsf{i}},\mathsf{z}_{\mathsf{k}}) \right] \tag{7}$$

$$\forall j = 1, ..., m ; \forall k = 1, ..., p$$

#### 3.4. La composition @:

$${}^{t}A \bigcirc B(y_{j}, z_{k}) = \bigvee_{i=1}^{n} \left[ {}^{t}A(y_{j}, x_{i}) \quad \sigma B(x_{i}, z_{k}) \right]$$
(8)

$$\forall j = 1, ..., m ; \forall k = 1, ..., p$$

#### 3.5. Existence des solutions :

Une condition nécessaire et suffisante pour qu'il existe des solutions à l'équation R  $_{\circ}$  A = B est que  $\overset{V}{R}$  soit solution de cette équation.

La condition suivante :

$$B(x_{i},z_{k}) \leq \sup_{y} A(x_{i},y) \qquad \forall i = 1,...,n$$

$$\forall k = 1,...,p$$
(9)

est une condition nécessaire d'existence des solutions.

#### 3.6. Solution maximale :

R' est la solution maximale de R (avec R  $\neq \emptyset$ ) si :

$$\forall (x,y) \in X \times Y$$
 
$$R(x,y) \leq R'(x,y)$$
  $\forall R \in R$ 

Sanchez montre que l'ensemble R des solutions de l'équation R  $_{\circ}$  A = B, avec " $_{\circ}$ " = MAX-MIN, possède la structure d'un sup demi-treillis avec pour solution maximale  $\stackrel{V}{R}=\stackrel{t}{}A_{}$   $\stackrel{C}{\text{\tiny $\Omega$}}$  B.

#### Exemple 2:

Considérons :

#### Remarque :

Les résultats similaires sont démontrés pour l'équation R  $_{\circ}$  A = B (A inconnue, B et R donnés). Une condition nécessaire et suffisante pour qu'il existe des solutions à l'équation R  $_{\circ}$  A = B (avec A inconnue) est que  $\overset{\text{V}}{A}$  =  $\overset{\text{U}}{=}$  (R  $\overset{\text{U}}{\otimes}$   $\overset{\text{U}}{=}$  B) soit solution de cette équation. Lorsque les solutions existent,  $\overset{\text{U}}{A}$  est la plus grande solution.

#### 4. LES SOLUTIONS MINIMALES POUR LA COMPOSITION MAX-MIN

#### 4.1. Problème uni-dimensionnel :

Pour déterminer les solutions minimales, ainsi que leur nombre, introduisons la fonction ordinale.

#### 4.1.1. Fonction ordinale:

Soit la fonction ordinale définie par :

$$\Gamma_{j} = \{x_{i} \in X | A(x_{i}) \ge B(y_{j})\} \quad j = 1,...,m$$
 (10)

#### Exemple 3:

Considérons :

$$x_1 \quad x_2 \quad x_3 \quad x_4$$
 $A = \begin{bmatrix} .2 & .8 & 0 & .4 \end{bmatrix}$ 
 $B = \begin{bmatrix} .4 & .8 & .3 \end{bmatrix}$ 

alors: 
$$\Gamma_1 = \Gamma\{y_1\} = \{x_2, x_4\}$$
  
 $\Gamma_2 = \Gamma\{y_2\} = \{x_2\}$   
 $\Gamma_3 = \Gamma\{y_3\} = \{x_2, x_4\}$ 

#### 4.1.2. Eléments minimaux :

Un élément M est dit élément minimal de R si pour tout R  $\in$  R, R  $\leq$  M alors R = M. Dinola [DIN-84] montre les propositions suivantes.

#### Proposition 1:

Si R  $\neq \emptyset$  alors  $\Gamma_j \neq 0 \ \forall j = 1,...,m$ 

(c'est la condition nécessaire (9)).

#### Proposition 2:

Si 
$$\Gamma_j \neq \emptyset$$
  $\forall j = 1,...,m$  alors:
$$t_A(\sigma) B \text{ et } t_A(\sigma) B \in R.$$

#### Proposition:

Si R  $\neq \emptyset$ , R possède des éléments minimaux. Pour déterminer ces éléments minimaux, il suffit de garder un élément et un seul non nul dans chaque colonne de <sup>t</sup>A  $\bigcirc$  B. Les éléments minimaux sont au nombre de N $^*$ :

$$N_{\mathbf{x}} = \frac{h^{\mathbf{B}}(\lambda) \neq 0}{\mathbb{I}} | L^{\frac{1}{2}} |$$

 $\mbox{La réunion des $N^{\mbox{\scriptsize M}}$ \'el\'ements minimaux redonne} \\ R^{\mbox{\scriptsize M}} = \, ^t \! A \left( \vec{0} \right) \mbox{B} :$ 

$$\sum_{i=1}^{N^{\mathbf{X}}} \mathbf{M}_{i} = \mathbf{R}^{\mathbf{X}} = {}^{t}\mathbf{A} \bigcirc \mathbf{B} \tag{11}$$

Exemple 4:

$A = \begin{bmatrix} x_1 & x_2 & x_3 & x_4 \\ .2 & .8 & 0 & .4 \end{bmatrix}$	$B = \begin{array}{ c c c c c c c c c c c c c c c c c c c$
$ \begin{array}{cccccccccccccccccccccccccccccccccccc$	$\stackrel{V}{R} = {}^{t}A \textcircled{2}B$ $a \alpha b = \begin{vmatrix} 1 & \text{si a} \\ b & \text{si a} \end{vmatrix}$
$x_4$ $1$ $1$ $3$ $y_1$ $y_2$ $y_3$	•
R <sup>M</sup> = X <sub>1</sub> 0 0 0 0 R R X <sub>2</sub> X <sub>3</sub> 0 0 0 0 X X <sub>4</sub> X <sub>4</sub> 0 .3	$R^{X} = {}^{t}A \bigcirc B$ a $\sigma b = \begin{vmatrix} 0 & \sin a \\ b & \sin a \end{vmatrix}$
$R_{m_1}$ $R_{m_2}$ $R_{m_3}$	R <sub>m</sub> ,

R <sub>m1</sub>	0	0	0
	. 4	.8	. 3
	0	0	0
	0	0	0

R <sub>m2</sub>	0	0	0
	. 4	.8	0
	0	0	0
	0	- 0	.3

R <sub>m3</sub>	0	0	0
	0	.8	.3
	0	0	0
	.4	0	0

Sanchez montre que toute relation floue comprise entre R  $^{\mathbf{X}}$  et R est solution de l'équation (1).

Ainsi, pour l'exemple précédent :

$$R_{1} = \begin{array}{c} x_{1} & y_{2} & y_{3} \\ x_{1} & .2 & .3 & .4 \\ x_{2} & .4 & .8 & .3 \\ x_{3} & .4 & 0 & .3 \end{array} \quad \text{e R} \qquad \begin{array}{c} x_{1} & y_{2} & y_{3} \\ x_{1} & .5 & .1 & .4 \\ x_{2} & .4 & .8 & .3 \\ 0 & 0 & 0 & 0 \\ x_{4} & .4 & 0 & .3 \end{array} \quad \text{e R}$$

mais  $R_1$  et  $R_2$  ne sont pas comparables.

De même :

$$R_{3} = \begin{array}{c} x_{1} & y_{2} & y_{3} \\ x_{1} & 0 & 0 & 0 \\ x_{2} & .4 & .8 & .3 \\ x_{3} & .1 & 0 & 0 \\ x_{4} & .3 & 0 & .3 \end{array} \in \mathbb{R}$$

mais  $R_3$  n'est pas comparable à  $R^{x}$ .

#### Proposition 4 :

tA ( B est l'élément minimum de R

ssi 
$$\begin{cases} ou B(y_j) = 0 \\ ou \Gamma_j = 1 \end{cases}$$

#### Exemple 5:

Les relations  $A \in F(X)$  et  $B \in F(Y)$  sont données par :

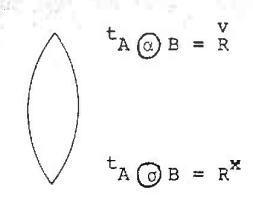
$$\Gamma_1 = \Gamma\{y_1\} = \{x_1\}$$

$$B(y_2) = 0$$

$$\Gamma_2 = \Gamma\{y_2\} = \{x_1\}$$

$$\overset{\mathsf{Y}}{\mathbf{R}} = \overset{\mathsf{t}}{\mathbf{A}} \overset{\mathsf{T}}{\mathbf{A$$

Si B(y\_j) = 0 ou  $\Gamma_j$  = 1  $\forall j$  = 1,...,m , alors la structure de R est celle d'un treillis :



Remarque : Sessa [SES-84] donne deux théorèmes sur la résolution des équations MAX-MIN.

#### Théorème 1 :

$$^{t}A \bigcirc B = ^{t}A \bigcirc B$$
 ssi ou bien

- I)  $B(y_j) < 1$   $\forall j = 1,...,m$  alors  $A(x_j) > B(y_j)$   $\forall j = 1,...,m$  ou
- II) il existe au moins un indice  $j^{X}$ ,  $j^{X}=1,...,m$  tel que  $B(y_{i}^{X})=1$  alors  $A(x_{i})=1$   $\forall i=1,...,n$ .

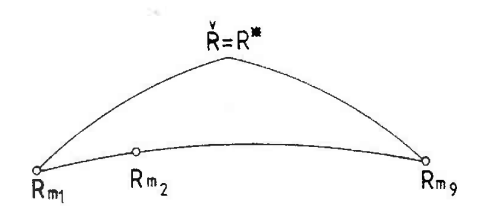
#### Exemple 6:

Les relations A & F(X) et B & F(Y) sont données par :

$$x_1$$
  $x_2$   $x_3$   $x_4$   $x_5$   $x_4$   $x_5$   $x_6$   $x_7$   $x_8$   $x_8$   $x_9$   $x_8$   $x_9$   $x_9$ 

La condition I) est satisfaite et :

L'ensemble des solutions de l'équation R . A=B possède 9 éléments minimaux. La structure de R est la suivante :



#### Exemple 7:

Les relations A & F(X) et B & F(Y) sont données par :

$$A = \begin{bmatrix} x_1 & x_2 & x_3 \\ 1 & 1 & 1 \end{bmatrix}$$

$$B = \begin{array}{c|c} Y_1 & Y_2 \\ \hline .7 & 1 \end{array}$$

La condition II) est satisfaite et :

$${}^{t}A \bigcirc B = {}^{t}A \bigcirc B = {}^{x_1} \begin{bmatrix} x_1 & y_2 \\ .7 & 1 \\ .7 & 1 \\ x_3 & .7 & 1 \end{bmatrix}$$

L'ensemble des solutions de l'équation R  $_{\circ}$  A = B possède 9 éléments minimaux. La structure de R est la même qu'à l'exemple 6. Remarquons que dans les exemples 6 et 7 :

$$\Gamma_1 = \Gamma_2 = X$$

Théorème 2 :

$$|R| = 1 \text{ ssi et}$$
  $|R| = 1 , ..., n$   $|R| = 1, ..., n$   $|R| = 1, ..., m$ 

De plus, la matrice nulle, c'est-à-dire la matrice  $R(x_{\underline{i}},y_{\underline{j}}) = 0 \quad \forall i=1,\ldots,n \ , \ \forall j=1,\ldots,m \ , \ \text{est l'unique élément de } R.$ 

#### Remarque :

Dinola et Pedrycz [DIN-82a] et Dinola et Sessa [DIN-83b] déterminent les éléments de R ayant la plus petite mesure floue.

#### 4.2. Problème bi-dimensionnel:

Le problème bi-dimensionnel attaché à la composition MAX-MIN, suit la même démarche que le problème uni-dimensionnel  $[\bar{D}IN-84]$  et  $[\bar{S}ES-84]$ .

Considérons l'exemple suivant SES-84].

#### Exemple 8:

Trouver la solution maximale et les éléments minimaux de l'ensemble R des solutions de R  $_{\circ}$  A = B, où " $_{\circ}$ " désigne la composition MAX-MIN avec R pour inconnue et :

$$y_1$$
  $y_2$   $y_3$ 
 $x_1$   $0$   $0$ 
 $x_2$ 
 $x_3$ 
 $x_4$   $x_3$ 
 $x_4$   $x_9$   $x_3$ 

	<sup>z</sup> 1	<sup>2</sup> 2	z <sub>3</sub>
<b>x</b> <sub>1</sub>	.5	.1	.5
$B = x_2$	.6	.5	.6
×3	.6	.5	.9

Déterminons la solution maximale  $\overset{V}{R}={}^{t}A\left( \overset{\frown }{\Omega }\right) B$  :

			$z_1$	<sup>2</sup> 2	<b>z</b> <sub>3</sub>
		У1	- 1	1	1
V R	=	У2	.6	.5	.6
		У3	.6	.1	.9

On vérifie que  $\overset{V}{R}$  o A = B, donc R  $\neq \emptyset$ , et  $\overset{V}{R}$  est bien la solution maximale.

 ${\bf A_i}$  et  ${\bf B_i}$  désignant la i^ème ligne i = 1,...,n des relations respectives A et B, construisons :

$$W_i = {}^{t}A_i \odot B_i$$
  $i = 1, \dots, n$ 

Dans cet exemple :

$$W_{2} = {}^{t}A_{2} \bigcirc B_{2} = \begin{matrix} y_{1} & z_{2} & z_{3} \\ y_{2} & 0 & 0 & 0 \\ y_{3} & 0 & 0 & 0 \end{matrix}$$

#### Proposition 1:

La relation  $R^{\mathbf{X}} = (\bigvee_{i=1}^{n} W_{i}) \bigwedge^{V} R$ , appartient à R avec  $W_{i} = {}^{t}A_{i} \textcircled{3} B_{i} \qquad i = 1, \dots, n$ 

et  $R_{\Lambda}$   $R^{*}$  appartient à R  $\forall R$   $\in$  R :

Soit  $\mathbf{R}_{\mathbf{i}}$  l'ensemble de toutes les solutions de l'équation :

$$R \circ A_i = B_i$$
 avec  $i = 1, ..., n$ 

#### Proposition 2:

Si R  $_i\neq\emptyset$  , alors il existe au moins une solution minimale M  $_i\,\leqslant\,$  R pour tout R  $\in$  R  $_i$  .

#### Proposition 3:

Si R  $\neq \emptyset$ , l'ensemble  $\Lambda_i = \{M_i \in R_i \mid M_i \leqslant R\}$  est non vide pour tout  $i = 1, \dots, n$ .

A partir de  $W_1$ , gardons un élément et un seul non nul dans chaque colonne de  $W_1$  (cf. page 74). On obtient :

$$\mathbf{M}_{1}^{(\mathtt{I})} = \begin{matrix} \mathbf{Y}_{1} & \mathbf{Z}_{2} & \mathbf{Z}_{3} \\ \mathbf{Y}_{1} & \mathbf{0} & \mathbf{.1} & \mathbf{0} \\ \mathbf{0} & \mathbf{0} & \mathbf{0} & \mathbf{0} \\ \mathbf{Y}_{3} & \mathbf{.5} & \mathbf{0} & \mathbf{.5} \end{matrix} \qquad \qquad \begin{aligned} \mathbf{M}_{1}^{(\mathtt{II})} &= \begin{matrix} \mathbf{Y}_{1} & \mathbf{0} & \mathbf{0} & \mathbf{0} \\ \mathbf{Y}_{2} & \mathbf{0} & \mathbf{0} & \mathbf{0} \\ \mathbf{Y}_{3} & \mathbf{.5} & \mathbf{.1} & \mathbf{.5} \end{matrix}$$

L'ensemble  $\mathbf{A}_1$  contient les deux matrices  $\mathbf{M}_1^{(\mathtt{II})}$  et  $\mathbf{M}_1^{(\mathtt{II})}$  :

$$A_1 = \{M_1^{(I)}, M_1^{(II)}\}$$

A partir de  $W_2$ , on obtient :

L'ensemble  $A_2$  contient la seule matrice  $M_2$ :

$$\Lambda_2 = \{M_2\}.$$

A partir de  $W_3$ , on obtient huit matrices :

$M_3^{(I)} = \begin{matrix} y_1 & z_2 & z_3 \\ y_2 & 0 & 0 & 0 \\ y_3 & 0 & 0 & 0 \end{matrix}$	$M_3^{(II)} = \begin{array}{c} y_1 & z_2 & z_3 \\ \hline y_1 & 0 & 0 & 0 \\ y_2 & .6 & .5 & 0 \\ \hline y_3 & 0 & 0 & .9 \end{array}$	$M_{3}^{(III)} = \begin{array}{c} z_{1} & z_{2} & z_{3} \\ y_{1} & 0 & 0 & 1 \\ y_{2} & .6 & 0 & 0 \\ y_{3} & 0 & 3 & 1 \end{array}$
$M_3^{(IV)} = \begin{array}{c cccc} & z_1 & z_2 & z_3 \\ y_1 & 0 & 0 & 0 \\ y_2 & .6 & 0 & 0 \\ y_3 & 0 & \cancel{(3)} & .9 \end{array}$	$M_3^{(V)} = \begin{array}{ccccc} & z_1 & z_2 & z_3 \\ y_1 & 0 & 0 & 0 \\ y_2 & 0 & .5 & \cancel{9} \\ y_3 & .6 & 0 & 0 \end{array}$	$M_3^{(VI)} = \begin{array}{c} y_1 & z_2 & z_3 \\ y_1 & 0 & 0 & 0 \\ y_2 & 0 & .5 & 0 \\ y_3 & .6 & 0 & .6 \end{array}$

L'ensemble  $\Lambda_3$  ne contient que deux matrices car on doit éliminer les matrices M qui contiennent des éléments supérieurs aux éléments correspondants de  $^{\rm V}$  :

$$\Lambda_3 = \{M_3^{(II)}, M_3^{(VI)}\}.$$

#### Proposition 4:

Si R  $\neq \emptyset$ , l'ensemble :

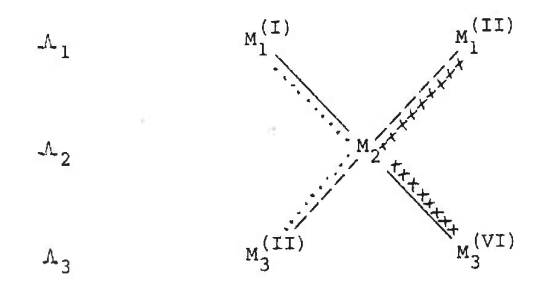
$$A = \{M \in F(X \times Y) \mid M = \bigvee_{i=1}^{n} M_{i}, M_{i} \in A_{i}\}$$

est un sous-ensemble fini de R.

Les éléments minimaux de  $\ensuremath{\Lambda}$  sont les éléments minimaux de R, et réciproquement.

#### Proposition 5:

Si R  $\neq \emptyset$  pour tout R & R, alors il existe au moins un élément M & A tel que M  $\leqslant$  R :



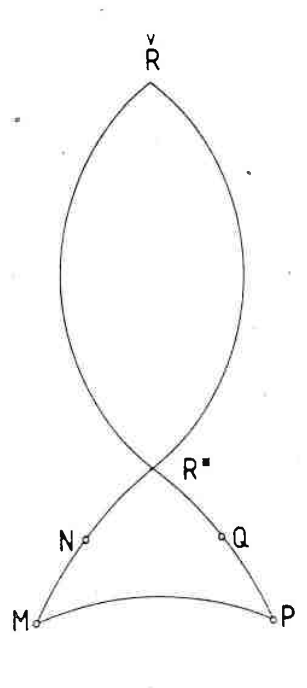
Dans cet exemple,  $\Lambda$  est formé des relations floues suivantes :

$$M = M_{1}^{(I)} V M_{2} V M_{3}^{(II)} = \begin{cases} x_{1} & x_{2} & x_{3} \\ y_{1} & 0 & .1 & 0 \\ y_{2} & .6 & .5 & .6 \\ y_{3} & .5 & 0 & .9 \end{cases}$$

$$N = M_1^{(I)} V M_2 V M_3^{(VI)} = \begin{cases} x_1 & x_2 & x_3 \\ y_1 & 0 & 1 & 0 \\ x_3 & .6 & .5 & .6 \\ y_3 & .6 & 0 & .9 \end{cases}$$

On constate que M et P sont les éléments minimaux de  $\mathbb A,$  donc ceux de R.

#### Résumé :



_	1	1	1
R R	.6	.5	.6
	.6	. 1	. 9

	0	.1	0
R <sup>X</sup>	.6	.5	.6
L	. 6	. 1	.9

	0	.1	0
N =	. 6	ء 5	· 6
	.6	0	.9

$$M = \begin{array}{c|cccc} 0 & .1 & 0 \\ .6 & .5 & .6 \\ .5 & 0 & .9 \end{array}$$

# 5. DETERMINATION D'UN OPERATEUR DE MAXIMALISATION POUR LA RESOLUTION D'EQUATIONS DE RELATION FLOUE DANS LE CAS DE LA COMPOSITION SUP-T, AVEC T norme TRIANGULAIRE QUELCONQUE

#### 5.1. Position du problème :

Soient X et Y deux ensembles finis non vides,

 $F(X) = \{A: X + \left[\overline{0},1\right]\} \text{ et } F(Y) = \{B: Y + \left[\overline{0},1\right]\} \text{ les familles d'ensembles flous sur } X \text{ et } Y \text{ respectivement, et}$   $F(X \times Y) \text{ l'ensemble des relations floues sur } X \times Y. \text{ On considere l'équation de relation floue:}$ 

$$R \circ A = B \tag{12}$$

où "。" désigne une composition sup-t norme triangulaire, A  $\in$  F(X), B  $\in$  F(Y) et R une relation floue appartenant à F(X x Y).

Si T désigne une norme triangulaire quelconque, l'équation (12) peut aussi s'écrire :

$$\sup_{x \in X} \left[ T(R(x,y),A(x)) \right] = B(y) \quad \text{où } y \in Y$$

A et B étant donnés, on considère la relation R comme inconnue de l'équation (12) et on désigne par :

$$R = \{R \mid R \circ A = B \in F(X \times Y)\}$$

l'ensemble des solutions de (12).

En supposant R non vide, on veut déterminer l'élément maximal R de R s'il existe.

Ainsi, dans le cas où T est la norme triangulaire MIN, c'est-à-dire dans le cas où  $\circ$  désigne la composition MAX-MIN, on sait que l'opérateur  $\alpha$  de Sanchez permet de définir la solution de (12) par :

 $\alpha$  est l'opérateur de maximalisation associé à la composition "。" = MAX-MIN.

Pedrycz donne les propriétés de l'opérateur de maximalisation [PED-83c] associé à la composition sup t-norme triangulaire, et détermine l'opérateur de maximalisation [PED-83a] dans le cas de la norme de Yager, c'est-à-dire :

$$T(a,b) = 1 - min [1, ((1-a)P + (1-b)P)^{1}/P] , p \ge 1$$

On se propose, après avoir rappelé les conditions suffisantes que doit vérifier l'opérateur de maximalisation, de généraliser ce résultat et de définir un opérateur de maximalisation noté  $\tau$ , associé à la composition sup-T où T est une norme triangulaire quelconque.

5.2. <u>Conditions suffisantes permettant de définir un opérateur de maximalisation</u>:

Soit 
$$\tau$$
 :  $[0,1]$  x  $[0,1]$   $\rightarrow$   $[0,1]$  un opérateur.

On veut déterminer les conditions suffisantes pour que

$$^{t}$$
A  $\bigcirc$  B =  $^{v}$ 

c'est-à-dire pour que :

$$\forall R \in R, \ \forall (x,y) \in X \times Y$$
  $R(x,y) \leq R(x,y) = {}^{t}A(x) \tau B(y)$ 

$$({}^{t}A)(\tau)(R \circ A)(x,y) = ({}^{t}A)(x) \tau (R \circ A)(y)$$

$$= {^{t}}A(x) \tau \sup [T(R(z,y),A(z))]$$
zex

donc, si l'opérateur τ vérifie la condition :

$$a \tau b \geqslant a \tau c si b \geqslant c$$
 (13)

alors, puisque pour tout x & X :

$$\sup \left[ T(R(z,y),A(z)) \right] \geqslant T\left[ R(x,y),A(x) \right]$$
zex

$$t_{A(x)} \tau \sup_{z \in X} [T(R(z,y),A(z))] > t_{A(x)} \tau T(R(x,y),A(x))$$

De plus, pour que :

$$t_{A(x)} \tau T(R(x,y),A(x)) > R(x,y),$$

il suffit que l'opérateur  $\tau$  vérifie la condition :

$$a \tau T(a,b) > b$$
 (14)

 $\operatorname{car}^{t} A(x) = A(x).$ 

On obtient ainsi :

$$(^{t}A)$$
  $\bigcirc$   $(R \circ A)(x,y) = (^{t}A\bigcirc B)(x,y) > R(x,y)$ 

donc, pour que <sup>t</sup>A  $\bigcirc$  B définisse une relation  $\overset{V}{R}$  telle que, quel que soit R  $\in$  R, R  $\leqslant$   $\overset{V}{R}$ , il suffit que  $\tau$  vérifie les conditions (13) et (14).

Il reste à préciser à quelle condition  $\overset{\text{V}}{\text{R}}$  appartient à R.

Soit R € R, R étant supposé non vide, puisque :

$$\forall (x,y) \in X \times Y$$
  $R(x,y) \leqslant R(x,y)$ 

$$T(R(x,y),A(x)) \leq T(R(x,y),A(x))$$

donc,  $\sup \left[ \overline{T}(R(x,y),A(x)) \right] \le \sup \left[ \overline{T}(\overline{R}(x,y),A(x)) \right]$ xeX

xeX

c'est-à-dire :

$$B(y) \leq \sup \left[ T(R(x,y),A(x)) \right]$$
 $x \in X$ 

Pour que R appartienne à R, il suffit que :

$$T(a + b,a) \leq b \tag{15}$$

car alors :

$$T(R(x,y),A(x)) = T[A(x), TB(y),A(x)] \leq B(y)$$

puisque  $^{t}A(x) = A(x)$ , et donc :

$$\sup \left[ \mathbf{T} \left( \mathbf{R}(\mathbf{x}, \mathbf{y}), \mathbf{A}(\mathbf{x}) \right) \right] = \left( \mathbf{R} \cdot \mathbf{A} \right) (\mathbf{y}) \leq \mathbf{B}(\mathbf{y})$$

$$\mathbf{x} \in \mathbf{X}$$

Finalement, B(y)  $\leqslant$  (R  $_{\circ}$  A)(y)  $\leqslant$  B(y), donc R G R et l'on a ainsi établi la proposition suivante :

#### Proposition 1:

Si  $\tau$  est un opérateur de [0,1] x [0,1]  $\rightarrow$  [0,1] et si  $R \neq \emptyset$ , alors pour que <sup>t</sup>A  $\widehat{\mathbb{T}}$  B définisse l'élément maximal  $\widehat{\mathbb{T}}$  de R, il suffit que  $\tau$  vérifie les trois conditions suivantes :

$$a \tau b \ge a \tau c si b \ge c$$
 (13)

$$a \tau T(a,b) \geqslant b$$
 (14)

$$T(a \tau b, a) \leq b \tag{15}$$

Un opérateur  $\tau$  vérifiant les conditions (13), (14) et (15) est appelé opérateur de maximalisation associé à T pour l'équation (12).

5.3. Détermination de l'opérateur de maximalisation associé à une norme triangulaire:

#### 5.3.1. Normes continues :

#### Proposition 2:

Si T est une norme triangulaire vérifiant la condition supplémentaire suivante :

 $\forall a \in [0,1]$ , la fonction  $x \mapsto T(a,x)$  est continue sur [0,1],

alors l'opérateur τ défini par :

$$a \tau b = \{\sup x | T(a,x) \leq b\}$$

est un opérateur de maximalisation pour l'équation (12).

#### Remarque :

 $\boldsymbol{\tau}$  est un opérateur d'implication flou du type I de Weber.

Montrons que a  $\tau$  b = sup{x|T(a,x)  $\leq$  b} vérifie (13), (14) et (15) :

a  $\tau$  b vérifie (13) : trivial a  $\tau$  T(a,b) = sup{x|T(a,x)  $\leq$  T(a,b)}

donc x = b et (14) est vérifiée

 $T(a \tau b,a) = T[\sup\{x|T(a,x) \leq b\},a]$ 

si a  $\leqslant$  b, alors x=1 et T(a,1) = a  $\leqslant$  b ; (15) est vérifiée si a > b, alors x=b et T[sup{x|T(a,x)  $\leqslant$  b},a]  $\leqslant$  T(b,a) $\leqslant$ b donc (15) est vérifiée.

#### 5.3.2. Normes archimédiennes :

a) Condition pour que (15) soit vérifiée :

On a:  $T(a \tau b, a) \le b$ 

donc, si a  $\leqslant$  b, l'inégalité (15) est vérifiée quel que soit l'opérateur  $\tau.$ 

On peut donc supposer a > b. L'inégalité (15) s'écrit aussi :

$$f^{(-1)}|\bar{f}(a \tau b) + f(a)| \leq b \tag{15}$$

Si  $f^{(-1)}[f(a \tau b) + f(a)] = 0$  (dans le cas où T n'est pas stricte et où  $f(a \tau b) + f(a) \ge 1$ ), alors (15') est vérifiée.

Sinon, on a  $f^{(-1)} = f^{-1}$  et puisque  $f^{-1}$  est décroissante, (15') peut aussi s'écrire :

$$f(a \tau b) + f(a) \ge f(b)$$

c'est-à-dire :

$$f(a \tau b) > f(b) - f(a)$$

et puisque :

$$f(b) - f(a) \ge 0$$
  
a  $f(b) < f^{-1}(f(b) - f(a))$ 

En conclusion, pour que :

$$T(a \tau b, a) \leq b \tag{15}$$

il suffit que :

$$a > b \Rightarrow a \tau b \leqslant f^{-1}[f(b) - f(a)]$$
 (16)

b) Condition pour que :

$$T(a \tau b, a) \leq b \tag{15}$$

$$a \tau T(a,b) \ge b$$
 (14)

soient vérifiées simultanément.

On suppose la condition (16) vérifiée, alors (15) l'est également.

Pour a = 1, la relation (16) donne, pour b < 1 :

$$1 \tau b \leq f^{-1}(f(b)) = b,$$

tandis que (14) donne :

$$1 \tau T(1,b) = 1 \tau b \ge b$$

Les relations (14) et (16) ne sont donc compatibles que si l'on a, pour b < 1, l  $\tau$  b = f<sup>-1</sup>(f(b) - f(l)).

Plus généralement, posons pour a > b :

$$a \tau b = f^{-1}(f(b) - f(a))$$

et vérifions qu'alors la condition (14) est satisfaite :

$$T(a,b) \leq b$$

et a 
$$\tau$$
 T(a,b) =  $f^{-1}[f(T(a,b) - f(a)]]$   
=  $f^{-1}[f(f^{(-1)}(f(a) + f(b))) - f(a)]$ 

Si T n'est pas stricte et si f(a) + f(b) > 1, alors :

$$f^{(-1)}(f(a) + f(b)) = 0$$

et a 
$$\tau T(a,b) = f^{-1}[\bar{f}(0) - f(a)] = f^{-1}[\bar{1} - f(a)] \ge b$$

car 
$$f(b) > 1 - f(a) \Rightarrow b < f^{-1}[1 - f(a)]$$

donc (14) est vérifiée.

Si f(a) + f(b)  $\leqslant$  1, ou si T est stricte, f<sup>(-1)</sup> = f<sup>-1</sup> et :

$$a \tau T(a,b) = f^{-1}(f(b)) = b$$

donc (14) est vérifiée.

En conclusion, si on pose :

$$a \tau b = f^{-1}(f(b) - f(a)) \text{ pour } a > b$$
 (17)

les relations (14) et (15) sont vérifiées.

c) Recherche de  $\tau$  :  $[0,1] \times [0,1] \rightarrow [0,1]$  pour que :

$$T(a \tau b, a) \leq b \tag{15}$$

$$a \tau T(a,b) \geqslant b$$
 (14)

$$b > c \Rightarrow a \tau b \geqslant a \tau c$$
 (13)

soient vérifiées simultanément.

On suppose la relation (17) vérifiée, alors (15) et (14) sont vérifiées et, d'après (17), a  $\tau$  a =  $f^{-1}(0)$  = 1.

Pour que (13) soit vérifiée, il faut en particulier que :

On est donc amené à compléter la définition en posant :

$$a \tau b = 1 si a \leq b$$

Il est immédiat de vérifier qu'alors, la condition (13) est satisfaite car :

$$si c \leq b \leq a$$
,  $f(c) - f(a) > f(b) - f(a)$ 

et 
$$f^{-1}(f(c) - f(a)) \le f^{-1}(f(b) - f(a))$$

c'est-à-dire a τ c ≤ a τ b

 $sic \leq a \leq b$ ,  $a\tauc \leq l = a\tau b$ 

si  $a \leqslant c \leqslant b$ ,  $a \tau c = 1 = a \tau b$ .

#### Remarque 1 :

On a posé, pour a = b, a  $\tau$  b =  $f^{-1}(f(b) - f(a)) = f^{-1}(0) = 1$ . En particulier, si T est archimédienne non stricte, 0  $\tau$  0 =  $f^{-1}(f(0) - f(0)) = 1$ ; mais si T est une t-norme archimédienne stricte, f(0) n'est pas défini.

On convient de poser encore dans ce cas, 0  $\tau$  0 = 1, et par conséquent :

En tenant compte des résultats des paragraphes 2 et 3, on a donc établi le résultat suivant.

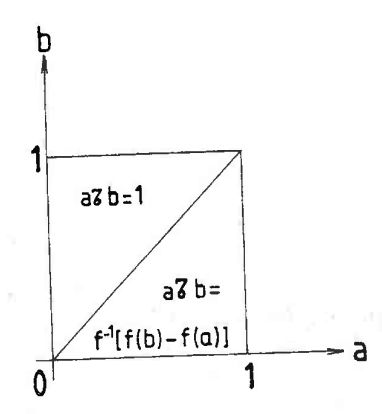
#### Proposition 3:

Soit T une norme triangulaire archimédienne de fonction génératrice f.

L'opérateur  $\tau$  :  $[0,1] \times [0,1] \rightarrow [0,1]$  défini par :

$$\mathbf{a} \ \tau \ \mathbf{b} = \begin{cases} \mathbf{f}^{-1}(\mathbf{f}(\mathbf{b}) - \mathbf{f}(\mathbf{a})) & \text{si } \mathbf{a} > \mathbf{b} \\ 1 & \text{si } \mathbf{a} \leqslant \mathbf{b} \end{cases}$$

est un opérateur de maximalisation associé à T (au sens donné par la définition du paragraphe 1).



Exemple 9:

Soit 
$$A = \begin{bmatrix} .2 & .4 & .6 \end{bmatrix}$$
 et  $B = \begin{bmatrix} .4 & .6 \end{bmatrix}$ 

Considérons la norme produit T(x,y) = xy; alors f(x) = -2nx et  $f^{-1}(x) = e^{-x}$ :

$$a \tau b = \begin{vmatrix} 1 & \text{si } a \leqslant b \\ \frac{b}{a} & \text{si } a > b \end{vmatrix}$$

R n'est pas vide car R = 
$$\begin{bmatrix} 0 & 0 \\ 1 & 0 \\ 0 & 1 \end{bmatrix} \in R$$

et: 
$${}^{t}A \cap B = \begin{bmatrix} .2 \\ .4 \\ .6 \end{bmatrix} \cap \begin{bmatrix} .4 & .6 \end{bmatrix} = \begin{bmatrix} 1 & 1 \\ 1 & 1 \\ 2/3 & 1 \end{bmatrix}$$

On vérifie que R appartient à R.

#### Remarque 2 :

En procédant comme pour les générateurs additifs numériques, on peut envisager des opérateurs numériques de maximalisation.

#### 5.4. Opérateurs de maximalisation associés à certaines t-normes non archimédiennes :

Si une norme triangulaire T est continue mais non archimédienne, ou si elle est discontinue, il est possible, dans certains cas, en utilisant les relations (13), (14) et (15), de construire un opérateur de maximalisation associé à cette t-norme.

Ainsi, T(a,b) = min(a,b) est une t-norme continue, mais non archimédienne, n'admettant pas de générateur additif mais qui admet, ainsi qu'il a été vu au § 5.1 de ce chapitre, l'opérateur de Sanchez comme opérateur de maximalisation.

On a obtenu de cette manière les résultats qui sont résumés dans le tableau ci-après.

#### Remarque 3:

Soit R une solution de R  $_{\circ}$  A = B dans le cas où "  $_{\circ}$  " =  $\sup -T_{4}$  .

Alors, l'opérateur  $v : [0,1] \times [0,1] \rightarrow [0,1]$  défini par :

$$a \lor b = \begin{vmatrix} 1 & \text{si } a \leqslant b \\ b & \text{si } a = 1 \\ \alpha & \text{où } \alpha \in [0,1] \text{ si } a > b \end{vmatrix}$$

permet d'obtenir une solution majorant R : pour cela, si on pose  $R_{\alpha} = {}^t A \bigcirc B$  et si  $R_{\alpha}(a_i,b_j) = \alpha$ , il suffit de choisir  $\alpha > R(a_i,b_i)$ .

Mais l'ensemble R des solutions n'admet pas d'élément maximal.

#### Exemple 10:

Si A = 
$$\begin{bmatrix} .2 & .5 & .8 \end{bmatrix}$$
 et B =  $\begin{bmatrix} .8 & 0 \end{bmatrix}$ ,

alors  $R = \begin{bmatrix} 1 & 0 \\ .3 & .8 \end{bmatrix}$  est solution de R A = B, avec "a" =  $\sup_{a \in A} T_{4}$ .

Quel que soit  $\alpha \in [0,1]$ ,  $R_{\alpha} = \begin{bmatrix} 1 & \alpha \\ 1 & \alpha \end{bmatrix}$  est également solution.

Il suffit de choisir  $\alpha \gg .8$  pour que  $R_{\alpha} \gg R$ .

Mais R n'existe pas car  $R_1 = \begin{bmatrix} 1 & 1 \\ 1 & 1 \end{bmatrix}$  n'appartient pas à R.

# TABLEAU DES RESULTATS

				,			-	
$a \tau b$ (pour $a > b$ )	(opérateur de Sanchez)	۵I ه	1+b-a	N'existe pas (cf. remarque 2)	b si 1-a ≤ b < a 1-a si b < min(a,1-a)	$1 - \left[ (1-b)^{p} - (1-a)^{p} \right]^{\frac{1}{p}}$	$1 + \frac{b-a}{a-b(1-a)(1-y)}$	$1 + \left[\frac{1}{\left(\frac{1}{D} - 1\right)^{\lambda} - \left(\frac{1}{a} - 1\right)^{\lambda}}\right] \frac{1}{\lambda}$
f <sup>-1</sup> (x)	1 1	e 'x	]-x	ı	ı	1-x <sup>1</sup>	e <sup>y</sup> *+y-1	$\frac{1}{1+x^{\frac{1}{\lambda}}}$
GENERATEUR ADDITIF f		- &n x	1-x	ı	ı	(1-x) <sup>p</sup>	$\frac{1}{\gamma}$ kn $\frac{\gamma + (1-\gamma)x}{x}$	$\left(\frac{1}{x}-1\right)^{\lambda}$
PROPRIETES DE T	Continue	Archiméd. stricte	Archiméd. non stricte	Discontinue	Discontinue	Archiméd. non stricte	Archiméd. stricte	Archiméd. stricte
NORMES TRIANGULAIRES T	$T_1(a,b) = \min(a,b)$	$T_2(a,b) = ab$	T <sub>3</sub> (a,b) = max(0,a+b-1)	$T_4(a,b) = \begin{vmatrix} a & si & b=1 \\ b & si & a=1 \\ 0 & sinon \end{vmatrix}$	$T_5(a,b) = \begin{vmatrix} 0 & \sin a+b-1 \leqslant 0 \\ \min(a,b) & \sin a+b-1 > 0 \end{vmatrix}$	$\begin{split} &T_{6}\left(a,b\right)=Y_{p}\left(a,b\right)=1\text{-min}\left[1,\left(\left(1\text{-a}\right)^{p}+\left(1\text{-b}\right)^{p}\right)^{\frac{1}{p}}\right]\\ &\left(\text{Yager}\right) &p\geqslant0 \text{ , }Y_{o}=T_{4} & \left[\overline{\text{YaG-80}}\right] \end{split}$	$T_{\gamma}(a,b) = H_{\gamma}(a,b) = \frac{ab}{\gamma + (1-\gamma)(a+b-ab)}$ (Hamacher) $\gamma \geqslant 0$ , $H_{1} = T_{2}$ , $H_{\infty} = T_{4}$ [Finm-75]	$T_{8}(a,b) = D_{\lambda}(a,b) = \frac{1}{1 + \left[\left(\frac{1}{a} - 1\right)^{\lambda} + \left(\frac{1}{b} - 1\right)^{\lambda}\right] \frac{1}{\lambda}}$ (Bombi) $\lambda > 0$ , $D_{\lambda} = H$

$\vec{r}_{9}(a,b) = S_{\lambda}(a,b) = max(0,(\lambda+1)(a+b-1) - \lambda ab)$ (Sugeno) $\lambda > -1$ [Suc-74]	Archiméd. non stricte	$\frac{\ln(1+\lambda (1-x))}{\ln(1+\lambda)}$	$\frac{1}{\lambda} \left[ 1 + \lambda - (4 + \lambda)^{X} \right]$	$1 + \frac{b-a}{1+\lambda(1-a)}$
$T_{10}(a,b) = W_A(a,b) = max(0, \frac{a+b-1+\lambda ab}{1+\lambda})$ (Weber) $\lambda > -1$ $ \overline{M}EB-83 $	Archiméd. non stricte	$1 - \frac{\ln(1+\lambda x)}{\ln(1+\lambda)}$	$\frac{1}{\lambda} \left[ \left( 1 + \lambda \right)^{1-x} - 1 \right] = 1 + \frac{\left( 1 + \lambda \right) \left( b - a \right)}{1 + \lambda a}$	1 + (1+\) (b-a) 1+\alpha
$\begin{split} T_{11}(a,b) = & \text{Sk}_{p}(a,b) = \left[ \max(0, \text{a}^{-}\text{P}_{+}\text{D}^{-}\text{P}_{-1} \right]^{-} \frac{1}{p} \\ & \text{(Schweizer et Sklar) peR} \\ & \text{Sk}_{\text{e}} = & \text{T}_{2}, \text{Sk}_{-1} = & \text{T}_{3}, \text{Sk}_{+\infty} = & \text{T}_{1}, \text{Sk}_{-\infty} = & \text{T}_{4} \\ & \left[ \widehat{\text{ScH}} = & \text{Sk}_{-1} = & \text{T}_{3}, \text{Sk}_{-1} = & \text{Sk}_{-1} = &$	p > 0 Archiméd. stricte p < 0 Archiméd.	p > 0 x p = 1 p < 0 p < 0	$\begin{array}{ccc} p &> 0 \\ (1+x)^{-1}/p \\ p &< 0 \\ (1-x)^{-1}/p \end{array}$	(1+b <sup>-</sup> p-a <sup>-</sup> P) -1/P
$T_{12}(a,b) = F_{S}(a,b) = \log_{S} \left[ \frac{1}{1} + \frac{(s^{a}-1)(s^{b}-1)}{s-1} \right]$ (Frank) $s > 0$ , $s \neq 1$ , $F_{\infty} = T_{3}$ [Fra-79]	Archiméd. stricte	$\log_{\mathrm{S}} \frac{\mathrm{s-1}}{\mathrm{x}^{-1}}$	$\log_{\rm S}(1+\frac{\rm S-1}{\rm S})$	log <sub>s</sub> (1+ (s-1) (s <sup>b</sup> -1) )
$\begin{aligned} \mathbf{T}_{13}(\mathbf{a},\mathbf{b}) &= \mathbf{D}_{\alpha}(\mathbf{a},\mathbf{b}) &= \frac{\mathbf{ab}}{\max(\mathbf{a},\mathbf{b},\alpha)} \\ &(\text{Dubois et Prade}) \ \alpha \in \left[\tilde{0},1\right], \ \mathbf{D}_{\mathbf{o}} = \mathbf{T}_{1}, \ \mathbf{D}_{1} = \mathbf{T}_{2} \end{aligned}$	Continue	ı	U	<u>b</u> πaκ(a,α)

# 6. DETERMINATION DES SOLUTIONS MINIMALES POUR LA RESOLUTION D'EQUATIONSDE RELATION FLOUE DANS LE CAS DE LA COMPOSITION SUP-T AVEC T NORME TRIANGULAIRE QUELCONQUE

Soit T une norme continue (alors il existe un opérateur de maximalisation  $\tau$ ). Supposons que T vérifie en plus la condition suivante :

$$b_1 < b_2 \leq a$$
 alors  $T(a,b_1) < T(a,b_2)$ 

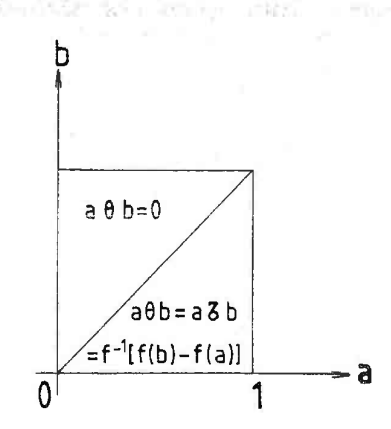
Alors, l'opérateur  $\theta$  :  $[0,1] \times [0,1] \rightarrow [0,1]$  défini par :

$$a \theta b = \begin{cases} a \tau b si a > b \\ 0 si a < b \end{cases}$$

est tel que  $R^{x} = {}^{t}A \oplus B \in R$ .

Remarque :

Une T-norme archimédienne vérifie les conditions précédentes.



A partir de  $\mathbb{R}^{\mathbf{X}}$ , en procédant comme au  $\S$  4.1, on peut déterminer les éléments minimaux pour la composition sup-T norme.

#### Exemple 11:

Considérons la norme produit T(a,b) = ab.

L'opérateur concordant  $\tau$  est l'opérateur de Goguen  $\mathbf{x_4}$  :

$$a \tau b = \begin{vmatrix} 1 & \sin a \leqslant b \\ \frac{b}{a} & \sin a > b \end{vmatrix}$$

L'opérateur  $\theta$  est défini par :

$$a \theta b = \begin{cases} 0 & \text{si } a < b \\ \frac{b}{a} & \text{si } a \ge b \end{cases}$$

Reprenons les résultats de l'exemple 8 :

$$A = \begin{bmatrix} .2 & .4 & .6 \end{bmatrix}$$
  $B = \begin{bmatrix} .4 & .6 \end{bmatrix}$  et  $X = \begin{bmatrix} 1 & 1 \\ 1 & 1 \\ 2/3 & 1 \end{bmatrix}$ 

La solution  $R^{X}$  correspondant à la composition "." = MAX PRODUIT est  $R^{X}$  =  ${}^{t}A$   $(\theta)$  B :

A partir de R\*, on obtient les 2 éléments minimaux :

$$R_{m_{1}} = \begin{bmatrix} 0 & 0 \\ 1 & 0 \\ 0 & 1 \end{bmatrix}$$

#### Remarque :

La t-norme T(a,b) =  $\min(a,b)$  est continue et vérifie  $b_1 < b_2 \leqslant a$  , alors  $\min(a,b_1) \leqslant \min(a,b_2)$ .

Nous avons ainsi obtenu au § 4.1.2. les éléments minimaux.

De même, on peut traiter le problème bidimensionnel avec la composition sup-T norme, comme au § 4 de ce chapitre.

7. DETERMINATION D'UN OPERATEUR DE MINIMALISATION POUR LA RESOLUTION D'EQUATIONS DE RELATION FLOUE DANS LE CAS DE LA COMPOSITION inf-S où S EST UNE CONORME TRIANGULAIRE QUELCONQUE

#### 7.1. Position du problème :

On considère l'équation de relation floue duale de l'équation floue (12) :

$$R \square A = B$$
 (12)

où "  $\square$  " désigne une composition inf-conorme triangulaire, A et B sont donnés et R est une relation floue inconnue.

On désignera par :

$$R' = \{R | R \cap A = B, R \in F(X \times Y), A \in F(X), B \in F(Y)\}$$

l'ensemble des solutions de (12').

En supposant R' non vide, on veut déterminer, s'il existe, l'élément minimal de R', c'est-à-dire déterminer une solution  $\hat{R}$  de (12') telle que :

$$\forall (x,y) \in X \times Y$$
 ,  $\forall R \in R'$  ,  $\hat{R}(x,y) \leq R(x,y)$ 

Si S désigne une conorme triangulaire quelconque, l'équation (12') peut aussi s'écrire :

$$\inf[S(R(x,y),A(x))] = B(y)$$
xeX

Ainsi, dans le cas où S est la conorme triangulaire MAX, c'est-à-dire dans le cas où D désigne la composition MIN-MAX, on sait que l'opérateur  $\beta$ , dual de l'opérateur de Sanchez  $\alpha$ , défini par :

$$a \beta b = \begin{cases} b \text{ si } a < b \\ 0 \text{ si } a > b \end{cases}$$

permet de définir la solution R de (12') par l'égalité :

$$\hat{R} = {}^{t}A \beta B$$

où <sup>t</sup>A désigne la transposée de A et <sup>t</sup>A (B) B est défini par :

$$(^{t}A(\beta)B)(x,y) = (^{t}A)(x)\beta B(y)$$

#### Exemple 12:

Si A = 
$$\begin{bmatrix} .4 & .2 & .6 \end{bmatrix}$$
 et B =  $\begin{bmatrix} .5 & .2 \end{bmatrix}$ 

alors R' 
$$\neq \emptyset$$
 car R =  $\begin{bmatrix} .5 & 1 \\ .7 & 0 \end{bmatrix}$  est une solution de  $\begin{bmatrix} .8 & .4 \end{bmatrix}$ 

 $R \supset A = B$ , où  $\square = MIN-MAX$ ,

On vérifie que  $\hat{R}$  appartient à R' et est l'élément minimal de R'.

#### Définition :

On appellera opérateur de minimalisation pour l'équation (12') et on notera  $\sigma_{\rm S}$ , ou plus simplement  $\sigma$ , si aucune confusion n'est possible, tout opérateur  $[0,1] \times [0,1] \to [0,1]$  tel que <sup>t</sup>A  $\bigcirc$  B =  $\widehat{\rm R}$ , où  $\widehat{\rm R}$  est la solution minimale de (12') (si elle existe).

## 7.2. Conditions suffisantes permettant de définir un opérateur de minimalisation :

#### Proposition 1':

Pour qu'un opérateur  $\sigma$  de  $[0,1] \times [0,1] + [0,1]$  soit un opérateur de minimalisation pour l'équation (12'), l'ensemble R' étant supposé non vide, il suffit que  $\sigma$  vérifie les trois conditions suivantes :

$$b \leqslant c \Rightarrow a \sigma b \leqslant a \sigma c$$
 (13')

$$a \sigma S(a,b) \leqslant b$$
 (14')

$$S(a \sigma b, a) > b$$
 (15')

Démonstration : Posons R<sub>m</sub> = <sup>t</sup>A @ B.

a) Puisque R'  $\neq \emptyset$  , B = R  $\square$  A et :

$$R_{m}(x,y) = (^{t}A) \odot (Rn A) (x,y) = (^{t}A) (x) \sigma (Rn A) (y)$$

$$= (^{t}A) (x) \sigma \inf [S(R(z,y),A(z))]$$

et puisque  $\inf[S(R(z,y),A(z))] \leq S(R(x,y),A(x))$ zex

quel que soit  $x \in [0,1]$  d'après (13'), on a :

$$R_{m}(x,y) \leq (^{t}A)(x) \sigma S(R(x,y),A(x))$$

b) D'après (14'), puisque ( ${}^{t}A$ )(x) = A(x) :  $R_{m}(x,y) \leqslant ({}^{t}A)(x) \text{ } \sigma \text{ } S(R(x,y),A(x))$  et donc  $\Psi(x,y) \in X \times Y$ ,  $\Psi R \in R'$ ,  $R_{m}(x,y) \leqslant R(x,y)$ .

c) Par suite, puisque S(a,b) est une fonction croissante de a:  $S(R_{m}(x,y),A(x)) = S(({}^{t}A)(x) \sigma B(y),A(x)) \leqslant S(R(x,y),A(x))$  et d'après (15'), puisque  $({}^{t}A)(x) = A(x)$ :  $B(y) \leqslant S(({}^{t}A)(x) \sigma B(y),A(x)) \leqslant S(R(x,y),A(x)).$  Il en résulte :  $B(y) \leqslant \inf_{x \in X} S(R_{m}(x,y),A(x)) \leqslant \inf_{x \in X} S(R(x,y),A(x)) = B(y)$  xeX  $x \in X$  donc :  $\inf_{x \in X} S(R_{m}(x,y),A(x)) = (R_{m} n A)(y) = B(y)$  xeX  $c'est-a-dire : R_{m} \in R'.$ 

Ainsi,  ${\bf R}_{\hat m}$  est bien la solution minimale de (12') et  ${\bf R}_{\hat m} \; = \; \hat{{\bf R}} \; \; . \label{eq:Rm}$ 

#### Remarque 1:

Soit S la conorme triangulaire duale de la norme triangulaire T définie par :

$$S(a,b) = 1 - T(1-a, 1-b)$$

et soit  $\tau$  l'opérateur de maximalisation associé à T pour l'équation (12). Alors, l'opérateur  $\sigma$  , défini par :

$$a \sigma b = 1 - (1-a) \tau (1-b)$$

est un opérateur de minimalisation associé à S pour l'équation (12'), duale de l'équation (12).

En effet :

- Si b < c, alors d'après (13) :

$$(1-a) \tau (1-b) > (1-a) \tau (1-c)$$

et

$$1 - (1-a) \tau (1-b) \le 1 - (1-a) \tau (1-c)$$
,

donc (13') est vérifiée.

- D'après (14), 1-a  $\tau T(1-a,1-b) > 1-b$ ,

donc a 
$$\sigma$$
 S(a,b) = 1 - (1-a)  $\tau$  (1-S(a,b))  
= 1 - (1-a)  $\tau$  T(1-a,1-b)  $\leq$  b,

donc (14') est vérifiée.

- D'après (15),  $T((1-a) \tau (1-b), (1-a)) \le 1-b$ ,

donc 
$$S(a \sigma b,a) = 1 - T(1-a \sigma b,1-a)$$
  
= 1 -  $T((1-a) \tau (1-b),1-a)) > b$ ,

donc (15') est vérifiée.

7.3. Opérateur de minimalisation associé à une conorme triangulaire continue par rapport à l'un de ses arguments:

#### Proposition 2':

Si S est une conorme triangulaire vérifiant la condition supplémentaire suivante :  $\forall a \in [0,1]$ , la fonction  $x \mapsto S(x,a)$  est continue sur [0,1]; alors, l'opérateur  $\beta_S$  de  $[0,1] \times [0,1] \to [0,1]$  défini par :

a 
$$\beta_s$$
 b = inf{x|S(x,a) > b}

est un opérateur de minimalisation pour l'équation (12').

En effet :

- (13') est vérifiée car :

$$b \leqslant c \Rightarrow \{x \mid S(x,a) \geqslant b\} \supseteq \{x \mid S(x,a) \geqslant c\}$$

donc :

 $\inf\{x \mid S(x,a) \geqslant b\} \leqslant \inf\{x \mid S(x,a) \geqslant c\}$ 

c'est-à-dire :

- (14') est vérifiée car :

$$a \beta_S S(a,b) = \inf\{x | S(x,a) \geqslant S(a,b)\} \leqslant b.$$

- (15') est vérifiée car, puisque la fonction  $x\mapsto S(x,a)$  est continue sur [0,1] :

$$a \beta_c b \in \{x \mid S(x,a) \geqslant b\}$$

c'est-à-dire  $S(a \beta_s b,a) > b$ 

Remarque 2 :

Si dans la proposition (13') on supprime l'hypothèse de continuité sur [0,1] de la fonction  $x\mapsto S(x,a)$ , alors l'élément minimal de R' peut ne pas exister même si R'  $\neq \emptyset$ .

Ainsi, par exemple, dans le cas où  $\square = \inf S_4$  (cf. tableau des résultats), la fonction  $x \mapsto S_4(x,a)$  n'est pas continue sur [0,1] et, si R est une solution de R  $\square$  A = B, l'opérateur  $\mu$  de [0,1] x [0,1]  $\rightarrow$  [0,1] défini par :

permet d'obtenir une solution de (12') minorant R.

Pour cela, si on pose  $R_m = {}^t A \bigoplus B$  et si  $R_m(x_i,y_j) = m$ , il suffit de choisir  $m \leqslant R(x_i,y_j)$ . Mais l'ensemble R' des solutions n'admet pas d'élément minimal.

Exemple 13:

Si A = 
$$\begin{bmatrix} .2 & .4 & .6 \end{bmatrix}$$
 et B =  $\begin{bmatrix} 1 & .2 \end{bmatrix}$ ,

alors 
$$R = \begin{bmatrix} .3 & 0 \\ .1 & .8 \\ 1 & .5 \end{bmatrix}$$
 est solution de  $R \square A = B$ ,

et quel que soit m 6 ]0,1] :

et

$$^{t}A(\mu)B = R_{m} = \begin{bmatrix} m & 0 \\ m & 0 \\ m & 0 \end{bmatrix}$$
 est solution de (12').

Il suffit de choisir m e ]0,.1] pour obtenir une solution  $R_{m} \, \leqslant \, R.$ 

Mais  $\hat{R}$  n'existe pas, car  $R_0 = \begin{bmatrix} 0 & 0 \\ 0 & 0 \end{bmatrix}$  n'appartient pas à R'.

# 7.4- Opérateur de minimalisation associé à une conorme triangulaire archimédienne :

D'après la remarque 1, l'opérateur de minimalisation  $\sigma$  associé à S est donné par :

$$a \sigma b = 1 - (1-a) \tau (1-b)$$

donc, d'après la proposition 3, si 1-a > 1-b, c'est-à-dire si a < b :

$$a \circ b = 1 - f^{-1}(f(1-b)-f(1-a))$$
  
=  $g^{-1}(g(b)-g(a))$   
 $a \circ b = 0 \text{ si } a \ge b.$ 

#### Proposition 3':

Si la conorme triangulaire S est archimédienne, de fonction génératrice g, alors l'opérateur  $\sigma$  défini par :

$$a \circ b = \begin{cases} g^{-1}(g(b)-g(a)) & \text{si } a < b \\ 0 & \text{si } a > b \end{cases}$$

est un opérateur de minimalisation associé à S pour l'équation (12).

#### Exemple 14:

Soit 
$$S_2(a,b) = a + b - ab$$
; alors:  

$$g(x) = -\ln(1-x) , g^{-1}(x) = 1 - e^{-x}$$
et  $a \circ b = \begin{vmatrix} b-a \\ 1-a \end{vmatrix}$  si  $a < b$   
0 si  $a > b$ 

Soit 
$$A = \begin{bmatrix} .2 & .4 & .6 \end{bmatrix}$$
 et  $B = \begin{bmatrix} .6 & .2 \end{bmatrix}$ ;

alors R' 
$$\neq \emptyset$$
 car R =  $\begin{bmatrix} .5 & 0 \\ .7 & .4 \\ 1 & .6 \end{bmatrix}$   $\in$  R'

et:  

$$t_{A} \odot B = \begin{array}{c|c} .5 & 0 \\ \hline 1/3 & 0 \\ \hline 0 & 0 \end{array} = \hat{R} \in R'$$

#### TABLEAU DES RESULTATS

CONORMES TRIANGULAIRES S PROPRIETES GENERATEUR $\frac{1}{5}(a,b) = \max(a,b)$ Continue $\frac{1}{5}(a,b) = \min[1,(a+b)]$ Archimédienne $\frac{1}{7}(a,b) = \min[1,(a+b)]$ Archi	_					
Continue $-2n(1-x)$ $1-e^{-x}$ stricte $-2n(1-x)$ $1-e^{-x}$ $x$ $x$ Discontinue $-2n(1-x)$ $1-e^{-x}$ $x$ Discontinue $-2n(1-x)$ $1-e^{-x}$ The stricte $-2n(1-x)$ $1-e^{-x}$ $x$ $-2n(1-x)$ $-2n(1-x)$ $-2n(1-x)$ Archimédienne $-2n(1-x)$		CONORMES TRIANGULAIRES S	PROPRIETES DE S	GENERATEUR ADDITIF 9	g <sup>-1</sup> (x)	a g b (pour a < b)
Archimédienne $-kn(1-x)$ $1-e^{-x}$ stricte $x$ $x$ $x$ non stricte $x$ $x$ $x$ Discontinue $-k$ $k$ $k$ $k$ $k$ $k$ $k$ $k$ $k$ $k$	S.	1 (a,b) = max(a,b)	Continue	10		q
Archimédienne x x x non stricte $\frac{1}{p}(a,b)$ Discontinue $\frac{1}{p}(a,b)$ Archimédienne $\frac{1}{p}(a,b)$ $\frac{1+(\gamma-1)x}{p}$ $\frac{e^{\gamma x}}{e^{\gamma x}+\gamma-1}$ $\frac{1}{p}$ $\frac{1}{p}(a,b)$ Archimédienne $\frac{1}{p}(a,b)$ $\frac{1}{p$	Ω.	2(a,b) = a+b - ab	Archimédienne stricte	- ln (1-x)	1 - e - x	b-a 1-a
Discontinue	w i	$_3(a,b) = \min(1,a+b)$	Archimédienne non stricte	×	×	b-a
0 Discontinue	ຜູ	4(a,b) =  a si b=0 1 sinon	Discontinue	ł	ı	N'existe pas (cf. remarque 2)
Archimédienne $x^{D}$ $x^{1/D}$ $x^$	ຜູ	$  \mathbf{s}(\mathbf{a},\mathbf{b})   \approx   \mathbf{s}(\mathbf{a},\mathbf{b})   +    \mathbf{s}(\mathbf{a},\mathbf{b})   +     \mathbf{s}(\mathbf{a},\mathbf{b})   +                                  $	Discontinue	1	1	b si a < b < 1-a a si b > max(a,1-a)
$ \begin{array}{cccccccccccccccccccccccccccccccccccc$	3 5	$\langle (a,b) \rangle = \min \left[ \underline{1}, (a^p + b^p)^{1/p} \right] = \underline{Y}_p^*(a,b)$ $\langle (ager) \rangle > 0, Y_0^*(a,b) = S_4$	Archimédienne non stricte	α <sub>x</sub> x	x1/p	(b <sup>p</sup> - a <sup>p</sup> ) 1/p
Archimédienne $(\frac{1}{x}-1)^{-\lambda} - \frac{1}{\lambda}$ Stricte $(\frac{1}{x}-1)^{-\lambda} - \frac{1}{\lambda}$ $\frac{1}{1+x^{-\frac{1}{\lambda}}}$	S7	$(a,b) = H'_{\gamma}(a,b) = 1 - \frac{(1-a)(1-b)}{\gamma + (1-\gamma)(1-ab)}$ amacher) $\gamma > 0$ , $H'_{1} = S_{2}$ , $H''_{\infty} = S_{4}$		$\frac{1}{\gamma} \ln \frac{1 + (\gamma - 1)x}{1 - x}$	e 1x-1	b-a 1-a-a(1-b) (1-y)
	88 Q	$ (a,b) = D_{\lambda}'(a,b) = \frac{1}{1 + \left[ \frac{1}{a} - 1 \right]^{-\lambda} + (\frac{1}{b} - 1)^{-\lambda} \right]^{-\frac{1}{\lambda}}}  $ and i) $\lambda > 0$ , $D_{1}' = H_{0}'$ , $D_{\infty}' = S_{1} $	Archimédienne stricte	$\left(\frac{1}{x}-1\right)^{-\lambda}$	1 + x - 1 1 1 1 1 1 1 1 1 1 1 1 1 1 1 1 1 1	$\frac{1}{1 + \left[ \frac{1}{5} - 1 \right]^{-\lambda} - \left( \frac{1}{a} - 1 \right)^{-\lambda} \right]^{-\frac{1}{\lambda}}}$

$S_9(a,b) = S_1^{\prime}(a,b) = \min(1,a+b+\lambda ab)$ (Sugeno) $\lambda > -1$	Archimédienne non stricte	$\frac{g_{\Omega}(1+\lambda x)}{g_{\Omega}(1+\lambda)}$	<u>λ</u> [{½+̞λ) <sup>×</sup> -1]	b-a 1+λa
$S_{10}(a,b) = M'_{\lambda}(a,b) = \min(1,a+b-\frac{\lambda ab}{1+\lambda})$ (Weber) $\lambda > -1$	Archimédienne non stricte	$1-\frac{k_{\ln(1+\lambda(1-x))}}{k_{\ln(1+\lambda)}}$	$1 - \frac{\ell \ln(1 + \lambda(1 - x_1))}{\ell \ln(1 + \lambda)}  1 - \frac{1}{\lambda} \left[ (1 + \lambda)^{1 - x_1} \right]  \frac{(1 + \lambda)(b - a)}{1 + \lambda(1 - a)}$	(1+\) (b-a) 1+\((1-a)
$S_{11}(a,b) = S_p^{+}(a,b)$ = 1 -max[0,(1-a)^P+(1-b)^P-1]^1 \frac{1}{p} (Schweizer et Sklar) p e R	p > 0 Archimédienne stricte p < 0 Archimédienne non stricte	$\begin{array}{c} p > 0 \\ (1-x)^{-p} - 1 \\ p < 0 \\ 1 - (1-x)^{-p} \end{array}$	$\begin{array}{c} p > 0 \\ 1 - (1+x)^{-1/p} \\ p < 0 \\ 1 - (1-x)^{-1/p} \end{array}$	$1 - \left[ 1 + (1-b)^{-p} - (1-a)^{-p} \right] - \frac{1}{p}$
$S_{12}(a,b) = F_{S}(a,b)$ = 1 - 10g <sub>S</sub> $1 + \frac{(s^{1-a}-1)(s^{1-b}-1)}{s-1}$ (Frank) $s > 0$ , $s \neq 1$	Archimédienne stricte	log <sub>s</sub> s-1/s 1-x-1	1 - $\log_{\rm S}(1+\frac{{\rm S}-1}{{\rm S}^{\rm X}})$	$1 - \log_{\mathbf{S}} (1 + \frac{\mathbf{s} - 1}{\mathbf{s}^{\mathbf{X}}})$ $1 - \log_{\mathbf{S}} (1 + \frac{(\mathbf{s} - 1)(\mathbf{s}^{1} - \mathbf{a}_{-1})}{\mathbf{s}^{1} - \mathbf{a}_{-1}})$
$S_{13}(a,b) = D_{\alpha}'(a,b)$ = $1 - \frac{(1-a)(1-b)}{\max(1-a,1-b,\alpha)}$ (Dubois et Prade) $\alpha \in [\overline{0},\overline{1}]$ , $D_{0}' = S_{1}$ , $D_{1}' = S_{2}$	Continue	.1	- t	$1 - \frac{1 - b}{1 - a} \max(1 - a, \alpha)$

#### CHAPITRE 6

#### MESURES D'INCERTAIN

Les mesures d'incertain sont des mesures d'ensembles qui généralisent les mesures de probabilités. Suivant les cas, on rencontrera soit des distributions de densité portant sur des singletons de X, soit une fonction m portant sur les parties de X.

On n'envisage dans ce chapitre que le cas d'un ensemble fini X comportant n singletons :

$$X = \{x_1, x_2, ..., x_n\}.$$

#### 1. DEFINITION D'UNE ALGEBRE

Une famille  $\mathcal H$  de parties de X est une algèbre ssi :

- 1)  $\emptyset$  et  $X \in \mathcal{R}$
- 2) A e # => A e #
- 3) A EA => A \ B et A \ B e A

Un sous-ensemble A  $\in \mathcal{K}\subset \mathcal{G}(\mathbf{X})$  est formé de p éléments (p  $\leqslant$  n) :

$$A = \{x_{i_1}, ..., x_{i_p}\}$$

si 1 \leqslant n, le sous-ensemble A est dit composite.

#### 2. MESURES DE PROBABILITE

Une mesure de probabilité P est une application de  $\mathcal{G}_{(\mathtt{X})}$  dans  $[\![0\,,1\!]$  vérifiant :

- 1) P(X) = 1
- 2)  $A \in \mathcal{H}$  si  $A \cap B = \emptyset \Rightarrow P(A \cup B) = P(A) + P(B)$ .

A partir des axiomes d'une mesure de probabilité, on déduit les propriétés suivantes :

- .  $P(A) + P(\overline{A}) = 1$  et par conséquent :  $P(\emptyset) = 0 .$
- . A  $\leq$  B  $\Rightarrow$  P(A)  $\leqslant$  P(B) ; l'application P est croissante.
- . Pour tout couple A et B e  $\mathcal{H}$  :

$$P(A \cup B) = P(A) + P(B) - P(A \cap B).$$

Dans tous les exemples de ce chapitre, les cases

représentent	les	valeurs	données	pour	construire	une
mesure d'ince						

représentent	les valeurs	imposées par	les contrain-
tes ou les v	aleurs calcul	ées à partir	d'autres cases

Exemple 1 : mesure de probabilité

Considérons  $X = \{a,b,c\}$  et

$A \in \mathcal{R}$	Ø	{a}	{b}	{c}	{a,b}	{a,c}	{b,c}	{a,b,c}
P(A)	0	.2	.3	.5	.5	. 7	.8	1

Pour une mesure de probabilité :

$$P(A) = \sum_{j=1}^{p} P(x_{ij})$$

#### 3. MESURES D'INCERTAIN

#### 3.1. Définition d'une mesure d'incertain :

Une mesure d'incertain g est une application d'une algèbre  $\mathcal H$  de X (fini) dans [0,1] vérifiant :

$$g(\emptyset) = 0 \tag{1.1}$$

$$g(X) = 1$$
 (1.2)

(1)

$$\forall A \in \mathcal{H}$$
 $\text{va} \in \mathcal{H}$ 
 $\text{si } A \in \mathbb{B} \Longrightarrow g(A) \leqslant g(B) \quad (1.3)$ 

Une mesure d'incertain n'est donc pas une mesure mathématique au sens strict du terme. Du reste, pour éviter toute confusion, Kaufmann préfère le terme de "valuation" à celui de mesure d'incertain.

La relation (1.3) traduit que si A est contenu dans B, on a toujours autant confiance en l'occurence de B qu'en celle de A.

Exemple 2 : mesure d'incertain

Considérons X = {a,b,c} et

A ∈ ℋ	Ø	{a}	{b}	{c}	{a,b}	{a,c}	{b,c}	{a,b,c}
g(A)	0	.2	,3	.4	[.3,1]	[.4,1]	[.4,1]	1

La notation précédente signifie par exemple que pour  $A = \{a,b\}$ , g peut prendre n'importe quelle valeur appartenant au segment fermé  $\begin{bmatrix} .3,1 \end{bmatrix}$ .

#### 3.2. Propriétés d'une mesure d'incertain :

Les relations (1) impliquent :

$$\forall A \in \mathcal{A}$$
  $g(A \cap B) \leq \min(g(A), g(B))$  (2)

$$\forall B \in \mathcal{H}$$
  $q(A \cup B) \gg \max(q(A), q(B))$  (3)

La relation (1.3) permet de déterminer une plage dans laquelle doit se trouver la valeur de la mesure floue g pour des éléments composites.

Il existe donc une infinité de fonctions g satisfaisant les relations (1). Pour définir les fonctions g vérifiant (1), il est nécessaire de restreindre la classe de telles fonctions g. Deux démarches sont possibles.

#### 4. PREMIERE CONSTRUCTION DES MESURES D'INCERTAIN

#### 4.1. L'opérateur de combinaison x :

Afin de calculer facilement les valeurs de la fonction g pour les éléments composites, nous substituerons à la relation (1.3) la relation moins générale :

$$\forall A \in \mathcal{K}$$
  $\forall B \in \mathcal{K}$   $\Rightarrow A \cap B = \emptyset \text{ alors } g(A \cup B) = g(A) \times g(B)$  (1.3)

où x est une opération interne définie sur [0,1]. Ainsi, suivant le problème posé, on aura à choisir parmi les différentes fonctions g vérifiant (1.3').

L'opération \* doit satisfaire :

- l'associativité :  $g(A) \times (g(B) \times g(C)) = (g(A) \times g(B)) \times g(C)$
- la commutativité :  $g(A) \times g(B) = g(B) \times g(A)$
- la monotonie si g(A)  $\geqslant$  g(B) alors g(A) $xg(C) \geqslant$  g(B)xg(C)
- et la conditions aux limites :  $q(A) \times 0 = q(A)$ .

En particulier, lorsque l'opérateur  $\mathbf{x}$  est une conorme, les conditions précédentes sont satisfaites.

Puisque A  $\bigcup \overline{A} = X$ , la relation (1.3') implique :

$$g(A) * g(\overline{A}) = 1 \tag{4}$$

Pour la construction des valeurs de g(A) pour A e $\mathcal{G}_{(X)}$ , la relation (1.3') peut être adaptée au cas de deux ensembles A et

B non nécessairement disjoints. (1.3') est équivalent à (1.3") :

$$\forall A \in \mathcal{H}$$

$$\forall B \in \mathcal{H}$$

$$g(A \cup B) \times g(A \cap B) = g(A) \times g(B) \qquad (1.3")$$

(voir la démonstration [PRA-82] page 14).

En définissant uniquement g sur l'ensemble des singletons de X, la relation (1.3') ou (1.3") permet la connaissance de g(A) pour tous les éléments composites appartenant à  $\Re (X)$ :

$$g(A) = g(\bigcup_{j=1}^{p} \{x_{i_{j}}\}) = g_{i_{1}} \times ... \times g_{i_{p}}$$
 (5)

en notant  $g_i = g(\{x_i\})$ .

L'ensemble  $\{g_i\}_{i=1,n}$  est la densité de g.

De telles mesures g sont appelées mesures décomposables. Puisque g(X) = 1, alors :

$$g_1 \times \dots \times g_n = 1 \tag{6}$$

Cette relation est trivialement satisfaite dès qu'il existe un  $x_i$  & X tel que  $g_i$  = 1. La relation (6) est une condition de normalisation des mesures d'incertain.

#### 4.2. Exemples :

#### 4.2.1. Composition x : somme bornée :

Choisissons pour la composition  $\mathbf{x}\text{, la conorme}$  somme bornée :

$$a \times b = min(1, a+b)$$
.

La relation (1.3') s'écrit alors :

$$\forall A \in \mathcal{H}$$

$$\text{Si } A \cap B = \emptyset \quad g(A \cup B) = \min(1, g(A) + g(B))$$

$$\forall B \in \mathcal{H}$$

#### Exemple 3:

Considérons  $X = \{a,b,c\}$  et

A	g(A)	Ā	g(A)	$g(A)+g(\overline{A})$
ø	0	{a,b,c}	1	1
{a}	.2	{b,c}	.9	1.1
{b}	.3	{a,c}	.8	1.1
{c}	.6	{a,b}	.5	1.1
{a,b}	.5	{c}	.6	1.1
{a,c}	.8	{b}	.3	1.1
{b,c}	. 9	{a}	.2	1.1
{a,b,c}	1	ø	0	1

Dans le cas où l'opérateur x est la somme bornée, alors :

$$g(A) + g(\overline{A}) \geqslant 1$$

et  $\sum_{i=1}^{n} g_{i} > 1$  la somme s'effectuant pour les singletons de X. i=1

Dans le cas limite où  $\sum\limits_{i=1}^{n}$   $g_{i}$  = 1, la densité g est une mesure de probabilité.

#### 4.2.2. Composition $\mathbf{x}$ : maximum - Mesures de possibilité :

$$a \times b = \max(a,b)$$
.

La relation (1.3') est remplacée par (1.3"), mais puisque  $A \cap B \subseteq A \cup B$ , alors d'après la monotonie :

$$q(A \cap B) \leq q(A \cup B)$$
,

(1.3") s'écrit, pour l'opération \* maximum :

$$\forall A \in \mathcal{R}$$

$$g(A \cup B) = \Pi(A \cup B) = \max(\Pi(A), \Pi(B))$$

$$\forall B \in \mathcal{H}$$

La mesure g ainsi définie, notée aussi  $\Pi$ , dans le cas particulier de la conorme maximum, est une mesure de possibilité. La densité  $\{g_i\}_{i=1,n} = \{\Pi_i\}_{i=1,n}$  est appelée distribution de possibilité.

Rappelons la relation (3) :

$$\forall A \in \mathcal{H}$$
 $g(A \cup B) > \max(g(A), g(B))$ ;
 $\forall B \in \mathcal{H}$ 

ainsi, une mesure de possibilité apparaît comme un cas limite des mesures d'incertain. La conorme la plus faible étant le maximum, une mesure de possibilité correspond à la valeur la plus faible prise par le degré de confiance de AU B lorsque l'on connaît le degré de confiance de A et B.

Exemple 4 :
Considérons X = {a,b,c} et

A	g(A)=N(A)	Ā	$g(\overline{A}) = \Pi(\overline{A})$
ø	0	{a,b,c}	1
{a}	1	{b,c}	.3
{b}	.3	{a,c}	1
{c}	.2	{a,b}	1
{a,b}	1	{c}	.2
{a,c}	1	{b}	.3
{b,c}	.3	{a}	1
{a,b,c}	1	ø	0

Afin de normaliser  $\mathbb T$  , il faut prendre l'un des  $\mathbb T_{\tt i}$  égal à l.

Ainsi :

 $\max I_i = 1$ 

i=1,n

De plus, on vérifie que :

$$\max(\Pi(A),\Pi(\overline{A})) = 1$$

Puisque g(X) = 1, pour une mesure de possibilité, il n'est pas possible que la mesure complète ne soit ni en A, ni en  $\overline{A}$ :

$$\Pi(A) \neq 1 \Rightarrow \Pi(\overline{A}) = 1$$

L'un des sous-ensembles A ou  $\overline{A}$  a une mesure de possibilité égale à 1, l'autre ayant une mesure de possibilité susceptible de prendre n'importe quelle valeur dans  $[\overline{0},1]$ . La possibilité d'un événement et celle de son complémentaire ne sont que faiblement liées.

#### 4.2.3. Composition \* : somme probabiliste :

Choisissons pour conorme \* la somme probabiliste :

$$a \times b = a + b - ab$$

La relation (1.3') s'écrit alors :

Exemple 5 :
 Considérons X = {a,b,c} et

A	g(A)	Ā	$g(\overline{A})$	
ø	0	{a,b,c}	1	
{a}	.2	{b,c}	1	
{b}	.3	{a,c}	1	
{c}	1	{a,b}	.44	
{a,b}	.44	{c}	1	
{a,c}	1	{b}	.3	
{b,c}	1	.{a}	.2	
{a,b,c}	1	Ø	0	

La relation (4) donne alors :

$$g(A) + g(\overline{A}) - g(A) \cdot g(\overline{A}) = 1$$

soit: 
$$(1 - g(A))(1 - g(\overline{A})) = 0$$

ou encore :  $\max(g(A), g(\overline{A})) = 1$ 

On ne retrouve pas, comme cas limite, une mesure de probabilité.

#### 4.2.4. Composition $\mathbf{x}$ : conorme $\mathbf{S}_{\mathbf{w}}$ :

Choisissons pour opération  $\mathbf{x}$ , la conorme  $\mathbf{S}_{\mathbf{W}}$ :

$$S_{W}(a,b) = \begin{cases} a & \text{si } b=0 \\ b & \text{si } a=0 \\ 1 & \text{sinon} \end{cases}$$

La relation (1.3') s'écrit alors :

$$\forall A \in \mathcal{K}$$
 si  $A \cap B = \emptyset$   $g(A \cup B) = S_w(g(A), g(B))$  (10)  
 $\forall B \in \mathcal{K}$ 

#### Exemple 6:

A	g(A)	Ā	g(A)	
Ø	0	{a,b,c}	1	
{a}	0	{b,c}	1	
{b}	.1	{a,c}	.2	
{c}	.2	{a,b}	.1	
{a,b}	.1	{c}	.2	
{a,c}	.2	{b}	.1	
{b,c}	1	{a}	0	
{a,b,c}	1	Ø	0	

La condition de normalisation est alors :

ou bien  $\exists k \text{ tel que } g_k = 1$ 

ou bien  $\exists k, \exists k \neq k \text{ tel que } g_k \neq 0 \text{ et } g_k \neq 0.$ 

Remarquons que  $g(A) = 0 \Rightarrow g(\overline{A}) = 1$ .

#### 4.2.5. Les mesures de Sugeno :

Nous sortons du cadre où l'opération  $\mathbf{x}$  est une conorme pour définir des mesures d'incertain vérifiant (1.3').

On utilise alors les mesures  $g_{\lambda}$  de Sugeno définies pour  $\lambda$   $\in$  ]-1,+ $\infty$ [ . La relation (1.3') devient

$$\forall A \in \mathcal{K}$$

$$\forall B \in \mathcal{K} \text{ si } A \cap B = \emptyset, \text{ alors } g_{\lambda}(A \cup B) = g_{\lambda}(A) + g_{\lambda}(B) + \lambda g_{\lambda}(A) \cdot g_{\lambda}(B)$$

$$(11)$$

Rappelons que  $g_{\lambda}$  n'est pas une conorme. Le cas  $\lambda$  = 0 est celui des probabilités.

La condition de normalisation  $g_{\lambda}(X)$  = 1 est satisfaite si :

$$\prod_{i=1}^{n} (1 + \lambda g_i) = 1 + \lambda$$
(12)

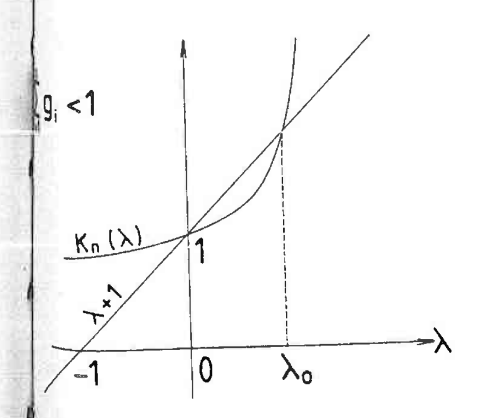
(voir démonstration en annexe 2).

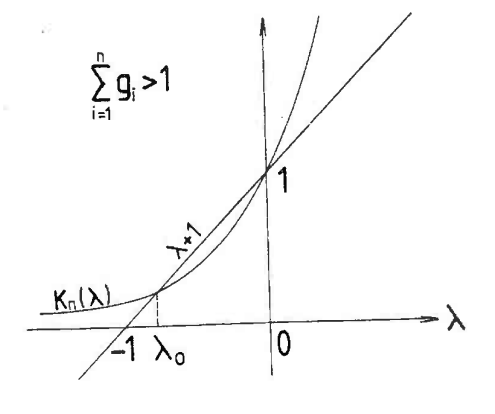
En introduisant la fonction  $\phi(x)=\frac{1}{\lambda}\,\ln(1+\lambda x)$  avec  $\lambda\neq -1$  et  $\lambda\neq 0$ , la condition de normalisation (12) s'écrit aussi :

$$\begin{array}{ccc}
 & n \\
 & \Sigma & \phi(g_i) = \phi(1)
\end{array}$$

La condition de normalisation peut être réalisée soit :

- 1) Si l'on se donne une valeur  $\lambda \in ]-1,+\infty[$ , on peut trouver les  $g_i$  satisfaisant la condition de normalisation (12) (cf. exemple 7).
- 2) Si les  $\{g_i\}_{i=1,n}$  avec  $g_i \in [0,1]$  sont donnés, il existe une valeur unique et une seule  $\lambda \in ]-1,+\infty[$  pour laquelle la condition de normalisation (12) est vérifiée [HUA-86] et LES-85]. Plus précisément, en posant  $K_n(\lambda) = [HUA-86]$   $(1+\lambda g_i)$ , i=1
  - ${\rm K_n}(\lambda)$  est une fonction positive, croissante et convexe. L'unique racine  $\lambda$  de l'équation (12) est :
  - . positive si  $\sum_{i=1}^{n} g_i < 1$ , la mesure  $g_{\lambda}$  correspondante est une mesure de crédibilité (voir § 5.1) ;
  - . négative si  $\sum\limits_{i=1}^{n}g_{i}>1$ , la mesure  $g_{\lambda}$  correspondante est une mesure de plausibilité (voir § 5.1) ;
  - . nulle si  $\Sigma$  g = 1, la mesure g correspondante est une i=1 mesure de probabilité.





La fonction  $G_n(\lambda)=\prod\limits_{i=1}^n(1+\lambda g_i)-\lambda-1$  est appelée la fonction caractéristique des  $g_\lambda$  .

La deuxième méthode de normalisation sera utilisée dans l'application chapitre 7,  $\S$  3.3.1.

Remarquons que si l'un des  $\textbf{g}_{\hat{\textbf{1}}}$  est égal à 1, la valeur unique de  $\lambda$  est égale à -1.

#### Exemple 7:

Considérons  $X = \{a,b,c\}$  et les mesures construites à partir des mesures de Sugeno (11) :

	λ = -1/2	λ = 1/2	λ = 1	λ = 10
A	g <sub>-1/2</sub> (A)	g <sub>1/2</sub> (A)	g <sub>1</sub> (A)	g <sub>10</sub> (A)
Ø	0	0	0	0
{a}	1/3	1/5	1/15	1/12
{b}	2/5	3/11	1/4	1/10
{c}	1/2	2/5	1/2	1/5
{a,b}	2/3	1/2	1/3	4/15
{a,c}	3/4	16/25	3/5	9/20
{b,c}	4/5	8/11	7/8	1/2
{a,b,c}	1	1	1	1

## 4.2.6. Composition \* basée sur la conorme paramétrée de Sugeno :

On peut aussi envisager des mesures d'incertain correspondant à la conorme nilpotente :

$$a \times b = \min(1, a+b+\lambda ab)$$
 avec  $\lambda \in ]-1,+\infty[]$ .

La relation (1.3') s'écrit alors :

$$\forall A \in \mathcal{H}$$

$$\forall B \in \mathcal{H}$$

$$\sin A \cap B = \emptyset \text{ alors } g(A \cup B) = \min [1, g(A) + g(B) + \lambda g(A) g(B)]$$

$$(13)$$

Les mesures  $\mathbf{g}_{\hat{\lambda}}$  de Sugeno apparaissent alors comme un cas particulier de (13).

La condition de normalisation est  $\prod_{\mathbf{i}=1}^{n} (1+\lambda \mathbf{g}_{\mathbf{i}}) \ \geqslant \ 1+\lambda \ .$ 

#### Exemple 8:

Considérons  $X = \{a,b,c\}$  et les mesures construites à partir de la conorme paramétrée de Sugeno (13) :

	$\lambda = -1/2$	$\lambda = 1/2$	λ = 1	λ = 10
A	g <sub>-1/2</sub> (A)	g <sub>1/2</sub> (A)	g <sub>1</sub> (A)	g <sub>10</sub> (A)
Ø	0	0	0	0
{a}	.2	.1	.2	.1
{b}	.4	.3	.5	.2
{c}	.7	.7	.6	.3
{a,b}	.56	.415	.8	.5
{a,c}	.83	.835	.92	.7
{b,c}	.96	1	1	1
{a,b,c}	1	1	1	1

## 4.2.7. Composition $\mathbf x$ basée sur la conorme paramétrée de Yager :

Envisageons la famille paramétrée de conormes nilpotentes définies à partir de la conorme de Yager :

$$a \times b = \min(1, a^{q} + b^{q})^{1/q}$$
, avec  $q > 0$ 

La relation (1.3') s'écrit alors :

$$\forall A \in \mathcal{H}$$

$$\forall B \in \mathcal{H} \text{ si } A \cap B = \emptyset \text{ alors } g(A \cup B) = \min \left[1, g(A)^{q} + g(B)^{q}\right]^{\frac{1}{q}} \quad (14)$$

$$\text{avec } q > 0$$

La condition de normalisation est  $\sum_{i=1}^{n} (g_i)^q \geqslant 1$ , la somme s'effectuant sur les singletons de  $\tilde{X}$ .

#### Exemple 9:

Considérons  $X = \{a,b,c\}$  et les mesures construites à partir de la conorme paramétrée de Yager (14) pour q=2 :

A	g(A)	
ø	0	
{a}	.3	
{b}	.4	
{c}	.9	
{a,b}	.5	
{a,c}	.949	
{b,c}	.985	
{a,b,c}	1	

# 4.3. Classification des mesures d'incertain basées sur une conorme :

Rappelons l'ordre vérifié par les principales conormes :

 $\max(a,b) \leqslant a+b-ab \leqslant \min(1,a+b) \leqslant S_W(a,b)$ .

1) La contrainte la plus faible liant g(A) et  $g(\overline{A})$  pour toute mesure d'incertain basée au sens de (1) est :

$$\forall A \in \mathcal{H} \qquad g(A) = 0 \Rightarrow g(\overline{A}) = 1 \tag{15}$$

C'est le cas de la composition  $S_{\mathbf{W}}(\mathbf{a},\mathbf{b})$ .

2) Si l'opération  $\mathbf{x}$  est une conorme plus petite ou égale à la somme bornée  $\mathbf{s}_{\mathbf{b}} = \min(1, \mathbf{a} + \mathbf{b})$ , alors :

$$\forall A \in \mathcal{H} \qquad g(A) + g(\overline{A}) \geqslant 1$$
 (16)

3) Si l'opération  $\mathbf{x}$  est une conorme stricte ou si  $\mathbf{x}$  est une conorme inférieure ou égale à la somme probabiliste  $\mathbf{s}_{\mathbf{p}}$  = a+b-ab, alors :

$$\forall A \in \mathcal{H} \quad \max(g(A), g(\overline{A})) = 1$$
 (17)

Toutes les mesures floues qui vérifient (17) seront appelées "mesures de pseudo-possibilité". Les mesures de possibilité correspondant à  $\mathbf{x}$  = max font partie de cette classe.

4) Si l'opération  $\varkappa$  est une conorme nilpotente ayant pour générateur additif  $\varphi,$  alors :

$$\forall \mathbf{A} \in \mathcal{H} \qquad \phi \left[ \mathbf{\bar{g}}(\mathbf{A}) \right] + \phi \left[ \mathbf{\bar{g}}(\mathbf{\bar{A}}) \right] \geqslant \phi(1) \tag{18}$$

La condition de normalisation correspondante est :

n
$$\sum_{i=1}^{E} \phi(g_i) > \phi(1) \qquad (cf. exemple 9)$$

## 4.4. Mesures d'incertain duales :

## 4.4.1. Propriétés des mesures d'incertain duales :

La mesure d'un événement g(A) et celle de l'événement contraire g( $\overline{A}$ ) peuvent ne pas être déductibles l'une de l'autre et g( $\overline{A}$ ) apporte alors des informations complémentaires à g(A).

Soit g une mesure floue décomposable et c une négation forte. Construisons alors la mesure floue  $\overline{g}_{_{\hbox{\scriptsize C}}}$  définie par :

$$\overline{g}_{c}(A) = c[g(\overline{A})] \quad \forall A \in X$$

Si g vérifie la relation (1.3'), l'opération  $\mathbf{x}$  est une conorme triangulaire, alors  $\bar{\mathbf{g}}$  vérifie la relation suivante :

$$\forall A \in \mathcal{A}$$

$$\forall B \in \mathcal{A}$$
si  $A \cup B = X$  alors  $\overline{g}_{C}(A \cap B) = \overline{g}_{C}(A) \perp \overline{g}_{C}(B)$ 
(19)

où l'opération binaire \( \) est définie par :

$$\forall a \in [0,1]$$

$$a \mid b = c[c(a) \times c(b)]$$

$$\forall b \in [0,1]$$
(20)

est une norme triangulaire.

Les mesures g et  $\overline{g}_{\mathbb{C}}$  sont dites c-duales l'une de l'autre. Ainsi, les mesures d'incertain basées sur les normes se déduisent par dualité des mesures d'incertain basées sur les conormes. Les mesures d'incertain basées sur (19) véri-

fient les propriétés analogues à celles basées sur les conormes :

$$\forall A \in \mathcal{H}$$

$$\forall B \in \mathcal{H}$$

$$\text{et}$$

$$g(A \cap B) = \overline{g}(A) \perp \overline{g}(B)$$

$$(21)$$

$$\overline{g}(A) \perp \overline{g}(\overline{A}) = 0$$
 (22)

Soit 
$$A = \{x_{i_1}, \dots, x_{i_p}\}$$
; alors  $\overline{A} = \{x_{i_{p+1}}, \dots, x_{i_n}\}$ .

La mesure d'incertain  $\overline{g}(A)$  peut s'exprimer à partir de la connaissance de  $\overline{g}$  sur l'ensemble des éléments composites de X comprenant exactement (n-1) éléments.

Posons :  $\overline{g}_i = \overline{g}(X - \{x_i\})_{i=1,n}$  ; on a alors :

$$\overline{g}(A) = \overline{g}(\bigwedge_{x_{\underline{i}} \not\models A} (x - \{x_{\underline{i}}\}) = \overline{g}_{\underline{i}_{p+1}} \perp \cdots \perp \overline{g}_{\underline{i}_{n}}$$
 (23)

 $\{\overline{g}_i\}_{i=1,n}$  est appelée la codensité de  $\overline{g}$ .

La condition de normalisation de la codensité est obtenue en traduisant  $g(\emptyset)$  = 0, soit :

$$\overline{g}_{i_1} \perp \cdots \perp \overline{g}_{i_n} = 0 \tag{24}$$

Cette relation est trivialement satisfaite dès qu'il existe un  $\mathbf{x_i}$  & X tel que  $\mathbf{\widetilde{g}_i}$  = 0.

## 4.4.2. Exemples :

4.4.2.1. Composition 1 : minimum - Mesures de nécessité :

Les mesures d'incertain g qui vérifient

$$\forall A \in \Re$$

$$\forall B \in \Re$$

$$\overline{g}(A \cap B) = N(A \cap B) = \min(N(A), N(B))$$
(25)

sont appelées mesures de nécessité (ou mesures de certitude). Toutes les mesures de certitude vérifient la relation (2). La norme la plus forte étant le minimum, une mesure de nécessité correspond à la valeur la plus forte prise par le degré de confiance de An B lorsque l'on connaît le degré de confiance de A et B.

Les mesures d'incertain duales des mesures de nécessité sont les mesures notées  $\hat{\textbf{g}}$  définies par :

$$\forall A \in \mathcal{H}$$
  $\hat{g}(A) = 1 - \overline{g}(\overline{A})$ 

Ces mesures  $\hat{g}$  vérifient (8) et sont donc des mesures de possibilité.

L'équation de dualité est :

$$\forall A \in \mathcal{H} \quad \Pi(A) = 1 - N(\overline{A})$$
 (26)

où I et N désignent respectivement des mesures de possibilité et de nécessité. Cette équation de dualité exprime la nécessité d'un événement correspondant à l'impossibilité de l'événement contraire.

Exemple 10 : mesures de nécessité (dualité avec les mesures de possibilité définies par a x b = max(a,b))

Considérons  $X = \{a,b,c\}$  et la mesure d'incertain définie par (25) avec a  $\perp$  b = min(a,b) :

A	g(A)=N(A)	Ā	$\overline{g}(\overline{A}) = N(\overline{A})$	$min(N(A),N(\overline{A}))$
Ø	0	{a,b,c}	1	0
{a}	0	{b,c}	.8	0
{b}	0	{a,c}	.7	0
{c}	.7	{a,b}	0	0
{a,b}	0	{c}	.7	0
{a,c}.	.7	, {p}	0	0
{b,c}	.8	{a}	0	0
{a,b,c}	1	ø	0	0

Pour normaliser  $\overline{g}$ , il faut prendre l'un des  $\overline{g}_{\underline{i}}$  égal à 0, donc :

$$\min_{i=1,n} \overline{g}_i = 0$$

et  $\min(N(A), N(\overline{A})) = 0$ 

L'un des sous-ensembles A ou  $\overline{A}$  a une mesure de nécessité égale à 0, l'autre ayant une mesure de nécessité susceptible de prendre n'importe quelle valeur dans  $[\overline{0},1]$ ; donc :

$$N(A) \neq 0 \Rightarrow N(\overline{A}) = 0$$

En tenant compte de (26), on vérifie que :

Ainsi, un événement incertain est d'abord possible avant d'être nécessaire.

De plus,  $N(A) > 0 \Rightarrow N(\overline{A}) = 0$ , donc  $\Pi(A) = 1$ .

Un événement quelque peu nécessaire (N(A) > 0) est donc complètement possible ( $\Pi(A)$  = 1) et :

$$\Pi(A) < 1 \Rightarrow \Pi(\overline{A}) = 1$$
, donc  $N(A) = 0$ 

Un événement non entièrement possible ( $\Pi(A) < 1$ ) n'est jamais nécessaire (N(A) = 0).

Pour une mesure de probabilité, la probabilité d'un événement P(A) détermine complètement celle de son contraire P( $\overline{A}$ ) = 1 - P(A).

Par contre, pour caractériser une proposition incertaine A, nous prendrons un couple de nombres (N(A), $\Pi$ (A)) bien que dans le cas où N(A) > 0 (ou  $\Pi$ (A) < 1), un seul nombre suffit.

4.4.2.2. Composition  $\perp$ : max(0,a+b-1):

(dualité des mesures associées à la somme bornée :

$$a \times b = \min(1,a+b)$$
.

Soit la norme  $T_m(a,b)$  avec :

$$T_{m}(a,b) = \max(0,a+b-1)$$

La relation (19) s'écrit alors :

$$\forall A \in \mathcal{H}$$
 si  $AUB = X$  alors  $\overline{g}(A_{1}B) = \max(0, \overline{g}(A) + \overline{g}(B) - 1)$  (27)

Exemple 11:

Considérons X = {a,b,c} et

	-			
A	g(A)	Ā	$\overline{g}(\overline{A})$	$\overline{g}(A) + \overline{g}(\overline{A})$
ø	0	{a,b,c}	1	1
{a}	.1	{b,c}	.8	.9
{b}	.2	{a,c}	.7	.9
{c}	.5	{a,b}	.4	. 9
{a,b}	.4	{c}	.5	.9
{a,c}	.7	{b}	.2	.9
{b,c}	.8	{a}	.1	.9
{a,b,c}	1	Ø	0	1

Dans le cas où l'opérateur  $\perp$  est la norme  $T_m(a,b)$ ,

alors :

$$\overline{g}(A) + \overline{g}(\overline{A}) \leq 1$$

la somme s'effectuant sur les éléments composites de X.

4.4.2.3. Composition 1: produit ab:

(dualité des mesures associées à la somme probabiliste :

$$a \times b = a + b - ab$$
).

Soit la norme produit :

$$a \perp b = ab$$

La relation (19) s'écrit alors :

$$\forall A \in \mathcal{R}$$

$$\text{si } A \cup B = X \text{ alors } \overline{g}(A \cap B) = \overline{g}(A) . \overline{g}(B)$$

$$\forall B \in \mathcal{R}$$
(28)

Exemple 12:

Considérons  $X = \{a,b,c\}$  et la mesure d'incertain définie par (28) avec a  $\mid$  b = ab :

A	g(A)	Ā	g(A)	$\min(\overline{g}(A),\overline{g}(\overline{A}))$
ø	0	{a,b,c}	1	0
{a}	0	{b,c}	.8	0
{b}	0	{a,c}	.7	0
{c}	.56	{a,b}	0	0
{a,b}	0	{c}	.56	0
{a,c}	.7	{b}	0	0
{b,c}	.8	{a}	0	0
{a,b,c}	1	Ø	0	0

Dans le cas où l'opérateur  $\bot$  est le produit :

$$\min(\overline{g}(A), \overline{g}(\overline{A})) = 0$$

4.5. Classification des mesures d'incertain basées sur une norme :

Rappelons l'ordre vérifié par les principales normes :

$$T_W(a,b) \leqslant max(0, a+b-1) \leqslant ab \leqslant min(a,b)$$
.

1) Pour toute mesure d'incertain basée sur une norme \( \) au sens de (19), on a :

$$\forall A \in \mathcal{K} \qquad \overline{g}(A) = 1 \implies \overline{g}(\overline{A}) = 0 \tag{29}$$

2) Si  $\mid$  est une norme plus grande ou égale à  $T_m = max(0, a+b-1)$ , alors :

$$\forall A \in \mathcal{H} \qquad \overline{g(A)} + \overline{g(A)} \leqslant 1 \tag{30}$$

3) Si  $\perp$  est une norme stricte ou si  $\perp$  est une norme supérieure ou égale au produit ab, alors :

$$\forall A \in \mathcal{R} \qquad \min(\overline{g}(A), \overline{g}(\overline{A})) = 0 \tag{31}$$

La condition de normalisation équivaut alors à l'existence d'un i tel que  $\overline{g}_i$  = 0. Toutes les mesures floues qui vérifient (31) seront appelées "mesures de pseudo-nécessité". Les mesures de nécessité correspondant à  $\underline{l}$  = min font partie de cette classe.

4) Si  $\downarrow$  est une norme nilpotente ayant pour générateur additif  $\phi$ , alors :

$$\forall \mathbf{A} \in \mathcal{H} \qquad \phi \left[ \overline{g}(\mathbf{A}) \right] + \phi \left[ \overline{g}(\overline{\mathbf{A}}) \right] \geqslant \phi(0) \tag{32}$$

La condition de normalisation correspondante est :

$$\sum_{i=1}^{n} \phi(\overline{g}_{i}) > \phi(0)$$

## 4.6. Mesures d'incertain auto-duales :

Soit une mesure d'incertain g basée sur une conorme triangulaire x et  $\overline{g}_{_{\hbox{\scriptsize C}}}$  la mesure duale basée sur la norme triangulaire  $\bot$  .

Dans le cas particulier où  $\overline{g}=g$ , les mesures d'incertain qui vérifient :

$$\forall A \in \mathcal{J}_{G}$$
  $\overline{g}_{C}(A) = g(A) = c |\overline{g}(\overline{A})|$  (33)

avec c négation forte, sont appelées mesures d'incertain autoduales ou mesures de pseudo-probabilité.

Pour ces mesures, la connaissance de g(A) équivaut à celle de g( $\overline{A})$  .

#### Exemple 13:

Considérons  $X = \{a,b,c\}$  et la mesure de Sugeno correspondant à  $\lambda = 1$ .

La connaissance de  $g_1$  pour les singletons de X, permet la construction de la table de g avec la conorme a x b = min(1,a+b+ab). Les éléments  $g_1(\overline{A})$  s'obtiennent à partir de ceux de  $g_1(A)$  par la formule :

$$g_1(\overline{A}) = \frac{1 - g_1(A)}{1 + g_1(A)} = c_1[g_1(A)]$$

où  $c_1(t) = \frac{1-t}{1+t}$  est la négation de Sugeno.

De même, la connaissance de  $\overline{g}_1$  pour les éléments composites de X redonne la même table  $\overline{g}_1$  en utilisant la norme duale a  $\perp$  b = max(0 ,  $\frac{a+b+ab-1}{2}$ ).

A	g <sub>1</sub> (A)	g <sub>1</sub> (A)
ø	0	0
{a}	1/15	1/15
{b}	1/4	1/4
{c}	1/2	1/2
{a,b}	1/3	1/3
{a,c}	3/5	3/5
{b,c}	7/8	7/8
{a,b,c}	1	1

 $g_1$  et  $\overline{g}_1$  sont des mesures de pseudo-probabilité.

#### Exemple 14:

Envisageons les conormes nilpotentes g basées sur l'opérateur de Yager :

$$\forall A \in \mathcal{K}$$

$$\forall B \in \mathcal{K} \text{ si } A_{\bigcap}B = \emptyset \text{ alors } g(A \cup B) = \sqrt[q]{g(A)^{Q} + g(B)^{Q}} \text{ avec } q > 0$$

$$(34)$$

La fonction génératrice est  $\phi(t)$  =  $t^q$  et la condition de normalisation  $\sum\limits_{i=1}^n \left(g_i\right)^q = 1$ . La négation forte associée à la

conorme est  $c(t) = \sqrt[q]{1-t^q}$  et la mesure d'incertain duale est définie par :

$$\forall A \in \mathcal{R}$$

$$\forall B \in \mathcal{R}$$

$$\text{si } A \cup B = X \text{ alors } \overline{g}(A \cap B) = \sqrt[q]{g(A)^q + \overline{g}(B)^q - 1}$$

$$(35)$$

g et g sont des mesures de pseudo-probabilité.

Considérons  $X = \{a,b,c\}$  et prenons q = 2:

A	g <sub>2</sub> (A)	g <sub>2</sub> (A)
Ø	0	0
{a}	.3	.3
{b}	.4	.4
{c}	.866	.866
{a,b}	.5	.5
{a,c}	.916	.916
{b,c}	.954	.954
{a,b,c}	1	1

## 4.7. Les deux classes de mesures d'incertain décomposables :

1) A toute norme et conorme nilpotentes t-duales, pour une densité  $\{g_i\}_{i=1,n}$  telle que  $\sum\limits_{i=1}^{\Sigma}\phi(g_i)=\phi(1)$  que l'on utilise la relation (1.3') ou la relation (19), on n'obtient qu'une seule mesure d'incertain (cas des mesures d'incertain auto-duales) : une mesure de pseudo-probabilité.

La connaissance de g(A) détermine alors complètement celle de g( $\overline{A}$ ).

- 2) Par contre, pour une densité donnée  $\{g_i\}_{i=1,n}$  avec max  $g_i = 1$ , à toute norme stricte (ou à toute norme supé-i=1,n rieure ou égale à l'opération produit) et à la conorme duale stricte (ou à la conorme duale inférieure ou égale à la somme probabiliste) correspond deux mesures d'incertain, en général distinctes :
  - une mesure de pseudo-possibilité définie par (1.3'),
  - la mesure de pseudo-nécessité duale définie par (19).
  - $q(\overline{A})$  n'est pas toujours déductible de g(A).

# 5. <u>DEUXIEME CONSTRUCTION DES MESURES D'INCERTAIN : MESURES</u> DE CREDIBILITE ET DE PLAUSIBILITE

On affecte  $\tilde{a}$  chacun des sous-ensembles de X une fonction de poids.

#### 5.1. Crédibilité et plausibilité au sens de Shäfer :

Indépendamment de la théorie des ensembles flous et de la théorie des possibilités, Shäfer [SHA-76] introduit les mesures de crédibilité et de plausibilité.

One mesure de crédibilité Cr est une fonction de  $\mathcal{G}_{(X)}$  ensemble des parties de X (fini) dans [0,1] telle que :

- i)  $Cr(\emptyset) = 0$
- ii) Cr(X) = 1
- iii)  $\forall A_i \subseteq X$  i=1,...,k avec 0 < k < 2<sup>n</sup>

$$\operatorname{Cr}(\bigcup_{i=1}^{k} A_{i}) \geqslant \sum_{i=1}^{k} \operatorname{Cr}(A_{i}) - \sum_{i \leq j} \operatorname{Cr}(A_{i} \cap A_{j}) + \ldots + (-1)^{k+1} \operatorname{Cr}(\bigcap_{i=1}^{k} A_{i})$$

La relation précédente de superadditivité s'écrit pour  $k\!=\!2$  :

Toute mesure de crédibilité est complètement définie à partir d'une fonction m, appelée pondération probabiliste de base, de  $^{\mathfrak{S}}$ (X) dans [0,1] telle que :

$$\begin{cases} m(\emptyset) = 0 \\ \Sigma m(A) = 1 \\ A \in X \end{cases}$$

La crédibilité de A se calcule à partir de la pondération probabiliste de base m, par la relation :

$$\forall A \subseteq X$$
  $Cr(A) = \sum_{B \subseteq A} m(B)$  (36)

La crédibilité de A est obtenue en sommant tous les poids en faveur de l'information incertaine associée aux ensembles inclus dans A.

Cr(A) et  $Cr(\overline{A})$  vérifient l'inégalité :

$$\forall A \subseteq X$$
  $Cr(A) + Cr(\overline{A}) \le 1$  (37)

Le référentiel X peut recevoir lui-même une valeur  $m\left(X\right)$  non nulle, qui correspond à la part allouée à l'ignorance totale.

La pondération probabiliste de base m n'est pas une mesure d'incertain ; elle ne satisfait pas (1) ; m est une pondération relative.

Par dualité, la mesure de plausibilité Pl est définie par :

$$\forall A \subseteq X$$
  $Pl(A) = 1 - Cr(\overline{A}) > Cr(A)$  (38)

La plausibilité d'un événement est toujours plus grande que sa crédibilité. La plausibilité Pl vérifie :

- i)  $Pl(\emptyset) = 0$
- ii) Pl(X) = 1
- iii)  $\forall A_i \subseteq X$  i=1,...,k avec 0 < k  $\leqslant 2^n$

$$\operatorname{Pl}(\bigcap_{i=1}^{k} A_{i}) \leqslant \sum_{i=1}^{k} \operatorname{Pl}(A_{i}) - \sum_{i < j} \operatorname{Pl}(A_{i} \cup A_{j}) + \ldots + (-1)^{k+1} \operatorname{Pl}(\bigcup_{i=1}^{k} A_{i})$$

La relation précédente de subadditivité s'écrit pour  $k\!=\!2$  :

$$Pl(A \cup B) \leq Pl(A) + Pl(B) - Pl(A \cap B)$$

Toute mesure de plausibilité est complètement définie à partir de la pondération probabiliste de base :

$$\forall A \subseteq X \qquad Pl(A) = \sum_{B \cap A \neq \emptyset} m(B) \qquad (39)$$

La plausibilité correspond à la somme des poids en faveur de l'information incertaine associée aux ensembles qui possèdent une partie commune avec A.

Pl(A) et  $Pl(\overline{A})$  vérifient l'inégalité :

$$\forall A \subseteq X$$
  $Pl(A) + Pl(\overline{A}) \geqslant 1$  (40)

Crédibilité et plausibilité sont des mesures d'incertain puisqu'elles vérifient (1).

#### 5.1.1. Eléments focaux :

Un sous-ensemble A de X tel que m(A) > 0 est appelé élément focal (ou noyau) de la mesure de crédibilité associée à m.

Dans le cas général d'une mesure de crédibilité ou de plausibilité, les éléments focaux n'ont pas besoin d'être disjoints, ni de former un recouvrement de X.

Une information certaine sera représentée par un seul élément focal A qui recevra le poids 1, ce qui exprimera que l'on est sûr que l'information est correctement représentée par A, et par A seulement.

Dans le cas particulier où tous les éléments focaux de la pondération probabiliste de base m se réduisent aux seuls singletons de X, alors :

$$\forall A \subset X$$
  $Pl(A) = Cr(A) = P(A)$ ,

où P(A) est la probabilité de A. La pondération probabiliste de base est alors la densité de probabilité.

L'approche de l'incertain par des mesures de crédibilité et de plausibilité est plus fine que celle procurée par les probabilités où la connaissance de P(A) détermine celle de  $P(\overline{A})$ . L'intérêt des mesures de crédibilité et de plausibilité est que deux propositions contraires A et  $\overline{A}$  peuvent apparaître toutes les deux plausibles sans être crédibles.

## Exemple 15:

Considérons  $X = \{a,b,c\}$  et la fonction d'ensemble m (pondération probabiliste de base) :

A	m (A)	Cr(A)	Pl(A)
Ø	0	0	0
{a}	.1	.1	.6
{b}	.2	.2	.65
{c}	.1	.1	.65
{a,b}	.05	.35	.9
{a,c}	.15	.35	.8
{b,c}	.1	.4	.9
{a,b,c}	.3	1	1

Réciproquement, si l'on connaît la crédibilité, on peut déterminer la pondération probabiliste de base m par la formule :

$$\forall A \subseteq X$$
  $m(A) = \sum_{B \subseteq A} (-1)^{|A-B|} Cr(B)$  (41)

## 5.1.2. Fonctions de communalité :

A toute mesure de crédibilité, on peut associer une autre fonction d'ensemble que la pondération probabiliste de base m, une fonction de communalité de  $\mathcal{G}(x)$  dans [0,1] telle que :

$$Q(\emptyset) = 1 \text{ et } \forall x \in X$$
  $Q(\{x\}) = Pl(\{x\})$ 

Crédibilité et fonction de communalité sont reliées par la relation :

$$\forall A \leq X \qquad Cr(A) = \sum_{B \cap A = \emptyset} (-1)^{|B|} Q(B) \qquad (42)$$

ou réciproquement :

$$VA \leq X$$
  $Q(A) = \sum_{B \supset A} m(B)$  (43)

#### Exemple 16:

Reprenons l'exemple précédent ; la fonction de communalité correspondante est donnée dans le tableau suivant :

A	Cr(A)	Q(A)	Pl(A)
ø	0	1	0
{a}	.1	.6	. 6
{b}	.2	.65	.65
{c}	.1	.65	.65
{a,b}	.35	.35	.9
{a,c}	.35	.45	.8
{b,c}	. 4	.4	.9
{a,b,c}	1	.3	1

# 5.2. <u>Diverses classes de mesures de crédibilité ou de plausibilité</u>:

On considère un certain nombre de cas particuliers de mesures de crédibilité ou de plausibilité.

## 5.2.1. Les fonctions de corroboration simple :

Elles sont telles que la pondération probabiliste de base est partout nulle sauf :

sur un sous-ensemble Y de X où elle vaut s, et sur X où elle vaut 1-s.

Connaissant la pondération probabiliste de base m, on en déduit la crédibilité et la plausibilité  $\frac{1}{3}$  s  $\in [0,1]$ :

$$\forall A \subseteq X$$
 ,  $Cr(A) =$ 

$$\begin{vmatrix}
0 & \text{si } A \not\supseteq Y \\
\text{s si } A \supseteq Y \text{ et } A \neq X \\
1 & \text{si } A = X
\end{vmatrix}$$
(44)

et:

$$\forall A \subseteq X , Pl(A) = \begin{vmatrix} 1 & \text{si } A \cap Y \neq \emptyset \\ 1 - s & \text{si } A \cap Y = \emptyset \text{ et } A \neq \emptyset \\ 0 & \text{si } A = \emptyset \end{vmatrix}$$
 (45)

## Exemple 17 :

Considérons  $X = \{a,b,c\}$  et la corroboration simple définie sur  $Y = \{a,b\}$  avec s = .3:

A	m (A)	Cr(A)	Pl(A)
ø	0	0	0
{a}	0	0	1
{b}	0	0	1
{c}	0	0	. 7
{a,b}	.3	.3	1
{a,c}	0	0	1
{b,c}	0	0	1
{a,b,c}	.7	1	1

## 5.2.2. Les fonctions de corroboration consonante :

Pour de telles fonctions, l'ensemble des éléments focaux  $\{A\subseteq X\ ,\ m(A)>0\}$  forme une suite de sous-ensembles emboités  $A_1\subseteq A_2\ \ldots\subseteq A_m$  (si  $A\ne A_i\ i=1,n$  , alors m(A)=0).

#### Exemple 18:

Considérons  $X = \{a,b,c\}$  et la pondération probabiliste de base m telle que  $m(\{a\}) = .1$  ,  $m(\{a,b\}) = .3$  et  $m(\{a,b,c\}) = .6$ :

A	m (A)	Cr(A)	P1(A)
ø	0	0	0
{a}	.1	.1	1
{b}	0	0	. 9
{c}	0	0	.6
{a,b}	.3	. 4	1
{a,c}	0	.1	1
{b,c}	0	0	.9
{a,b,c}	.6	1	1

Pour des fonctions de corroboration consonante, on vérifie que :

$$\forall A \subseteq X$$
  $Cr(A \cap B) = min(Cr(A), Cr(B))$  (46)

$$\forall B \subseteq X \qquad Pl(A \cup B) = max(Pl(A), Pl(B)) \qquad (47)$$

Si les éléments focaux sont emboités (cas des fonctions de corroboration consonante), alors la fonction de plausibilité de Shäfer se confond avec la mesure de possibilité au sens de Zadeh. La fonction de crédibilité se confond avec la mesure de nécessité.

## 5.2.3. Les mesures floues de Sugeno :

On considère les fonctions paramétrées de  $\mathcal{G}_{\mathrm{dans}}$ 

$$g_{\lambda}(AUB) = g_{\lambda}(A) + g_{\lambda}(B) + \lambda g_{\lambda}(A) \cdot g_{\lambda}(B)$$
 (48)  

$$avec \lambda \in ]-1,+\infty[.$$

Pour  $\lambda > 0$ , les mesures  $g_{\lambda}$  sont des mesures de crédibilité, mais ne sont pas des mesures de nécessité sauf dans le cas trivial des mesures de Dirac telles que :

$$\exists x$$
,  $\in X$ ,  $\forall A \in \mathcal{X}$  
$$\begin{cases} g(A) = 0 \text{ si } x, \notin A \\ g(A) = 1 \text{ si } x, \in A \end{cases}$$

Par dualité, pour -1 <  $\lambda \leqslant 0$ , les mesures  $g_{\lambda}$  sont des mesures de plausibilité, mais ne sont pas des mesures de possibilité, sauf dans le cas trivial des mesures de Dirac.

Pour un sous-ensemble A, on obtient deux mesures floues : une mesure de crédibilité et une mesure de plausibilité.

5.3. Densité et pondération probabiliste de base.

Passage entre les deux constructions de mesures
d'incertain:

Pour un ensemble X fini à n éléments, on peut construire une mesure d'incertain à partir d'une densité, c'est-à-dire, à partir de la connaissance de n-1 valeurs (en tenant compte de la contrainte de normalisation) (cf. exemples 3 à 15).

Par contre, à partir de la fonction d'ensemble m, pondération probabiliste de base, on construit une mesure d'incertain à partir de la connaissance de  $2^n-2$  valeurs (en tenant compte des contraintes  $m(\emptyset)=0$  et  $\Sigma$  m(A)=1). On examine successivement trois cas.

## 5.3.1. Mesure de possibilité ou de nécessité :

Une mesure de possibilité (ou de nécessité) peut s'exprimer à la fois en termes de densité  $g_i = g(\{x_i\})$ , i=1,n, ou en termes de pondération probabiliste de base sur des ensembles emboités. Les mesures de possibilité (ou de nécessité) sont des fonctions de corroboration consonante.

Connaissant la densité d'une mesure de possibilité, posons  $\Pi_i = \Pi(\{x_i\}) = g_i$ , i=1,n, en reconsidérant éventuellement l'ordre des  $x_i$  de façon que les valeurs  $\Pi_i$ , i=1,n, soient rangées en ordre décroissant.

La pondération probabiliste de base est alors :

$$m_{i} = \Pi_{i} - \Pi_{i+1}$$
  $i=1,n$  (49)  
avec  $\Pi_{n+1} = 0$ 

Réciproquement, si l'on connaît la pondération probabiliste de base, on obtient la densité  $\Pi_{\star}$  :

$$\Pi_{i} = \sum_{j=i}^{n} \Pi_{j} \qquad i=1,n$$
 (50)

## Exemple 19:

Reprenons l'exemple 4 des mesures de possibilité :

$$\Pi_1 = \Pi(\{a\}) = 1$$

$$\Pi_2 = \Pi(\{b\}) = .3$$

$$\Pi_3 = \Pi(\{c\}) = .2$$

Alors: 
$$m_1 = m(\{a\}) = \Pi_1 - \Pi_2 = .7$$
  
 $m_2 = m(\{ab\}) = \Pi_2 - \Pi_3 = .1$   
 $m_3 = m(\{abc\}) = \Pi_3 = .2$ 

		4.	Cr(A)	Pl(A)
A	$\Pi(A) = g(A)$	m(A)		
ø	0	0	0	0
{a}	1	.7	.7	1
{b}	.3	0	0	.3
{c}	.2	0	0	. 2
{a,b}	1	.1	.8	1
{a,c}	1	0	.7	1
{b,c}	.3	0	0	,3
'{a,b,c}	1	.2	1	1

## Exemple 20:

Reprenons l'exemple 10 des mesures de nécessité :

$$N_1 = N(\{c\}) = .7$$
 $N_2 = N(\{b,c\}) = .8$ 
 $N_3 = N(\{a,b,c\}) = 1$ 

Alors: 
$$m_1 = m(\{c\}) = .7$$
  
 $m_2 = m(\{b,c\}) = .8 - .7 = .1$   
 $m_3 = m(\{a,b,c\}) = .2$ 

A	$N(A) = \overline{g}(A)$	(2)			
		m (A)	Cr(A)		
Ø	0	0	0		
{a}	0	0	0		
{b}	0	0	0		
{c}	.7	.7	.7		
{a,b}	0	0	0		
{a,c}	.7	0	.7		
{b,c}	.8	.1	.8		
{a,b,c}	1	.2	1		

#### Exemple 21 :

Réciproquement, connaissant la pondération probabiliste de base consonante, on calcule la densité  $\boldsymbol{\Pi}_i$  :

$$m_1 = m(\{a\}) = .7$$
  
 $m_2 = m(\{a,b\}) = 0$   
 $m_3 = m(\{a,b,c\}) = .3$ 

Alors: 
$$\Pi_1 = \Pi(\{a\}) = m_1 + m_2 + m_3 = 1$$
  
 $\Pi_2 = \Pi(\{b\}) = m_2 + m_3 = .3$   
 $\Pi_3 = \Pi(\{c\}) = m_3 = .3$ 

A	m	Cr(A)	$\Pi(A) = g(A)$	Pl(A)		
ø	0	0	0	0		
{a}	.7	.7	1	1		
{b}			.3	.3		
{c}			.3	.3		
{a,b}	0	.7	1	1		
{a,c}	0	.7	1	1		
{b,c}	-1		.3	.3		
{a,b,c}	.3	1	1	1		

### 5.3.2. Mesures de Sugeno :

Pour  $\lambda \geqslant 0$ , aux mesures de crédibilité  $g_{\lambda}$  définies pour une densité, correspond la pondération probabiliste de base associée, donnée par  $[BAN_O^{-8}1]$ :

$$\forall A \subseteq X , m(A) = \lambda \prod_{\substack{X_1 \in A}} g_1 \quad \text{avec } \lambda \geqslant 0$$
 (50)

et 
$$g_{i} = g_{\lambda}(\{x_{i}\})_{i=1,n}$$

En considérant la bijection involutive  $\lambda \mapsto \frac{-\lambda}{1+\lambda}$  de ]-1,0] dans  $[0,+\infty[$ , les mesures  $g_{\lambda}$  de crédibilité avec  $\lambda > 0$  permettent de définir les mesures de plausibilité :

$$g_{\lambda'} = \frac{-\lambda}{1+\lambda}$$
 avec  $\lambda' \in ]-1,0]$ 

en utilisant la relation :

$$\forall A \subseteq X$$
  $g - \frac{\lambda}{1+\lambda} (A) = 1 - g_{\lambda}(\widetilde{A})$  (51)

Exemple 22:

Considérons l'ensemble  $X = \{a,b,c\}$ :

A	g <sub>10</sub> (A)	m(A)	$g = \frac{10}{11} (A)$
Ø	0	0	0
{a}	1/12	1/12	1/2
{b}	1/10	1/10	11/20
{c}	1/5	1/5	11/15
{a,b}	4/15	1/12	4/5
{a,c}	9/20	1/6	9/10
{b,c}	1/2	1/5	11/12
{a,b,c}	1	1/6	1

Crédibilité

Plausibilité

Pour un même ensemble A, on obtient deux mesures floues : une mesure de crédibilité et une mesure de plausibilité.

Réciproquement, connaissant la pondération probabilité de base m, on peut calculer la mesure de Sugeno par la formule :

$$g(A) = \frac{1}{\lambda} \left\{ \prod_{\mathbf{x}_{\underline{1}} \in A} \left[ \underline{1} + \lambda m(\mathbf{x}_{\underline{1}}) \right] - 1 \right\} \quad \text{si } \lambda \neq 0$$
 (52)

## 5.3.3. Somme probabiliste ou produit :

Connaissant une densité  $g_i = g(\{x_i\})_{i=1,n}$  attachée à une mesure basée sur la conorme somme probabiliste, on peut déterminer la pondération probabiliste de base associée par la formule :

$$\forall A \subseteq X , m(A) = \prod_{x_i \in A} g_i \prod_{x_i \in \overline{A}} (1 - g_i)$$
 (53)

## Exemple 23:

Reprenons l'exemple 5 correspondant à la conorme  $a \times b = a + b - ab$ :

A	g (A)	m (A)
ø	0	0
{a}	. 2	0
{b}	.3	0
{c}	1	0.56
{a,b}	0.44	0
{a,c}	1	.14
{b,c}	1	.24
{a,b,c}	1	.06

Pour une densité  $\overline{g}_i = \overline{g}(\{x_i\})_{i=1,n}$  attachée à une mesure basée sur la norme duale produit, on peut déterminer la pondération probabiliste de base associée par la formule :

$$\forall A \subseteq X$$
 ,  $m(A) = \prod_{x_i \in \overline{A}} g_i^i \prod_{x_i \in A} (1 - g_i^i)$  (54)

avec 
$$g_i' = \overline{g}(\overline{x}_i)_{i=1,n}$$

### Exemple 24 :

Reprenons l'exemple 12 correspondant à la norme a  $\underline{\ }$  b = ab :

A	g(A)	m(A)
Ø	0 -	0
{a}	0	0
{b}	0	0
{c}	.56	.56
{a,b}	0	0
{a,c}	.7	.14
{b,c}	.8	.24
{a,b,c}	1	.06

## 5.3.4. Conclusion:

Toutes les mesures d'incertain basées sur des normes ou des conormes triangulaires ne sont pas des mesures de crédibilité ou de plausibilité. Une mesure d'incertain basée sur  $\mathbf{T}_{\mathbf{W}}$  ou sur  $\mathbf{S}_{\mathbf{W}}$  ne peut pas être une mesure de crédibilité ou de plausibilité.

La relation exacte entre les mesures de crédibilité et de plausibilité et les mesures basées sur des normes ou sur des conormes triangulaires, reste à découvrir, si elle existe.

## 5.4. Approche d'une mesure de plausibilité ou de crédibilité :

On peut approcher une mesure de plausibilité Pl ou une mesure de crédibilité Cr dont la pondération probabiliste ne se ramène pas à une densité, par une mesure d'incertain basée sur une densité.

5.4.1. Approche d'une mesure de plausibilité par une mesure de possibilité ou d'une mesure de crédibilité par une mesure de nécessité :

Pour tout A ⊆ X :

 $P1(A) = \sum_{B \subseteq X} (\sup_{x \in A} \chi_B(x).m(B)) > \sup_{x \in A} (\sum_{B \subseteq X} \chi_B(x).m(B)) =$ 

= sup Pl({x}) xeA

où  $\chi_{B}$  est la fonction caractéristique de B :

$$\chi_{B}(x) = \begin{bmatrix} 1 & \text{si } x \in B \\ 0 & \text{si } x \notin B \end{bmatrix}$$

Le membre de droite est normalisé si, et seulement si :

$$\exists x \in X \text{ tel que PI}(\{x\}) = 1, \text{ c'est-$\tilde{a}$-dire} \bigcap_{B \in X} B \neq \emptyset$$

$$m(B) > 0$$

donc, si les éléments focaux ont une intersection non vide.

On peut alors approcher la plausibilité par une mesure de possibilité  $\Pi\left(A\right)$  dont la densité est déterminée par :

$$\Pi(\{x\}) = P1(\{x\}) \quad \forall x \in X$$

De même, pour tout  $A \subseteq X$ :

$$\operatorname{Cr}(A) \leqslant \inf_{x \in \overline{A}} \left( \sum_{B \in X} \chi_{B}(x) . \pi(B) \right) = \inf_{x \in \overline{A}} (1 - \operatorname{Pl}(\{x\}))$$

Si les éléments focaux ont une intersection non vide, on peut approcher la crédibilité par une mesure de nécessité N(A) dont la densité est déterminée par  $N(\{x'\}) = 1 - P1\{x'\}$  pour tout x' appartenant à l'ensemble des éléments composites de la forme  $X - \{x\}$  (c'est-à-dire ceux comprenant exactement (n-1) éléments). Si les éléments focaux ont une intersection non vide, alors on a les inégalités suivantes :

$$\forall A \subseteq X$$
  $0 \leqslant Cr(A) \leqslant N(A) \leqslant \Pi(A) \leqslant Pl(A) \leqslant 1$ 

#### Exemple 25:

Considérons  $X = \{a,b,c\}$  et la pondération probabiliste de base m telle que  $m(\{a\}) = .2$ ,  $m(\{a,b\}) = .3$ ,  $m(\{a,c\}) = .1$  et  $m(\{a,b,c\}) = .4$ . L'intersection des éléments focaux est  $\{a\}$  et est donc non vide.

A	m(A)	Cr(A)	$N(A) = \overline{g}(A)$	$\Pi(A) = g(A)$	P1(A)
ø	0	0	0	0	0
{a}	.2	.2	.3	1	1
{b}	0	0	0	.7	.7
{c}	0	0	0	•5	.5
{a,b}	.3	.5	.5	1	1
{a,c}	.1	.3	.3	1	1
{b,c}	0	0	0	.7	.8
{a,b,c}	. 4	1	1	1	1

## 5.4.2. Approche d'une mesure de plausibilité ou de crédibilité par une mesure de probabilité :

On peut approcher une mesure de plausibilité ou une mesure de crédibilité par une probabilité en équirépartissant les valeurs de la pondération probabiliste de base m. On construit alors la densité de probabilité telle que :

$$\forall x \in X , p(x) = \sum_{B \ge \{x\}} \frac{1}{|B|} . m(B)$$

où |B| est le cardinal de B.

On obtient alors les inégalités suivantes :

$$\forall A \subseteq X$$
,  $Cr(A) \leqslant P(A) \leqslant Pl(A)$ 

## Exemple 26:

Considérons  $X = \{a,b,c\}$  et la pondération probabiliste de base de l'exemple 15 :

$$p(a) = m(\{a\}) + \frac{m(\{a,b\})}{2} + \frac{m(\{a,c\})}{2} + \frac{m(\{a,b,c\})}{3} = .3$$

$$p(b) = m(\{b\}) + \frac{m(\{b,c\})}{2} + \frac{m(\{a,b\})}{2} + \frac{m(\{a,b,c\})}{3} = .375$$

$$p(c) = m(\{c\}) + \frac{m(\{b,c\})}{2} + \frac{m(\{a,c\})}{2} + \frac{m(\{a,b,c\})}{3} = .325$$

A	1	T		
	m(A)	Cr(A)	p(A)	P1 (A)
Ø	0	0	0	
{a}	.1	.1	.3	0
{b}	.2	, 2		.6
{c}			.375	.65
{a,b}		.1	.325	.65
	.05	.35	.675	. 9
{a,c}	.15	.35	.625	.8
{b,c}	.1	. 4	.7	
[a,b,c]	.3	1		. 9
			1	1

## 5.5. Mesures d'information :

L'objet de ces mesures est de caractériser le degré de croyance en la pondération probabiliste de base.

Soit un référentiel X comprenant un nombre n fini d'éléments et  $\mu_{A^+}(x)$  la fonction d'appartenance à un ensemble A' flou de X. Rappelons que A' est normalisé s'il existe un  $\mathbf{x}_k$  é X pour lequel  $\mu_{A^+}(\mathbf{x}_k)$  = 1.

Si l'on connaît la pondération probabiliste de base m(B) pour toutes les parties de X, alors on peut introduire une fonction dépendant du cardinal de chacun des sous-ensembles de X et calculer une quantité notée :

$$F(m,f) = \sum_{B \subseteq X} m(B) \cdot f(|B|)$$

Si f(|B|) est une fonction décroissante de |B|, alors F(m,f) est une mesure de spécificité (ou de précision) qui porte l'attention sur les m(B)>0 avec |B| faible.

Si f(|B|) est une fonction croissante de |B|, alors F(m,f) est une mesure d'imprécision qui porte l'attention sur les m(B) > 0 avec |B| grand.

## 5.5.1. Mesure de spécificité (ou de précision) de Yager :

Une mesure de spécificité satisfait les conditions suivantes :

- i)  $\forall A'$  sous-ensemble flow de X,  $Sp(A') \in [0,1]$
- ii)  $Sp(A') = 1 \iff A' \text{ est un singleton de } X$
- iii) A' et B' normalisés :

$$A' \subseteq B'(\mu_{A'}(x_i) \leqslant \mu_{B'}(x_i)) \Rightarrow Sp(A') \geqslant Sp(B')$$

$$i=1,n$$

Les éléments de A' étant rangés suivant les valeurs décroissantes de  $\mu_{A^+}(x)$  , créons un élément fictif  $x_{n+1}$  tel que  $\mu_{A^+}(x_{n+1})$  = 0.

La spécificité d'un ensemble flou normalisé A' est définie par :

$$Sp(m) = Sp(A') = \sum_{i=1}^{n} \frac{\mu_{A_i}(x_i) - \mu_{A_i}(x_{i+1})}{i}$$
 (55)

Dans le cas où l'on peut définir une pondération probabiliste de base m, par exemple pour une distribution de possibilité, la spécificité de l'ensemble flou A' s'exprime aussi par :

$$Sp(m) = Sp(A') = \sum_{B \subseteq X} \frac{m(B)}{|B|}$$
(cas de la fonction  $f(x) = \frac{1}{x}$ ) (56)

#### Exemple 27:

Reprenons les données de l'exemple 19 :

$$\Pi(\{a\}) = \mu(\{x_1\}) = 1$$

$$\pi(\{b\}) = \mu(\{x_2\}) = .3$$

$$\Pi(\{c\}) = \mu(\{x_3\}) = .2$$

$$A' = \begin{bmatrix} a & b & c \\ 1 & .3 & .2 \end{bmatrix}$$

$$Sp(A') = \frac{\pi(\{a\}) - \pi(\{b\})}{1} + \frac{\pi(\{b\}) - \pi(\{c\})}{2} + \frac{\pi(\{c\})}{3}$$
$$= \frac{1 - 0.3}{1} + \frac{0.3 - 0.2}{2} + \frac{0.2}{3} = \frac{28}{15}$$

ou encore :

$$Sp(A') = m(\{a\}) + \frac{m(\{a,b\})}{2} + \frac{m(\{a,b,c\})}{3}$$
$$= 0.7 + \frac{0.1}{2} + \frac{0.2}{3} = \frac{28}{15}$$

.  $\mbox{Sp}(\mbox{A}^{\mbox{\tiny 1}})$  est minimum et égal à  $\frac{1}{n}$  dans le cas de l'ignorance totale :

$$m(X) = 1$$
 et  $\forall A \neq X$ ,  $m(A) = 0$  alors  $Sp(A^T) = \frac{1}{n}$ 

. Sp(A') est maximum et égal à 1 dans le cas où tous les éléments focaux sont des singletons, donc pour des mesures de probabilité.

La spécificité évalue donc à quel point la pondération probabiliste de base m s'éloigne d'une densité de probabilité.

## 5.5.2. Degré d'imprécision de Higashi et Klir :

Higashi et Klir introduisent le degré d'imprécision d'un ensemble flou A' normalisé :

$$U(A^{\dagger}) = HI(m) = \sum_{B \subseteq X} m(B) \cdot \log_2(|B|)$$

(cas de la fonction  $f(x) = \log_2 x$ )

Le degré d'imprécision  $U(A^{\prime})$  satisfait les conditions suivantes :

- i)  $\forall A' \subseteq X$ ,  $U(A') \in [0, +\infty]$
- ii) U(A') = 0 <=> A' est un singleton de X
- iii) A' C B' => U(A') < U(B')
- .  $\mathrm{U}(\mathrm{A}^{1})$  est maximum et vaut  $\log_{2}$  n dans le cas de l'ignorance totale.
- . U(A') est minimum et vaut 0 dans le cas où tous les éléments focaux sont des singletons, donc pour des mesures de probabilité.

 $\label{eq:U(A')} \text{ procure une estimation de l'imprécision des } \\ \text{éléments focaux de A'}.$ 

Le cas d'une mesure de probabilité correspond au maximum de précision des éléments focaux et au minimum de conflit entre eux, puisque ces éléments focaux sont des singletons qui ne se recouvrent pas.

Dans le cas d'une mesure de possibilité, il n'y a pas de conflit puisque les éléments focaux sont emboités et seule l'imprécision subsiste.

## 5.5.3. Degré de confusion de Höhle :

Pour une crédibilité, Höhle a proposé d'introduire le degré de confusion :

$$HC(m) = -\sum_{B \subseteq X} m(B) \cdot \ln[Cr(B)]$$

- . HC(m) est minimum et vaut 0 dans le cas où la pondération probabiliste de base ne possède qu'un seul élément focal.
- . HC(m) est maximum si la pondération probabiliste est équirépartie sur un nombre maximum d'éléments focaux tels qu'il n'y ait pas deux éléments focaux inclus l'un dans l'autre (alors  $m(A) > 0 \Rightarrow m(A) = Cr(A)$ ).

HC(m) peut être considéré comme un bon indicateur de la confusion de l'information incertaine représentée par m.

#### Exemple 27:

Pour 
$$X = \{a,b,c,d\}$$
, alors  $HC(m) = ln 6$ .

### 5.5.4. Degré de dispersion de Yager :

Pour une plausibilité, Yager a proposé d'introduire le degré de dispersion :

$$HD(m) = -\sum_{\substack{B \subseteq X}} m(B) \ln[Pl(B)].$$

HD(m) est minimum et vaut 0 dans le cas où les éléments focaux ont une intersection non vide (cas d'un minimum de cohérence entre les éléments focaux ; cf. exemple 24). En particulier, pour une distribution de possibilité, les éléments focaux sont emboités et le degré de dispersion est nul. . HD(m) est maximum si la pondération probabiliste de base est équirépartie sur les singletons de X (cas d'un maximum d'éléments focaux disjoints, alors m(A) > 0 => m(A) = Pl(A)).

HD(m) évalue la dispersion des éléments focaux.

Les propriétés de ces différents indices (additivité et projection) ont été étudiées par Dubois et Prade [DUB 85b et 86b].

## CHAPITRE 7

## APPLICATION À LA RECONNAISSANCE DES PHONÈMES

Notre objectif est de mettre en application les concepts théoriques développés précédemment. Nous partons d'un problème de reconnaissance de formes et, d'une façon plus précise, de reconnaissance de phonèmes et nous aboutissons à des résultats numériques pour apprécier la qualité de la reconnaissance.

## 1. LES FORMES ACOUSTIQUES

Les données acoustiques de chaque phonème sont issues d'un analyseur spectral : c'est un banc de 32 filtres :

le premier filtre est un passe-bas à 200 Hz, le dernier filtre est un passe-haut à 6400 Hz.

Les trente autres sont des passe-bandes dont les fréquences centrales sont approximativement en progression géométrique. L'intervalle entre deux fréquences centrales successives est légèrement inférieur à un ton musical.

Tous les filtres sont des filtres du second ordre. La sortie analogique de chaque filtre est redressée, puis intégrée durant 1/50e de seconde. A l'issue de cette période, la sortie des intégrateurs est convertie en valeurs numériques sur 6 bits : on aura donc des résultats numériques dans la plage 0-63.

TABLEAU PHON 1

Pour constituer le corpus des échantillons servant aux expériences, on analyse un mot. Le résultat est listé et on choisit un échantillon (32 données) au milieu de la zone "stable" d'un phonème.

On a effectué deux relevés à environ un mois d'intervalle, desquels on extrait respectivement :

- 24 phonèmes : 3 occurences de huit phonèmes différentes (fichier PHON 1),
- 12 phonèmes (fichier PHON 2).

## 2. LE CHOIX DES PHONEMES

On a choisi, pour les expériences, huit phonèmes qui présentent la particularité :

- soit de se ressembler fortement entre eux ; exemple : |s| et |z| ou |S| et |O|;
- soit d'être très différents des autres ; exemple : |a| et |s|.

Les huit phonèmes sont les suivants (il leur est associé un numéro de code tout-à-fait arbitraire) :

Phonèmes	y	i	a	s	f	2	2	0
N° de code	9	1	4	18	17	21		

N° code																	
9	24 1	14	33 1	19 1	10	5 10	4	1 3	0 2	0	1	0 2	2	0	0	5	
1	6 0	15 0	13	6	3 0	1 0	1 2	0	0 2	0	0 6	0 7	0	0	0 6	0 5	
4	5 1	12	8	10	8 7	11 2	8 2	11 3	21 5	20 3	7 5	7 4	10 2	7 0	3	3	
4	4 5	8 7	5 8	5 4	3 2	4	6 1	8 1	13 4	14 4	11	20 5	18 7	8 11	2 7	2	
18	0	0	0	0	0	0 1	0	0 2	0 3	0 4	0 12	0 25	0 33	0 50	0 60	0 34	
17	0	0	0	0	0	0 0	0	0 0	0	0	0	0 2	0 4	0 5	0 16	10	
1	7	15 0	11 0	7 0	5	0	1	0	0 2	0	0 7	0 11	0 11	0 10	0 15	0 10	
21	1 0	1	0	0	0	0	0	0	0	0	0 10	0 26	0 22	0 25	0 37	0 17	
18	0	0	0	0	0	0	0	0	0	0	0 12	0 24	0 28	0 52	0 64	0 31	
4	4	10 7	8	5 4	7 2	9 1	17	8	8	22	24	13 2	12	8	5 3	4 2	
6	4	7 13	6	7	8 2	12	25 2	12	7 0	15 0	22	12	10	7	8	8	
6	111	10	12	16 0	22	20	14	16 0	8	5 0	5	2	3 1	3 0	0	4 5	
9	11	23	50 2	20	23	6 5	3	3 2	0	0	1 5	1 4	2 2	1 2	0 5	0	
9	9	10	15 0	18	8	2	1	0	0	0	0	0	0	0	0	0	
7	9 2	20	18	38	18	18	10	5 0	5	- 8	4 0	9 2	15 3	8	3 5	2	
17	0	0	0	0	0	0	0	0	0	0	0	0 5	0	0 13	0 18	0	
21	1 1	0	0	0	0	0	0	0	0 2	0	0 11	0 22	0 33	0 51	60	0 30	
7	8	14	24	32 0	49	13	8	3	0	2	3	2 2	2	3	6 5	8 3	
1	12	4	13	5 0	1	0	0 2	0	0	0	6	0	1 8	4	7	0 5	
17	0	_	0	0	0	0	0	0	0	0	0	0 2	0	0	0 12	0	
6	10		8	6 0	9 1	15 0	11 0	18	22 0	10 0	16 0	15 1	10	9	6	10	
21	2		1	0	0	0	0 2	0	0		0	0 21	0 30	0 56	0 50	0 35	
7	19		25 0	19	23 0	5 0	6	2	0		1 0	2	3	2	0 5	0	
18	0		0	0	0	0	0	0	0 2	0	0 13	0 28	0 31	0 53	0 58	0 28	

## TABLEAU PHON 2

N. co	dej																
1		3 18		3 8 L 2		1 2	C		 o 7						0 5	 5 (	_
18	(   1				•	0 2	0				 L (	) (		0	9 16  0 3	12	2
6 	6				17 1	31 1	21	10		6 5	. 4	6				42	
6	5		9 3		13 2	26 1	27	11		2 3  7 11	- <b></b> -5	6			5 4	3	
9	25	19	28 1	16 2	5 4	 2 2		1	1		 0		6 0	9	4	3	
4	5	7 11	4 16	5 9	6 5	6 2	9	5 15	1  16	8	0 	1 16	4	5	8	6	
4	6 2	11 4	12	9	9 6	18 1	27	5 	3 4	10	3 11	5 4	6 3	9	5	3	
1	10	22	39 2	15 2	 8 4	 3 4	2	3		2	2	4	7  1	9 1		3 7	
ale 1	12	29	24	12	9	3	9	2	6 1	3	10 	10	10 	19		10	
21	3	6 1	2 2	2 2	4 3	0	0	12	14	2	12	10	10	11 	11	7	•
17	1 0	0	0	0	0	0	3 0	- <del>4</del> 0	3  0	7  1	6 0	12	17 ·	25		38	
1	17 0	8	9	 6 1	3	0	0	2  0	1	3 		2  1	4	8	3 10	0 7 	•
					3 	1	4	5	4	11	8	8	9	0 14	5 13	9	

#### 3. PREMIERE EXPERIENCE

3.1. Phase d'apprentissage. Recherche des relations  $R_i$  avec  $A_i$  et  $B_i$  connus :

Dans la phase d'apprentissage, chaque phonème  ${\bf A_i}$  est connu. On utilise le lot de 24 phonèmes formant le tableau PHON 1.

## 3.1.1. Détermination des coefficients de la matrice A:

Chaque phonème apparaît trois fois dans le tableau PHON 1 ; nous avons ainsi effectué une moyenne pour chacun des huit phonèmes. Nous avons ensuite normalisé les données par rapport à la plus grande valeur de chacun des huit phonèmes moyens définis précédemment. Nous obtenons pour chacun des phonèmes  $A_1, A_2, \ldots, A_8$ , les valeurs d'appartenance  $\mu_{A_i}(x_j) \quad i=1,\ldots,8$   $j=1,\ldots,32.$ 

## 3.1.2. Détermination des coefficients de la matrice $\mathbf{B}_{\mathbf{i}}$ :

Pour l'un quelconque des phonèmes connus du tableau PHON l, appelé  $y_k$ , on donne à la fonction d'appartenance  $\mu_{B_{\underline{i}}}(y_{\underline{j}})$   $j=1,\dots,8$ , les valeurs suivantes :

$$\mu_{B_{\underline{i}}}(y_{\underline{j}}) = \begin{vmatrix} 1 & \text{si} & j = k \\ 0 & \text{si} & j \neq k \end{vmatrix}$$

Ainsi, pour le premier phonème, dont le numéro de code est 9, la matrice  $\mathbf{B}_1$  est la suivante :

## 3.1.3. Calcul des matricesR: :

Pour chacun des huit phonèmes  $({\rm A_i})_{i=1,\dots,8},$  on calcule une relation floue R  $_i$  par l'équation floue :

$$R_i = {}^{t}A_i \oplus B_i \quad i = 1, \dots, 8$$

où  $\bigcirc$  est l'opérateur de maximalisation (page 88 ) concordant avec chacune des sept normes suivantes :

MIN PRODUIT  $T_{m}$  HAMACHER ( $\gamma$  = 1/2) HAMACHER ( $\gamma$  = 2) SUGENO ( $\lambda$  = -1/2) SUGENO ( $\lambda$  = 1)

## 3.2. Phase de reconnaissance :

On effectue la phase de reconnaissance à partir des 12 phonèmes  $(\mathcal{H}_{\ell})_{\ell=1,\dots,12}$  du tableau PHON 2. Pour l'un des phonèmes  $\mathcal{H}_{\ell}$  donné, du tableau PHON 2, on calcule

 $\begin{array}{l} \text{d}\left(\textbf{A}_{\underline{i}}, \mathcal{M}_{\underline{\ell}}\right)_{\underline{i}=1,\ldots,8} \text{ où d} = \sum\limits_{j=1}^{32} \left[ \overline{\textbf{A}}_{\underline{i}}(\underline{j}) - \mathcal{H}_{\underline{\ell}}(\underline{j}) \right]^2 \quad \text{est la distance euclidienne. On cherche le minimum de d}(\textbf{A}_{\underline{i}}, \mathcal{H}_{\underline{\ell}})_{\underline{i}=1,\ldots,8}. \\ \text{Soit } \textbf{A}_{\underline{k}} \text{ le phonème n° k reconnu, tel que pour $\ell$ donné,} \\ \text{d}\left(\textbf{A}_{\underline{k}}, \mathcal{H}_{\underline{\ell}}\right) \text{ soit minimum.} \end{array}$ 

#### 3.3. Interprétation :

Le problème de reconnaissance de formes peut être résolu par des méthodes plus élaborées que celle que nous avons utilisée, en particulier la reconnaissance auraît pu être effectuée par les sous-relations maximales de similitude et l'algorithme de Pichat [HIR-81].

Pour un phonème présenté, appelé  $\mathcal{H}_{\ell}$ , on obtient un résultat  $\mathcal{D}_{\ell}$ , composé de huit valeurs  $\mu_{\mathcal{D}_{\ell}}(x_i)_{i=1,\ldots,8}$  considéré comme fonction caractéristique d'appartenance. Le calcul de  $\mathcal{D}_{\ell}$  s'effectue au moyen de la relation floue  $R_k$  o  $\mathcal{H}_{\ell}=\mathcal{D}_{\ell}$  où  $R_k$  est la relation floue associée au phonème reconnu, numéroté k, et "o" les compositions suivantes :

MAX-MIN

MAX-PRODUIT

MAX-T<sub>m</sub>

MAX-HAMACHER  $\gamma = 1/2$ MAX-HAMACHER  $\gamma = 2$ MAX-SUGENO  $\lambda = -1/2$ MAX-SUGENO  $\lambda = 1$ 

Le référentiel étant fini, nous appellerons les com positions MAX-MIN suivant l'usage et non SUP-MIN. La même étiquette étant utilisée pour les autres compositions.

Si  $\mu_{B_{\underline{i}}}(y_{\underline{j}}) \in \{0,1\}$ , les matrices  $R_{\underline{i}}$  ne comportent que deux colonnes différentes, donc le coefficient d'appartenance  $\mu_{\mathcal{O}, \underline{l}}(y_{\underline{k}})$  correspondant au phonème reconnu est égal à 1 et toutes les autres valeurs  $\mu_{\mathcal{O}, \underline{l}}(y_{\underline{i}})_{\underline{i} \neq \underline{k}}$  sont égales et différentes de 1.

De plus, l'opérateur de maximalisation  $(\tau)$  intervient seulement pour des compositions a  $\tau$  0 et a  $\tau$  1. Or, a  $\tau$  1 = 1 pour toute valeur a et quelle que soit la composition "o", et

a  $\tau$  0 = 0 si la composition "." est MAX-MIN ou MAX-PRODUIT ou MAX-HAMACHER.

Ainsi, les résultats sont identiques pour les trois compositions MAX-MIN, MAX-PRODUIT ou MAX-HAMACHER :

$$\mu_{B_{\mathbf{i}}}(y_{\mathbf{j}}) = \begin{vmatrix} 1 & \text{si } j = k \\ 0 & \text{si } j \neq k \end{vmatrix}$$

Résultats :

Phonème présenté :  $\mathcal{H}_{1}^{(2)} = 1$ 

Phonème reconnu : 1

" "	MAX-MIN		9	1	4	18	17	
	MAX-PRODUIT	<sup>μ</sup> G 1	.368	1.000	.368	.368	.368	
	MAX-HAMACHER	(D)						

 Phonème présenté :  $\mathcal{H}_{2}^{(2)}$  : 18

Phonème reconnu : 21

"。" MAX-MIN MAX-PRODUIT	μGı	.068	.068	.068	.068	.068	1.000	0.068	0.068
MAX-HAMACHER									
"。" MAX-T <sub>m</sub>	<sup>μ</sup> & 1	.426	.426	.426	.426	.426	1.000	.426	.426

## 3.3.1. Interprétation par les mesures de Sugeno :

Chacune des huit valeurs  $\mu_{\mathcal{O}_{\ell}}(x_i)_{i=1,\ldots,8}$  est interprétée comme la mesure de crédibilité (ou de plausibilité) du classement obtenu.

On définit g sur l'ensemble des singletons :

$$g_{i} = g(\{x_{i}\}) = \mu \partial_{\lambda}(x_{i})$$
  $i=1,...,8$ 

La condition de normalisation est :

$$\begin{array}{ccc}
8 \\
\Pi \\
i=1
\end{array} (1 + \lambda g_{\underline{i}}) = 1 + \lambda$$

On détermine la valeur  $\lambda$  qui satisfait la condition de normalisation. On sait que  $\lambda$  est unique et les mesures d'incertain sont :

- des mesures de crédibilité si  $\lambda$  > 0,
- des mesures de plausibilité si  $\lambda$  < 0.

On calcule ensuite tous les g(A) où A est un sousensemble composé de 1 à 8 éléments. Les résultats ne sont donnés que pour les g(A) où A est composé de 1, 2 ou 3 éléments (appelés groupes). De plus, on n'indique pour chaque g(A) que la valeur maximale pour un groupe de 1, 2 ou 3 éléments. On calcule aussi la valeur associée :

soit 
$$Cr(A) = 1 - Pl(\overline{A})$$

soit 
$$Pl(A) = 1 - Cr(\overline{A})$$
.

#### Résultats :

Puisque  $\mu_{\hat{G}}(y_k)=1$ , l'interprétation en termes de mesures de Sugeno conduit à la valeur  $\lambda=-1$ , donc à une plausibilité. Les mesures de plausibilité s'effectuent donc sur des ensembles emboîtés ; nous avons toujours des mesures de possibilité.

Les résultats sont identiques pour les compositions MAX-MIN ou MAX-PRODUIT ou MAX-HAMACHER :

" " MAX-MIN

ou MAX-PRODUIT

ou MAX-HAMACHER

Numéro du phonème présenté :  $\mathcal{H}_{1}^{(2)} = 1$ 

Numéro du phonème reconnu : 1

 $\lambda = -1$ : plausibilité

Groupe de 1 : {1} créd = 0.040 plaus = 1.000 Groupe de 2 : {9,1} {1,4} {1,18} {1,17} {1,21} {1,6} {1,7} créd = 0.063 plaus = 1.000.

#### Il y a donc :

- 1 seul groupe A composé du phonème reconnu ;
- 7 groupes  $(C_7^1)$  composés du phonème reconnu et d'un autre phonème quelconque ;
- 21 groupes  $(c_7^2)$  composés du phonème reconnu et de deux autres phonèmes quelconques.

# 3.3.2. Interprétation en termes de mesures de possibilité sur des sous-ensembles emboîtés :

La condition de normalisation est  $\max_i \{g_i\} = 1$ . Les mesures de possibilité  $\Pi_i$  (assimilées aux  $g_i$  normalisées) sont ordonnées. On en déduit la pondération probabiliste de base associée aux ensembles emboîtés (page 158).

Les résultats font apparaître les valeurs successives de m(A) avec la liste des éléments qui composent le sousensemble A. En dernière ligne apparaît la part allouée à l'ignorance totale.

Les mesures de possibilité prennent en considération la part allouée à l'ignorance totale, ce qui constitue une interprétation numérique importante dans le cas des problèmes de reconnaissance de formes.

Remarquons que la norme  $T_m$ , ainsi que la norme de Sugeno, font intervenir le maximum. Si aucun maximum n'est utilisé, les résultats sont identiques pour les sept compositions. C'est le cas du phonème  $\mathcal{H}_{11}^{(2)}$ .

	B ∈ {0,1}	MAX-PRODUIT MAX-HAMACHER.	51	MAX-SUGENO λ=-1/2	MAX-SUGENO
		MAX-HAMACHER	2	i	
	fb, =1	m(1) =0.632   m(X) =0.368   Sp =0.678   HI =1.105   HC =0.368	m(1) =0.347   m(X) =0.653   Sp =0.429   HI =1.959   HC =0.278	m(1) =0.515   m(X) =0.485   Sp =0.576   HI =1.454   HC =0.351	m(1) =0.210 m(X) =0.790 Sp =0.309 HI =2.370 HC =0.186
	1	m(21)=0.932	J m/21)-0 574		HC =0.186
	t <sub>2</sub> =18	m(X) =0.068   Sp =0.940   HI =0.205   HC =0.183	m(21)=0.574   m(X) =0.426   Sp =0.627   HI =1.279   HC =0.363	m(21)=0.721   m(X) =0.279   Sp =0.756   HI =0.837   HC =0.356	m(21)=0.421 m(X) =0.579 Sp =0.493 HI =1.738 HC =0.316
	ft <sub>3</sub> =6	m(6) =0.903   m(X) =0.097   Sp =0.915   HI =0.290   HC =0.226	m(6) =0.423   m(X) =0.577   Sp =0.495   HI =1.730   HC =0.317	m(6) =0.519     m(X) =0.481     Sp =0.579     HI =1.444     HC =0.352	m(6) =0.360 m(X) =0.640 Sp =0.440 HI =1.919 HC =0.286
	ft, =6	m(6) =0.926   m(X) =0.074   Sp =0.935   HI =0.222   HC =0.193	m(6) =0.531   m(X) =0.469   Sp =0.590   HI =1.407   HC =0.355	m(6) =0.608     m(X) =0.392     Sp =0.657     HI =1.175     HC =0.367	m(6) =0.479 m(X) =0.521 Sp =0.545 HI =1.562 HC =0.340
	(£)	m(9) =0.786 m(X) =0.214 Sp =0.813 HI =0.643 HC =0.330	m(9) =0.590 m(X) =0.410 Sp =0.641 HI =1.231 HC =0.365	m(X) =0.277   Sp =0.758   HI =0.831	m(9) = 0.459 m(X) = 0.541 Sp = 0.527 HI = 1.623 HC = 0.332
	fic =4	m(4) =1 Sp =1 HI =0 HC =0	m(4) =0.244 m(X) =0.756 Sp =0.338 HI =2.269 HC =0.211	m(X) =0.676   1 Sp =0.408   1 HI= =2.028   1	m(4) =0.171 m(X) =0.829 Sp =0.275 HI =2.487 HC =0.155
119	R(2)	m(6) =0.630   m(X) =0.370   Sp =0.676   HI =1.111   HC =0.368	m(6) =0.630   m(X) =0.370   Sp =0.676   HI =1.111   HC =0.368	m(X) =0.370   m Sp =0.676   S HI =1.111   H	n(6) =0.553 n(X) =0.553 Sp =0.609 II =1.341 IC =0.360
	A = 1		m(1) =0.740   m(X) =0.260   Sp =0.773   HI =0.779   HC =0.350		(1) =0.734 (X) =0.266 p =0.767 I =0.799
	J q =1	m(X) =0.414 Sp =0.638 HI =1.241	m(1) =0.358   m(X) =0.642   Sp =0.438   HI =1.925   HC =0.285		I =1.973
11111	Jo =21	m(X) =0.184   1 Sp =0.839   3 HI =0.553   1	Sp =0.704   HI =1.014		=1.516
	4 = 17   1	m(X) =0.300   m Sp =0.738   S HI =0.900   H	a(X) =0.300   : Sp =0.738   : II =0.900   :		
1	To (2) = 1   S	n(X) =0.294   m Sp =0.743   S HI =0.882   H	i(X) =0.599   1 ip =0.476   1 II =1.798   I	m(1) =0.428   m( m(X) =0.572   m( Sp =p.500   Sp HI =1.715   HI HC =0.320   HC	

Analysons les résultats correspondant au phonème /a/. En phase d'apprentissage, pour le phonème /a/ codé 4, après avoir effectué une moyenne, on obtient des coefficients tous strictement positifs. La composition a  $\tau$  0, avec a > 0, correspondant à la norme MIN ou PRODUIT ou HAMACHER, conduit à un résultat nul. Ainsi, la matrice  $R_{\bf k}$  ne contient que des l dans la colonne 3 (voir position du code 4) et ne contient que des 0 dans les sept autres colonnes.

En phase de reconnaissance pour le phonème  $\mathcal{H}_6^{(2)}$  du tableau PHON 2 correspondant à un /a/, la normalisation s'effectue par rapport à la plus grande valeur (16). Un certain nombre de filtres ont des valeurs égales ou voisines de cette plus grande valeur. En envisageant la composition "." MAX-MIN ou MAX-PRODUIT ou MAX-HAMACHER, on obtient :

	9	1	4	18	17	21	6	7
μ <sub>B</sub> =	.000	.000	1.000	.000	.000	.000	.000	.000

d'où le résultat m(4)=1. Pour la composition "o" MAX- $T_m$  ou MAX-SUGENO, on obtient de fortes valeurs pour la part allouée à l'ignorance totale.

Par contre, le phonème  $\binom{(2)}{7}$  correspondant toujours à un /a/, les valeurs fournies par le tableau PHON 2 sont plus éloignées de la plus grande valeur (27).

## 4. DEUXIEME EXPERIENCE

On modifie la détermination des coefficients de la matrice  $\mathbf{B}_{\underline{\mathbf{1}}}^{}$  .

Pour un phonème donné, ce phonème devant être reconnu, on lui attribue un coefficient d'appartenance égal à 1. Les coefficients d'appartenance sont donnés subjectivement pour les autres phonèmes suivant qu'ils ressemblent beaucoup ou assez ou un peu ou peu au phonème donné.

## Premier essai :

Phonèmes	/y/	/i/	/a/	/s/	/f/	/z/	13/	101
Numéros de code	9	1	4	18	17	21	6	7

B pou	r le	code	9	1	.7	.1	.1				
	_	code		.7		-		.1	.1	.1	.1
_				1 . /	1	.3	.2	.1	. 2	.2	.2
B pou	r le	code	4	.3	.3	1	.1	.1	.1	.6	.6
B pou	r le	code	18	.2	.3	.1	1	.7	.8	.1	.1.
B pou	r le	code	17	.2	.2	,1	.7	1	.6	.1	.1
B pour	c le	code	21	.2	.2	.1	.8	.6	1	.1	.1
B pour	r le	code	6	.3	.3	. 4	.1	.1	.1	1	.8
B pour	le	code	7	.3	.3	.4	.1	.1	.1	.8	1

### Résultats :

Phonème présenté :  $\mathcal{H}_{1}^{(2)} = 1$ Phonème reconnu : 1

$$\mu_{\mathcal{C}_{1}} = \frac{9}{1.000} \frac{1}{1.000} \frac{4}{0.421} \frac{18}{0.421} \frac{17}{0.421} \frac{21}{0.421} \frac{6}{0.421} \frac{7}{0.421}$$

"." MAX-PRODUIT 
$$\mu_{O_2} = 1.000 | 1.000 | .865 | .576 | .421 | .576 | .576 | .576 |$$

Phonème présenté :  $\Re \frac{(2)}{2} = 18$ 

Phonème reconnu : 21

"." MAX-MIN 
$$\mu_{\hat{b}_1} = 0.205 | .205 | .205 | .955 | .955 | 1.000 | .205 | .205 |$$

"." MAX-PRODUTT 
$$\mu_{\mathcal{B}_2}$$
 =  $\begin{bmatrix} .361 & .361 & .205 & .955 & .955 & 1.000 & .205 & .205 \end{bmatrix}$ 

L'un au moins des  $\mu_{\mathcal{G}_{i}}(y_{j})$  étant égal à l, l'interprétation par les mesures de Sugeno conduit toujours à la valeur  $\lambda$  = -1, et donc à une plausibilité. Nous ne donnons que les résultats pour des mesures de possibilité.

Bc[0,1]    ler essai		MAXMIN	PROD	Tm	HAMACH     X =1/2		SUGENO   λ=-1/2			
lier essar			· · · · · · · · · · · · · · · · · · ·	<b></b>	1					
fb, (2) =1	m(9,1) m(9,1,4) m(X)	.579	.135 .288 .421	.047 .100 .753	.189 .333 .421	.087 .221 .421	.070	.028 .060 .851	,	
<del></del>	m(21)	045	.045	.045	.045	.045	.045	.045	8€[0,1]	MAX-MIN   MAX-PROD  MAX-Tm   MAX-HAMA  MAX-HAMA  MAX-SUGE   MAX-SUGE
J. J. (2) =18	m(21,18,17) m(X)	   .750   .205	.593	.328	.646	.514	.420   .407	.233	[(2)] =1	Sp=0.342   Sp=0.239   Sp=0.165   Sp=0.266   Sp=0.208   Sp=0.185   Sp=0.149   HI=1.802   HI=2.291   HI=2.745   HI=2.140   HI=2.462   HI=2.622   HI=2.840   HC=0.364   HC=0.492   HC=0.234   HC=0.476   HC=0.484   HC=0.337   HC=0.145
f(2)   f(3) =6	m(6,7)	.226	.226	.226	.226	.226	.226	.222	(z) M <sub>y</sub> =18	
3	m(X)	1.194	.392	.67,7	.317	.465	.630	1 .708	, j	HC=0.359   HC=0.512   HC=0.400   HC=0.477   HC=0.532   HC=0.465   HC=0.314
fo(z) = 6	m(6,7)	.333	.333	.312	.333	.333	.333	.242	(1 <sup>2</sup> )=6	Sp=0.253 Sp=0.238 Sp=0.217 Sp=0.244 Sp=0.233 Sp=0.221 Sp=0.214
1 1 4	m(X)	.333	337	.569	.333	.387	.531	.594		Sp=0.275 Sp=0.275 Sp=0.254 Sp=0.275 Sp=0.271 Sp=0.260 Sp=0.238
fo (2) =9	m(9)   m(9,1)	.107	.107	1.107	1.107	.107	.107	.107	(1) H	HI=2.107   HI=2.110   HI=2.280   HI=2.107   HI=2.144   HI=2.241   HI=2.315     HC=0.501   HC=0.500   HC=0.368   HC=0.501   HC=0.481   HC=0.391   HC=0.364
1 20 =9	m(X)	.214	.221	.510	.214	.236	.405	.614	(2)	Sp=0.473 Sp=0.471 Sp=0.362 Sp=0.473 Sp=0.465 Sp=0.402 Sp=0.323
1 (4)	 	1 -	!	!	!	!	!	) !	=9	HI=1.321   HI=1.335   HI=1.914   HI=1.321   HI=1.364   HI=1.702   HI=2.154     HC=0.407   HC=0.410   HC=0.387   HC=0.407   HC=0.415   HC=0.421   HC=0.331
\$66 =4	m(X)	.313	.737	     .856	     .667	     .787	.844	.888	(2)	Sp=0.177 Sp=0.145 Sp=0.136 Sp=0.150 Sp=0.141 Sp=0.137 Sp=0.133 HI=2.534 HI=2.822 HI=2.903 HI=2.774 HI=2.856 HI=2.894 HI=2.927 HC=0.363 HC=0.225 HC=0.133 HC=0.270 HC=0.188 HC=0.143 HC=0.106
ft <sub>7</sub> =4	m(6,7)   m(6,7,4)   m(X)	   .556   .074   .370	.438 .140 .370	   .312   .100   .388	.477   .139   .370	   .377   .139   .370	.365 .177 .370	.242     .078     .525	(2)	Sp=0.349 Sp=0.322 Sp=0.278 Sp=0.334 Sp=0.304 Sp=0.297 Sp=0.244   HI=1.784 HI=1.890 HI=2.099 HI=1.840 HI=1.972 HI=2.005 HI=2.305   HC=0.428 HC=0.493 HC=0.511 HC=0.471 HC=0.516 HC=0 518 HC=0 420
Jbg =1	m(1)   m(1,9)   m(1,9,4)   m(X)	.300   .392 	.192   .387   .113	.167   .393   .100	.203   .381   .108   .308	.174   .400   .118   .308	.179   .386   .110   .308	.147   .353   .088   .324	(t) 7 =1	Sp=0.535 Sp=0.462 Sp=0.440 Sp=0.468 Sp=0.452 Sp=0.449 Sp=0.406
(2) to =1	m(1) m(1,9)	300	.090	.069	1.101	.074	078	056	(1)   (2)   5=1	Sp=0.391   Sp=0.286   Sp=0.276   Sp=0.292   Sp=0.279   Sp=0.281   Sp=0.270   HI=2.079   HI=2.289   HI=2.310   HI=2.279   HI=2.305   HI=2.301   HI=2.365   HC=0.260   HC=0.277   HC=0.274   HC=0.278   HC=0.274   HC=0.275   HC=0.271
1 009 =1	m(X)	.690	.690	.690	.690	.690	.690	.690	(1)	Sp=0.334 Sp=0.293 Sp=0.239 Sp=0.296 Sp=0.282 Sp=0.262 Sp=0.210
$\int_{A_0}^{a} (2)$	m(18,17)   m(18,17,21)	   .342   .342   .184	   .094   .591	.062	   .111   .574   .184	   .072   .562   .192	.075	.046		HC=0.607   HC=0.521   HC=0.449   HC=0.531   HC=0.534   HC=0.500   HC=0.362
fo (2) = 17	m(X)   m(18)   m(18,21)   m(18,21,17)	200	.200   .100   .289	.200   .100   .211	.200   .100   .309	.200   .100   .267	.200   .100   .238	.200   .100   .187		HI=1.634   HI=1.680   HI=1.741   HI=1.672   HI=1.689   HI=1.717   HI=1.759   HC=0.526   HC=0.585   HC=0.614   HC=0.579   HC=0.590   HC=0.607   HC=0.587   HC=0.587   HC=0.590   HC=0.607   HC=0.587   HC=0.587   HC=0.590   HC=0.607   HC=0.587   HC=0.257   Sp=0.247   Sp=0.252   Sp=0.252   Sp=0.242   Sp=0.239   Sp=0.220   HI=2.294   HI=2.332   HI=2.406   HI=2.313   HI=2.349   HI=2.360   HI=2.458   HI=2.458
W 1	m(X)	1 .300	.300	.300	.300	.300	.300	341		HC=0.282   HC=0.304   HC=0.318   HC=0.294   HC=0.310   HC=0.313   HC=0.332
$\int_{\Delta 2}^{2} = 1$	m(9,1)   m(9,1,4)   m(X)	.353	.288 .065 .647	.223 .100 .647	   .321   .032   .647	.259 .094 .647	.240   .113   .647	.210 .071 .648		

Remarquons que la reconnaissance du phonème présenté est la même que les valeurs  $\mu_{B}(\gamma_{\underline{i}})$  appartenant à {0,1} ou à  $[\overline{0},1]$ , mais les résultats numériques des pondérations probabilistes de base sont différents suivant les expériences.

Dans la deuxième expérience, les sept normes donnent toutes des résultats numériques différents de la première expérience. De plus, pour des valeurs  $\mu_{\text{B}}(y_i)$  subjectives appartenant à [0,1], la composition MAX-MIN scinde moins les groupes de phonèmes que les six autres compositions.

La spécificité est minimum et vaut  $\frac{1}{8}$ ; pour le phonème  $\binom{(2)}{6}$ , on obtient une spécificité faible égale à 133 car la pondération probabiliste de base s'éloigne d'une densité de probabilité.

Le degré d'imprécision est maximum et vaut  $\log_2 8 = 3$  dans le cas de l'ignorance totale. On retrouve pour le phonème  $\sqrt[4]{6}$  un degré d'imprécision élevé égal à 2.924.

A l'opposé, la spécificité est élevée pour le phonème  $\binom{6}{8}\binom{2}{8}$  et est égale à .535 ; la pondération probabiliste de base est élevée sur le singleton reconnu.

#### Deuxième essai :

Nous prenons des valeurs subjectives plus faibles pour les coefficients d'appartenance pour tous les phonèmes différents du phonème donné.

Phonèmes	/y/	/i/	/a/	/s/	/f/	/2/	101	/0/
N° de code	9	1	4	18	17	21	6	7

											_	
В	pour	le	code	9	1	.3	0	0	0	0	0	0
В	pour	le	code	1	.3	1	.1	0	0	0	.1	.1
В	pour	le	code	4	.1	.1	1	0	0	0	.3	.3
В	pour	le	code	18	0	.1	0	1	.2	.3	0	0
В	pour	le	code	17	0	0	0	. 2	1	.2	0	0
В	pour	le	code	21	0	0	0	.3	.2	1	0	0
В	pour	le	code	6	.1	. 1	. 2	0	0	0	1	.3
В	pour	le	code	7	.1	.1	.2	0	0	0	.3	1

Remarquons que la part allouée à l'ignorance totale est plus faible dans le deuxième essai que dans le premier essai, car les données subjectives sont plus différenciées.

B \ [0,1]  2me essai			MAX-PR	ODUIT	MAX-SUG   λ =-1	
J. (2) =1	m(1)	=0.579	m(1) m(1,9)	=0.135 =0.443	m(1)   m(1,9)	=0.070 =0.297
	m(X)	=0.368	m(X)	=0.368	m(X)	=0.485
A 2 = 18	m(21) m(21,18) m(21,18,17) m(X)	=0.700 =0.095 )=0.136 =0.068	m(21)   m(21,18)   m(21,18,17   m(X)	=0.458 =0.181 )=0.293 =0.068	m(21)   m(21,18)   m(21,18,17   m(X)	=0.337 =0.128 )=0.256 =0.279
f(2)=6	m(6)	=0.226	m(6)	=0.226	m(6)	=0.226
3	m(6,4,7) m(X)	=0.581 =0.097	m(6,4,7)   m(X)	=0.382 =0.097	m(6,4,7) m(X) =	=0.145 =0.481
fe <sup>(2)</sup> =6	m(6)	=0.333	m(6)	<b>&lt;</b> 0.333	m(6)	=0.333
4	m(6,4,7) m(X)	=0.333 =0.074	m(6,4,7) m(X)	=0.329 =0.074	m(6,4,7) m(X)	=0.136 =0.392
fo(2)=9	m(9) m(9,1)	=0.700 =0.086	m(9) m(9,1)	=0.445 =0.341	m(9) m(9,1)	=0.340 =0.383
	m(X)	=0.214	m(X)	=0.214	m(X)	=0.277
\$6(2)=4	m(4,6,7)	=0.688	m(4,6,7)	=0.263	m(4,6,7) m(X)	=0.156 =0.676
∫ ∫ (2) =4	m(6)	=0.630	m(6) m(6,7)	=0.579 =0.051	m(6) m(6,7) m(6,7,4)	=0.481 =0.117 =0.031
	m(X)=	=0.370	m(X)	=0.370 j	m (X)	=0.370
$\mathcal{R}_8^{(2)}=1$	m(1)	=0.692     	m(1) m(1,9)	=0.579   =0.113	m(1) m(1,9)	=0.565 =0.128
	m(X)	=0.256	m(X)	=0.256	m(X)	=0.256
$\left  \mathcal{J}_{q}^{(2)} \right _{=1}$	m(1)	=0.310	m(1)	=0.310	m(1)	=0.310
	m(X)	=0.414	m(X)	=0.414	m(X)	=0.612
£ (2)=21	m(17)	=0.684	m(17)	=0.684	m(17)	=0.556
/o	m(17,18,21) m(X)	=0.132 =0.184	m(17,18,21) m(X)	)=0.132   =0.184	m(17,18,21) m(X)	=0.241
Je (2) = 17	m(18)	=0.700	m(18) m(18,21)	=0.589   =0.111	m(18) m(18,21) m(18,21,17)	=0.538 =0.112 =0.050
	m(X)	=0.300	m(X)	=0.300	m(X)	=0.300
Je (2) = 1	m(1)	=0.353   	m(1) m(1,9)	=0.288   =0.065	m(1) m(1,9)	=0.240 =0.113
i i	m(X)	=0.294	m(X)	=0.294	m(X)	=0.572

$B \in [0,1]$   2me essai	MAX-MIN	MAX-PRODUIT	MAX-SUGENO   λ =-1/2
A =1	Sp=0.636	Sp=0.414	Sp=0.309
	HI=1.227	HI=1.671	HI=2.096
	HC=0.413	HC=0.478	HC=0.440
J(2) =18	Sp=0.802	Sp=0.654	Sp=0.521
	HI=0.516	HI=0.850	HI=1.370
	HC=0.514	HC=0.592	HC=0.569
f(2) = 6	Sp=0.451	Sp=0.424	Sp=0.364
	HI=1.435	HI=1.581	HI=2.018
	HC=0.534	HC=0.600	HC=0.457
JG (2) = 6	Sp=0.506	Sp=0.505	Sp=0.455
	HI=1.353	HI=1.356	HI=1.713
	HC=0.613	HC=0.612	HC=0.510
£(2)=9	Sp=0.770	Sp=0.642	Sp=0.566
	HI=0.729	HI=0.984	HI=1.214
	HC=0.433	HC=0.531	HC=0.515
1 (2) = 4	Sp=0.292	Sp=0.235	Sp=0.170
	HI=1.815	HI=2.128	HI=2.665
	HC=0.363	HC=0.225	HC=0.293
fl <sub>q</sub> <sup>(2)</sup> =4	Sp=0.676	Sp=0.650	Sp=0.597
	HI=1.111	HI=1.162	HI=1.278
	HC=0.368	HC=0.412	HC=0.473
$\mathcal{R}_{g}^{(2)}=1$	Sp=0.735	Sp=0.678	Sp=0.671
	HI=0.888	HI=1.002	HI=1.016
	HC=0.409	HC=0.508	HC=0.516
Aq =1	Sp=0.417	Sp=0.417	Sp=0.402
	HI=1.882	HI=1.882	HI=2.017
	HC=0.468	HC=0.468	HC=0.329
\$ (1) = 21	Sp=0.751	Sp=0.751	Sp=0.662
	HI=0.761	HI=0.761	HI=0.991
	HC=0.463	HC=0.463	HC=0.519
\$\(\frac{(2)}{44} = 17\)	Sp=0.738	Sp=0.682	Sp=0.648
	HI=0.900	HI=1.011	HI=1.092
	HC=0.361	HC=0.460	HC=0.500
fb (2)=1	Sp=0.460	Sp=0.428	Sp=0.383
	HI=1.702	HI=1.767	HI=2.003
	HC=0.514	HC=0.536	HC=0.383

### CONCLUSION

Nous avons été amené à introduire une composition d'opérateurs  $\operatorname{Op}_1$ - $\operatorname{Op}_2$  qui nous a conduit à envisager les normes et les conormes triangulaires. A la suite de nombreux auteurs dont WEBER, nous avons apporté notre contribution à la construction de ces normes et conormes grâce à la notion de générateurs numériques.

Les travaux sur les opérateurs d'implication flous ont montré qu'il n'existait pas d'opérateurs réalisant à la fois la spécification de l'implication, le syllogisme parfait et la règle contrapositive (KAUFMANN). Nous avons alors introduit la notion de seuil d'inférence pour le syllogisme et nous avons donné la condition pour que le syllogisme indirect soit parfait.

Nous avons repris les résultats de SANCHEZ et de DINOLA et SESSA pour les équations de relations floues. Cependant, il nous a semblé important d'utiliser comme PEDRYCZ une composition SUP-T plus générale que MAX-MIN. Nous avons donc déterminé les opérateurs de MAXIMALISATION, ainsi que les solutions minimales pour les équations SUP-T, ainsi que les opérateurs de MINIMALISATION pour les équations INF-S.

Cependant, est-il possible d'envisager une composition plus générale que la composition SUP-T en considérant une composition CONORME-NORME ?

En effet, la composition SUP-T a l'inconvénient de ne prendre en considération que le plus grand élément d'une série donnée, alors que la prise en compte de toutes les informations serait plus judicieuse. La composition CONORME-NORME ouvre la voie prise par notre équipe pour nos futures recherches.

Enfin, nous avons voulu utiliser les résultats précédents pour apporter une interprétation numérique aux résultats des problèmes de reconnaissance de formes. Les mesures d'incertain développées par PRADE, nous ont permis d'obtenir des résultats numériques intéressants pour la reconnaissance de phonèmes.

#### BIBLIOGRAPHIE

- [ALS-80] : C. ALSINA, E. TRILLAS, L. VALVERDE :
  On non-distributive logical connectives for fuzzy
  sets theory, Busefal n° 3 (1980), p. 18-29.
- $[BAN_O-81]$  : G. BANON : Distinction between several subsets of fuzzy measures, F.S.S. n° 3 (1981), p. 291-305.
- $\begin{tabular}{ll} \begin{tabular}{ll} \beg$
- [BAND-86]: W. BANDLER:

  Properties of fuzzy implication operator,

  Busefal n° 26 (1986), p. 24-33.
- [BOU-86a] : L. BOUR, G. HIRSCH, M. LAMOTTE :

  Détermination d'un opérateur de maximalisation pour

  la résolution d'équations de relation floue,

  Busefal n° 25 (1986), p. 95-106.
- [BOU-86b] : L. BOUR, G. HIRSCH, M. LAMOTTE :

  Détermination d'un opérateur de minimalisation pour
  la résolution d'équations de relation floue,

  Busefal n° 28 (1986), p. 68-77.

- [CHA-83] : M. CHAKRABORTY, M. DAS :
  Studies in fuzzy relations over fuzzy subsets,
  F.S.S. n° 9 (1983), p. 79-89.
- [CZO-81] : E. CZOGALA, W. PEDRYCZ :
   On identification in fuzzy systems and its applications in control problems,
   F.S.S. n° 6 (1981), p. 73-83.
- [CZO-82] : E. CZOGALA, J. DREWNIAK, W. PEDRYCZ :
  Fuzzy relation equations on a finite set,
  F.S.S. n° 7 (1982), p. 89-101.
- [DEL-79] : A. DE LUCA, S. TERMINI :

  Entropy and energy measures of a fussy set,

  Advances in fuzzy set theory and applications (1979),
  p. 321-338.
- [DEM-79] : R. De MORI, R. GUBRYNOWICZ, P. LAFACE :
   Istituto di Sci. dell'Informazione, Univ. di
   Torino, Turin Italy.
   IEEE Trans. Acoust., Speech & Signal Process (USA),
   vol. ASPP 27 n° 5, p. 538-549, octobre 1979.
- DIN-80]: A. DI NOLA, G.S. VENTRE:

  On some chains of fuzzy sets,

  F.S.S. n° 4 (1980), p. 185-191.
- [DIN-82a]: A. DI NOLA, W. PEDRYCZ:

  Entropy and energy measure characterisation of resolution of some fuzzy relational equations,

  Busefal 10 (1982), p. 44-53.
- [DIN-82b] : A. DI NOLA :

  Energy and entropy measures of fuzziness of solutions of fuzzy relation equations with continuous triangular norms,

  Busefal 12 (1982), p. 60-71.

- [DIN-83a] : A. DI NOLA, S. SESSA :

  On the set of solutions of composite fuzzy relation equations,

  F.S.S. n° 9 (1983), p. 275-286.
- [DIN-83b] : A. DI NOLA, S. SESSA:
  On the fuzziness of solutions of fuzzy relation
  equations on finite spaces,
  F.S.S. n° 11 (1983), p. 65-77.
- [DIN-83c]: A. DI NOLA, S. SESSA:

  On measures of fuzziness of solutions of composite
  fuzzy relation equations, Marseille (1983),
  Fuzzy information knowledge representation and decision analysis, p. 275-2.
- [DIN-84] : A. DI NOLA:
  On functionals measuring the fuzziness of solutions in relational equations,
  F.S.S. 14 (1984), p. 249-258.
- [DOM-82]: J. DOMBI:

  A general class of fuzzy operators, the De Morgan class of fuzzy operators and fuzziness measures induced by fuzzy operators,

  F.S.S. n° 8 (1982), p. 149-163.
- [DRE-82] : J. DREWNIAK :

  Note on fuzzy relation equations,

  Busefal 12 (1982), p. 50-51.

[DRE-84] : J. DREWNIAK :
Fuzzy relation equations and inequalities,
F.S.S. n° 14 (1984), p. 237-247.

[DUB-82]: D. DUBOIS, H. PRADE:

A class of fuzzy measures based on triangular norms.

A general framework for the combination of uncertain information.

Int. J. of General Systems (1982), vol. 8, n° 1, p. 43-61.

DUB-83a]: D. DUBOIS:

Modèles mathématiques de l'imprécis et de l'incertain en vue d'applications aux techniques d'aide à la décision,

Thèse d'Etat, Institut National Polytechnique de Grenoble (1983).

[DUB-83b]: D. DUBOIS, H. PRADE:

Unfair coins and necessity measures towards a possibilistic interpretation of histograms,

F.S.S. 10 (1983), p. 15-20.

[DUB-84] : D. DUBOIS, H. PRADE :

A note on measures of specificity for fuzzy sets,
Busefal n° 19 (1984), p. 83-89.

[DUB-85a] : D. DUBOIS, H. PRADE :

Théorie des possibilités. Applications à la représentation des connaissances en informatique,
Librairie Masson (1985).

[DUB-85b]: D. DUBOIS, H. PRADE:

Additivity and monotonicity of measures of information defined in the setting of Shafer's evidence theory,

Busefal n° 24 (1985), p. 64-76.

[DUB-85c]: D. DUBOIS, H. PRADE:

Mesures d'information pour les distributions de possibilité et les fonctions de croyance,

Journées Rémoises "Analyse de problèmes décisionnels dans un environnement incertain et imprécis" (1985),
p. 67-80.

[DUB-86a] : D. DUBOIS, H. PRADE :

Le traitement de l'imprécision et de l'incertitude

dans les modèles de raisonnement des experts,

Librairie Eyrolles, Introduction aux systèmes experts de gestion (1986), par C. Ernst.

[DUB-86b]: D. DUBOIS, H. PRADE:

The principle of minimum specificity as a basis for evidential reasoning,

Busefal n° 25 (1986), p. 124-132.

[GOD-84]: S. GOTTWALD:
On the existence of solutions of systems of fuzzy equations,
F.S.S. 12 (1984), p. 301-302.

[FRA-79] : M.J. FRANK : On the simultaneous associativity of f(x,y) and s+y=F(x,y). Aequationes Math. (1979), vol. 19, p. 194-226.

[HAM-75] : H. HAMACHER :

Uber logische Verknüpfungen unscharfer Aussagen und deren zugehörige Bewertungs funktionen,

(1975), Tech. Rep. N° 75/14, RWTH Aaachen.

[ $\overline{\text{HUA}}$ -86] : W. HUA : Some properties of  $g_{\lambda}$  - measure, Busefal n° 26 (1986), p. 47-56.

0

[HIR-81] : G. HIRSCH, M. LAMOTTE, M.T. MAS, M.J. VIGNERON :

Phonemic classification using a fuzzy dissimilitude relation,

F.S.S. n° 5 (1981), p. 267-275.

[KAU-73] : A. KAUFMANN :

Introduction à la théorie des sous-ensembles flous,

(Masson, Paris), volume 1 (1973), volume 2 (1975),

volume 3 (1975), volume 4 (1977).

- [KAU-83]: A. KAUFMANN:

  Opérateurs et normes triangulaires dans la théorie des sous-ensembles flous,

  Note de travail n° 109 (1983).
- [KAU-85] : A. KAUFMANN :

  Construction d'opérateurs d'implication flous,

  Note de travail n° 144 (1985).
- [KIS-85]: B. KISZKA, M. KOCHANSKA, D. SLIWINSKA:

  The influence of some fuzzy implication operators
  on the accuracy of a fuzzy model:

  Part I, F.S.S. 15 (1985), p. 111-128,

  Part II, F.S.S. 15 (1985), p. 223-240.
- [KRU-82] : R. KRUSE : A note on  $\lambda$ -additive fuzzy measures, F.S.S. 8 (1982), p. 219-222.
- [LES-85] : K. LESZCZYNSKI, P. PENCZEK, W. GROCHULSKI : Sugeno's fuzzy measure and fuzzy clustering, F.S.S. n° 15 (1985), p. 147-158.
- [LIN-65]: C.H. LING:

  Representation of associative functions.

  Publ. Math. Debrecen, vol. 12 (1965), p. 189-212.
- [MEN-42] : K. MENGER :
   Statistical metrics. Proc. Nat. Acad. Sci., USA,
   vol. 28 (1942), p. 535-537.
- MIY-85]: M. MIYAKOSHI, M. SHIMBO:
  Solutions of composite fuzzy relational equations
  with triangular norms,
  F.S.S. n° 16 (1985), p. 53-63.

4.3

- [MIY-86] : M. MIYAKOSHI, M. SHIMBO :
   Lower solutions of systems of fuzzy equations,
   F.S.S. n° 19 (1986), p. 37-46.
- [MIZ-82]: M. MIZUMOTO, H.J. ZIMMERMANN:

  Comparaison of fuzzy reasoning methods,

  F.S.S. n° 8 (1982), p. 253-283.
- [PED-82]: W. PEDRYCZ:

  Fuzzy relational equations with triangular norms and their resolutions,

  Busefal n° 11 (1982), p. 24-32.
- [PED-83a] : W. PEDRYCZ :
   Fuzzy relational equations with generalized connectives and their applications,
   F.S.S. n° 10 (1983), p. 185-201.
- [PED-83b]: W. PEDRYCZ:

  Numerical and applicationnal aspects of fuzzy relational equations,

  F.S.S. n° 11 (1983), p. 1-18.
- [PED-83c]: W. PEDRYCZ:
  Fuzzy relational equations with triangular norms in
  modelling of decision making processes,
  Marseille (1983) Fuzzy information knowledge representation and decision analysis, p. 269-274.
- [PED-84a]: W. PEDRYCZ, E. CZOGALA, K. HIROFA:

  Some remarks on the identification problem in fuzzy systems,

  F.S.S. n° 12 (1984), p. 185-189.

- [PED-84b] : W. PEDRYCZ :
   An identification algorithm in fuzzy relational
   systems,
   F.S.S. n° 13 (1984), p. 153-167.
- [PED-85]: W. PEDRYCZ:
  Applications of fuzzy relational equations for methods of reasoning in presence of fuzzy data,
  F.S.S. n° 16 (1985), p. 163-175.
- PRA-82]: H. PRADE:

  Modèles mathématiques de l'imprécis et de l'incertain en vue d'applications au raisonnement naturel,

  Thèse d'Etat, Université Paul Sabatier, Toulouse (1982).
- [PRE-81] : M. PREVOT :

  Algorithm for the solution of fuzzy relations,
  F.S.S. n° 5 (1981), p. 319-322.
- [RIV-78] : S. RIVOIRA, P. TORASSO :
  Univ. di Torino, Torino, Italy.
  Pattern Recognition vol. 10 n° 2, p. 73-84, 1978.
- [SAN-76]: E. SANCHEZ:

  Resolution of composite fuzzy relation equations.

  Information and Control, vol. 30 (1976), p. 38-48.
- [SAN-77]: E. SANCHEZ:

  Solutions in composite fuzzy relation equations:

  application to medical diagnosis in Brouwerian Logic.

  Fuzzy Automata and Decision Processes (Gupta, Saridis,
  Gaines Eds.), North-Holland (1977), p. 221-234.
- [SAN-78] : E. SANCHEZ :

  Resolution of eigen fuzzy sets equations.

  F.S.S. vol. 1 (1978), p. 69-74.

- [SAN-79]: E. SANCHEZ:

  Composition of fuzzy relations. Advances in fuzzy set theory and applications,

  North Holland Publishing Company (1979), p. 421-433 et p. 437-444.
- [SAN-84] : E. SANCHEZ :
  Solution of fuzzy equations with extended operations,
  F.S.S. n° 12 (1984), p. 237-248.
- [SCH-60]: B. SCHWEIZER, A. SKLAR:
  Statistical metric spaces. Pacific J. Math. Vol. 10
  (1960), p. 313-334.
- [SCH-61]: B. SCHWEIZER, A. SKLAR:
  Associative functions and statistical triangle inequalities. Publ. Math. Debrecen, vol. 8 (1961), p. 169-186.
- [SCH-63] : B. SCHWEIZER, A. SKLAR :
  Associative functions and abstract semigroups.
  Publ. Math. Debrecen, vol. 10, p. 69-81.
- [SES-84] : S. SESSA :
   Some results in the setting of fuzzy relation equations theory,
   F.S.S. n° 14 (1984), p. 281-297.
- [SHA-76] : G. SHÄFER :

  A mathematical theory of evidence,

  Princeton University Press.
- [SUG-74]: M. SUGENO:

  Theory of fuzzy integral and its applications.

  Thèse de Docteur-Ingénieur, Tokyo Institute of Technologie.

- [TRI-79] : E. TRILLAS :

  Sobre funciones de negacion en la teorica de conjuntos difusos. Stochastica, vol. III (1979), n° 1, p. 47-59.
- [WEB-83] : S. WEBER :
   A general concept of fuzzy connectives, negations
   and implications based on t-norms and t-conorms,
   F.S.S. n° 11 (1983), p. 115-134.
- [WIE-82]: W. WIEZLAK, R. GUBRYNOWICZ:

  Inst. of Fundamental Tech. Res., Polish Acad. of
  Sci., Warsaw Poland.

  Proceedings of ICASSP IEEE International Conference on Acoustics, Speech and Signal Processing,
  Paris, France, 3-5 mai 1982, p. 529-34, vol. 1.
- [WIL-80] : R. WILLMOTT :

  Two fuzzier implication operators in the theory of fuzzy power sets,

  F.S.S. n° 4 (1980), p. 31-36.
- [WAN-84]: Pei-zhuang WANG, S. SESSA, A. DI NOLA, W. PEDRYCZ:
  How many lower solutions can a fuzzy relation
  equation have?
  Busefal 18 (1984), p. 67-74.
- [YAG-80]: R. YAGER:

  On a general class of fuzzy connectives,
  F.S.S. n° 4 (1980), p. 235-242.
- [YOU-83]: Z. YOU:

  Methods for constructing triangular norms,

  Fuzzy mathematics, Wuhan, Hubei, P.R. China, vol. 3

  n° 1 (1983), p. 71-78.

## ANNEXE 1

Démonstration du théorème (chapitre 4, § 4.2, page 59)

On a :

$$R(A,B) (e_{1i},e_{2j}) = a_i \tau b_j$$
  
 $R(B,C) (e_{2j},e_{3k}) = b_j \tau c_k$   
 $R(A,C) (e_{1i},e_{3k}) = a_i \tau c_k$ 

et l'on veut montrer :

$$\forall i = 1,...,m$$

$$\sup_{b_j \in B} T(a_i \tau b_j, b_j \tau c_k) \leqslant a_i \tau c_k$$

$$\forall k = 1,...,p$$

Premier cas: si  $a_i \leqslant c_k$ , donc  $a_i \tau c_k = 1$ 

Posons: 
$$B_1 = \{b_j \in B \mid b_j < a_i\}$$

$$B_2 = \{b_j \in B \mid a_i \leq b_j \leq c_k\}$$

$$B_3 = \{b_j \in B \mid b_j > c_k\}$$
et soit  $T_1 = \sup_{b_j \in B_1} T(a_i \tau b_j, b_j \tau c_k)$ 

$$T_2 = \sup_{b_j \in B_2} T(a_i \tau b_j, b_j \tau c_k)$$

 $T_3 = \sup T(a_i \tau b_j, b_j \tau c_k)$ 

Puisque B = B<sub>1</sub> U B<sub>2</sub> U B<sub>3</sub>, on a :  $\sup_{b_j \in B} T(a_i \tau b_j, b_j \tau c_k) = \max(T_1, T_2, T_3)$ 

et si  $b_j \in B_1$ , c'est-à-dire si  $b_j < a_i \leqslant c_k$  :

 $T(a_i \tau b_j, b_j \tau c_k) = T(a_i \tau b_j, 1) = a_i \tau b_i$ 

et  $T_1 = a_i \tau (\max b_j)$ ;  $b_j \in B_1$ 

si  $b_j \in B_2$ , c'est-à-dire si  $a_i \leqslant b_j \leqslant c_k$ :

 $T(a_i^{\tau b}_j, b_j^{\tau c}_k) = T(1,1) = 1 \text{ et } T_2 = 1$ ;

si  $b_j \in B_3$ , c'est-à-dire si  $a_i \leqslant c_k < b_j$ :

 $T(a_i^{\tau b}_j, b_j^{\tau c}_k) = T(1, b_j^{\tau c}_k) = b_j^{\tau} c_k$ 

et  $T_3 = (\min_{\substack{b_j \in B_3}} b_j) \tau c_k$ 

En conclusion, pour le premier cas, si B<sub>2</sub>  $\neq \emptyset$ , c'est-àdire s'il existe un j tel que b<sub>j</sub>  $\in \begin{bmatrix} a_i,c_k \end{bmatrix}$ , alors  $\max(T_1,T_2,T_3) = T_2 = 1 = a_i + c_k$ .

Si  $B_2 = \emptyset$ ,  $\max(T_1, T_2, T_3) = \max(T_1, T_3) < 1 = a_i + c_k$ .

 $\underline{\underline{\mathtt{Deuxième\_cas}}} : \mathtt{si} \ \mathtt{a_i} \ > \ \mathtt{c_k}, \ \mathtt{c'est-a-dire} \ \mathtt{a_i} \\ \tau \mathtt{c_k} = \mathtt{f^{-1}}(\mathtt{f(c_k)-f(a_i)})$ 

Posons :  $B_4 = \{b_j \in B \mid b_j > a_i\}$   $B_5 = \{b_j \in B \mid a_i > b_j > c_k\}$  $B_6 = \{b_j \in B \mid c_k > b_j\}$ 

et soit  $T_4 = \sup_{\substack{b_j \in B_4}} T(a_i \tau b_j, b_j \tau c_k)$ 

 $T_5 = \sup_{b_j \in B_5} T(a_i \tau b_j , b_j \tau c_k)$ 

 $T_6 = \sup_{b_j \in B_6} T(a_i \tau b_j, b_j \tau c_k)$ 

Puisque B = B<sub>4</sub> U B<sub>5</sub> U B<sub>6</sub>, on a :  $\sup_{b_j \in B} T(a_i \tau b_j, b_j \tau c_k) = \max(T_4, T_5, T_6)$ 

et si  $b_j$   $\in B_4$ , c'est-à-dire  $b_j > a_i > c_k$ , alors :

 $T(a_{i} \tau b_{j}, b_{j} \tau c_{k}) = T(1, b_{j} \tau c_{k}) = b_{j} \tau c_{k}$  et  $T_{4} = (\min_{b_{j} \in B_{4}}) \tau c_{k} ;$ 

si  $b_j \in B_5$ , c'est-à-dire si  $a_i > b_j > c_k$ :

- pour une t-norme archimédienne stricte :

$$\begin{split} \mathtt{T}(\mathtt{a_{i}}^{\mathsf{T}}\mathtt{b_{j}},\mathtt{b_{j}}^{\mathsf{T}}\mathtt{c_{k}}) &= \mathtt{f}^{-1}\big[\mathtt{f}\mathtt{f}^{-1}(\mathtt{f}(\mathtt{b_{j}})-\mathtt{f}(\mathtt{a_{i}}))+\mathtt{f}\mathtt{f}^{-1}(\mathtt{f}(\mathtt{c_{k}})-\mathtt{f}(\mathtt{b_{j}}))\big] \\ &= \mathtt{f}^{-1}\big[\mathtt{f}(\mathtt{b_{j}})-\mathtt{f}(\mathtt{a_{i}})+\mathtt{f}(\mathtt{c_{k}})-\mathtt{f}(\mathtt{b_{j}})\big] &= \mathtt{a_{i}} \ \mathtt{\tau} \ \mathtt{c_{k}} \end{split}$$

et  $T_5 = a_i \tau c_k$ ;

- pour une t-norme archimédienne non stricte :

$$\begin{split} \mathbf{T}(\mathbf{a_i} \boldsymbol{\tau} \mathbf{b_j}, \mathbf{b_j} \boldsymbol{\tau} \mathbf{c_k}) &= \mathbf{f}^{(-1)} \big[ \mathbf{\tilde{f}} \mathbf{f}^{-1} (\mathbf{f}(\mathbf{b_j}) - \mathbf{f}(\mathbf{a_i})) + \mathbf{f} \mathbf{f}^{-1} (\mathbf{f}(\mathbf{c_k}) - \mathbf{f}(\mathbf{b_j})) \big] \\ &= \mathbf{f}^{(-1)} \big[ \mathbf{\tilde{f}}(\mathbf{c_k}) - \mathbf{f}(\mathbf{a_i}) \big] = \mathbf{f}^{-1} \big[ \mathbf{\tilde{f}}(\mathbf{c_k}) - \mathbf{f}(\mathbf{a_i}) \big] \\ &= \mathbf{puisque} \ \mathbf{a_i} > \mathbf{c_k} \ ; \end{split}$$

si b<sub>j</sub> e B<sub>6</sub>, c'est-à-dire si 
$$a_i > c_k > b_j$$
:
$$T(a_i \tau b_j , b_j \tau c_k) = T(a_i \tau b_j , 1) = a_i \tau b_j$$
et  $T_6 = a_i \tau (\max b_j)$ 

$$b_j e B_6$$

En conclusion pour le deuxième cas :

Si B<sub>5</sub>  $\neq$  Ø, c'est-ã-dire s'il existe un j tel que bj e ] c<sub>k</sub>,a<sub>i</sub> [ , on a :

$$T_4 = (\min_{b_j \in B_4} b_j) \tau c_k \leq a_i \tau c_k = T_5$$

$$T_6 = a_i \tau (\max_{\substack{j \in B_6}} b_j) \leqslant a_i \tau c_k = T_5$$

donc : 
$$\max(T_4, T_5, T_6) = T_5 = a_i + c_k$$
.

Si B<sub>5</sub> =  $\emptyset$  et si  $\forall j$  = 1,...,n,  $b_j$  >  $a_i$  ou  $b_j$  <  $c_k$ , alors puisque  $\tau$  est strictement monotone :

$$T_4$$
 <  $a_i$   $\tau$   $c_k$  et  $T_6$  <  $a_i$   $\tau$   $c_k$ 

et donc : 
$$\sup_{b_j \in B} T(a_i \tau b_j, b_j \tau c_k) = \max(T_4, T_6) < a_i, \tau c_k$$

Si B<sub>5</sub> =  $\emptyset$  et s'il existe un b<sub>j</sub>  $\in$  B<sub>4</sub> tel que b<sub>j</sub> = a<sub>i</sub> ou s'il existe un b<sub>j</sub>  $\in$  B<sub>6</sub> tel que b<sub>j</sub> = c<sub>k</sub>, on a alors :

$$T_4 = a_i \tau c_k \ge T_6$$

ou 
$$T_6 = a_i \tau c_k > T_4$$

et 
$$\max(T_4, T_5, T_6) = a_i \tau c_k$$
.



## ANNEXE 2

# Démonstration de la condition de normalisation des mesures de Sugeno

Soit 
$$\mathbf{X} = \{\mathbf{x}_1, \mathbf{x}_2, \dots, \mathbf{x}_n\}$$
 et  $\mathbf{A}_{\ell} = \{\mathbf{x}_1, \mathbf{x}_2, \dots, \mathbf{x}_{\ell}\}$   $0 \leqslant \ell \leqslant n$ 

Posons 
$$g_i = g_{\lambda}(\{x_i\})$$
  $i = 1,...,n$ 

Les mesures de Sugeno vérifient pour  $\lambda$   $\in$   $]-1,+\infty[$  :

$$\forall A \in \mathcal{H}$$

$$\forall B \in \mathcal{H}$$

$$\sin A \cap B = \emptyset \text{ alors } g_{\lambda}(A \cup B) = g_{\lambda}(A) + g_{\lambda}(B) + \lambda g_{\lambda}(A) \cdot g_{\lambda}(B)$$

$$(11)$$

$$g(A_{\ell}) = g(A_{\ell-1} - \{x_{\ell}\}) = g(A_{\ell-1}) + g_{\ell} + \lambda g(A_{\ell-1}) g_{\ell}$$

d'où :

$$1 + \lambda g(A_{\ell}) = 1 + \lambda g(A_{\ell-1})(1 + \lambda g_{\ell}) + \lambda g_{\ell}$$

$$1 + \lambda g(A_{\ell}) = (1 + \lambda g_{\ell}) (1 + \lambda g(A_{\ell-1})).$$

Ecrivons cette relation successivement pour  $\ell=1,\ldots,n$  :

$$1 + \lambda g(A_1) = (1 + \lambda g_1)(1 + \lambda g(\emptyset))$$

$$1 + \lambda g(A_2) = (1 + \lambda g_2)(1 + \lambda g(A_1))$$

$$1 + \lambda g(X) = (1 + \lambda g_n)(1 + \lambda g(A_{n-1}))$$

En effectuant le produit membre à membre des égalités précédentes, après simplification, on obtient :

$$1 + \lambda g(X) = \prod_{i=1}^{n} (1 + \lambda g_i)$$

D'où la relation (12) puisque g(X) = 1:

$$1 + \lambda = \prod_{i=1}^{n} (1 + \lambda g_i)$$
 (12)

NOM DE L'ETUDIANT : Monsieur HIRSCH Gérard

NATURE DE LA THESE : Doctorat d'Etat es Sciences

VU, APPROUVE ET PERMIS D'IMPRIMER
2! AVR. 1987 ... 575
NANCY, le

LE PRESIDENT DE L'UNIVERSITE DE NANCY I



## RÉSUMÉ

Les compositions de relations floues sont introduites dans les problèmes de reconnaissance de formes, en généralisant les notions binaires classiques. Ainsi apparaissent, à partir des différentes contraintes, les normes et conormes triangulaires.

Nous rappelons que le syllogisme indirect n'est pas parfait, quel que soit l'opérateur de composition floue.

Nous déterminons pour la composition sup-t norme (ou inf-t conorme) un opérateur de maximalisation (ou de minimalisation).

Après avois repris les résultats des mesures d'incertain, nous donnons une application numérique au problème de classification des phonèmes.

Mots-clés: Normes et conormes triangulaires.
Opérateurs d'implication flous.
Syllogisme.
Equations de relation floue.
Mesures d'incertain.